



สำนักวิเทศสัมมานักวิชาชีวศึกษาในโอกาสสัมมนา
การวัดระเบียบทางของรถที่สวนทางมาในเวลากรุงคืน

ด้วยการประมวลผลภาพ

เลขทะเบียนวันที่	12 ม.ค. 2555
เลขที่	122727
เวลา	09:00
เลขที่	7E
จำนวน	228
หมายเลข	ก 9921
หัวเรื่อง	—
— ๑๙๑๒๒ — ๒๕๐	

ไฟโรมน์ แสงปรีดีกรรณ์



วิทยานิพนธ์นี้เป็นส่วนหนึ่งของการศึกษาตามหลักสูตร
ปริญญาวิศวกรรมศาสตร์บัณฑิต สาขาวิชาวิศวกรรมไฟฟ้า
คณะวิศวกรรมศาสตร์
มหาวิทยาลัยเทคโนโลยีราชมงคลล้านนา
ปีการศึกษา 2554
ลิขสิทธิ์ของมหาวิทยาลัยเทคโนโลยีราชมงคลล้านนา

หัวข้อวิทยานิพนธ์	การวัดระยะทางของรถที่สวนทางมาในเวลากลางคืนด้วยการประมวลผลภาพ
	Vehicle Passing Distance Measurement in the Opposite Lane
ชื่อ – นามสกุล	During Night-Time Using Image Processing
สาขาวิชา	นายไพรожน์ แสงปรีดีกรน์
อาจารย์ที่ปรึกษา	วิศวกรรมไฟฟ้า
ปีการศึกษา	(วิศวกรรมอิเล็กทรอนิกส์และโทรคมนาคม)
	ดร.จักรี ศรีนันท์ฉัตร
	2554

คณะกรรมการสอบวิทยานิพนธ์



..... ประธานกรรมการ
(รองศาสตราจารย์ ดร.สมเกียรติ อุดมธรรมากุล)

..... กรรมการ
(ดร.กิตติวัฒน์ นิ่มเกิดผล)

..... กรรมการ
(ดร.สุรินทร์ แห่งมงาน)

..... กรรมการ
(ดร.จักรี ศรีนันท์ฉัตร)

คณะวิศวกรรมศาสตร์ มหาวิทยาลัยเทคโนโลยีราชมงคลธัญบุรี อนุมัติวิทยานิพนธ์ฉบับนี้
เป็นส่วนหนึ่งของการศึกษาตามหลักสูตรปริญญามหาบัณฑิต

..... คณบดีคณะวิศวกรรมศาสตร์

(ผู้ช่วยศาสตราจารย์ ดร.สมหมาย ผิวสอด)

วันที่ 9 เดือน ตุลาคม พ.ศ. 2554

หัวข้อวิทยานิพนธ์	การวัดระยะทางของรถที่สวนทางมาในเวลากลางคืนด้วยการประมวลผลภาพ
ชื่อ - นามสกุล	นายไพรожน์ แสงปรีดีกรณ์
สาขาวิชา	วิศวกรรมไฟฟ้า
อาจารย์ที่ปรึกษา	(วิศวกรรมอิเล็กทรอนิกส์และโทรคมนาคม) ดร. จักรี ศรีนันท์ฉัตร
ปีการศึกษา	2554

บทคัดย่อ

วิทยานิพนธ์ฉบับนี้นำเสนอเทคนิคการวัดระยะทางของรถที่สวนทางมาในเวลากลางคืนด้วยการประมวลผลภาพ เพื่อเป็นการเพิ่มประสิทธิภาพระบบการจราจรอัจฉริยะ รวมถึงเพิ่มความปลอดภัยให้กับผู้ขับขี่รถยนต์

ข้อมูลจากการ 2 ประเภทคือรถนั่งส่วนบุคคลและรถบรรทุกน้ำมายังในกรุงเทพฯ เริ่มต้นโดยกำหนดจุดระยะห่างจริงของรถที่สวนทางมาทุก ๆ 30 เมตร เพื่อใช้เป็นค่าอ้างอิงความถูกต้องและนำมาประมวลผลด้วยโปรแกรม MATLAB เพื่อนำไปวิเคราะห์ความสามารถต้นแบบความสัมพันธ์ของข้อมูลอย่างละเอียด จากนั้นในการทดสอบระบบได้อาศัยคุณสมบัติของการหาระยะห่างของไฟหน้ารถด้วยการประมวลผลภาพ เพื่อหาระยะไฟกัลของภาพโดยใช้กล้อง 2 ตัวแล้วนำค่าระยะห่างไฟหน้ารถที่ได้ มาคำนวณหาระยะทางของรถยนต์ที่สวนทางมา รวมทั้งได้พัฒนาประสิทธิภาพของสมาร์ตโฟน ความสัมพันธ์ โดยการวิเคราะห์การถอดถอนของตัวแปรตอนสนองแบบต่อเนื่องร่วมกับการประมวลผลภาพ เพื่อให้ได้ประสิทธิภาพความถูกต้องมากขึ้น

ผลการทดสอบแสดงให้เห็นว่าการนำเทคนิคการติดตั้งกล้องแบบสเตอริโอในแนวแกน Y ให้ผลในการหาระยะของรถยนต์ที่วิ่งสวนทางมา คิดเป็นค่าผิดพลาดเพียงร้อยละ 0.01 ซึ่งสามารถยอมรับได้ การวิเคราะห์การแปลผลทางสถิติระหว่างตัวแปรอิสระกับตัวแปรตามในรูปเชิงเส้นต่อเนื่องแบบโพลีโนเมียลลดอคช่วงระยะ 30 - 240 เมตร จะมีประสิทธิภาพในการพยากรณ์ได้ถูกต้องที่สุด ในขณะที่การติดตั้งกล้องในระนาบ X ให้ค่าประสิทธิภาพความถูกต้องในการคำนวณระยะทางอยู่ที่ร้อยละ 63 ทั้งนี้ เนื่องจากค่าความผิดพลาดของการมองเห็นดวงไฟหน้ารถยนต์ในระนาบแกน X ส่งผลต่อการหาค่าสมาร์ตโฟน ความสัมพันธ์ โดยการวิเคราะห์การถอดถอนของตัวแปรตอนสนองแบบต่อเนื่อง

คำสำคัญ : ความชัดลึกของภาพ แยกແບະກຸ່ມສີ แปลผลทางสถิติ โพลีโนເມີຍລ (ພຫຼານກຳລັງສອງ)

Thesis Title	Vehicle Passing Distance Measurement in the Opposite Lane During Night-time Using Image Processing
Name – Surname	Mr. Pairoj Saengpredeekorn
Program	Electrical Engineering (Electronics and Telecommunication Engineering)
Thesis Advisor	Dr. Jakkree Srinonchat
Academic Year	2011

ABSTRACT

This thesis presents the vehicle passing distance measurement technique in the opposite lane during night-time using image processing in order to provide the excellent efficiency of the traffic intelligent system and also increasing the safety driver.

There are two types of vehicles including sedan and pickup car, which use in this experiment. Firstly, the marking of the opposite direction vehicle is adjusted by each 30 meters which this information uses as the reference information. Secondly, this information is required to transfer to be the original relation equation using MATLAB program. Thirdly, in the experiment testing, the distance of the car's headlights is captured and processed to calculate the appropriate focus of stereo vision technique in the image processing. The distance of the car's headlights image value is then used to calculate the distance of opposite direction vehicle. Finally, the efficiency of the original relation equation is improved using the analysis regression equation of a continuous response parameters combine with image processing to achieve the efficient accuracy.

The results show that the Y stereo vision provides error value as 0.01 % for the distance of opposite direction vehicle. The graph relationship analysis between independent variables and linear polynomial dependent variables also provides the maximum efficiency of prediction at 30 - 240 meters. While the X stereo vision provides the accuracy efficiency 63 %, in consequence of the error of the X stereo vision relates to the analysis regression equation.

Keywords : Depth of field, Blob Coloring, Regression, Polynomial (quadratic polynomial)

กิตติกรรมประกาศ

วิทยานิพนธ์ฉบับนี้สำเร็จได้ด้วยความเมตตากรุณาอย่างสูงจาก รองศาสตราจารย์ ดร.สมเกียรติ อุดมธรรมยากร ประธานกรรมการที่ปรึกษาวิทยานิพนธ์ ดร.กิตติวัณณ์ นิ่มเกิดผล กรรมการวิชาเอก ดร.สุรินทร์ แห่งงาน กรรมการวิชาเอกและ ดร.จักรี ศรีนนท์พัตร ที่ปรึกษา วิทยานิพนธ์และผู้ทรงคุณวุฒิที่กรุณาให้คำแนะนำและให้คำปรึกษาตลอดจนให้ความช่วยเหลือแก่ไข ข้อบกพร่องต่างๆ เพื่อให้วิทยานิพนธ์ฉบับนี้มีความสมบูรณ์ ซึ่งผู้วิจัยขอกราบขอบพระคุณอย่างสูงไว้ ณ โอกาสันนี้ด้วย

ขอขอบคุณผู้ทรงคุณวุฒิทั้ง 4 ท่านที่ให้ความอนุเคราะห์ประเมินรับรองด้านแบบชิ้นงานวิจัย และให้คำแนะนำอันเป็นประโยชน์ในการทำวิจัย ให้ความอนุเคราะห์ตรวจเครื่องมือที่ใช้ในการทำ วิจัย รวมถึงระยะเวลาอันมีค่าตอบข้อสัมภาษณ์อันเป็นผลให้งานวิจัยมีความชัดเจนครบถ้วนและ สามารถนำมาประยุกต์ใช้งานได้จริงและขอบใจเพื่อนักศึกษามหาวิทยาลัยเทคโนโลยีราชมงคล ชัยบุรีทุกท่าน ที่ให้ความร่วมมือและในคำชี้แนะในการทำวิจัย ได้ความสมบูรณ์ของงาน รวมทั้งทุก คนที่เป็นกำลังใจ ให้ความช่วยเหลือตลอดช่วงเวลาของการศึกษาและการทำวิจัย

ขอขอบพระคุณคณาจารย์ทุกท่านที่ได้ประสิทธิ์流逝สาขาวิชา บ่มเพาะจนผู้วิจัยสามารถ นำเอาหลักการมาประยุกต์ใช้และอ้างอิงในการทำวิจัยครั้งนี้

คุณค่าอันพึงมีจากวิทยานิพนธ์ฉบับนี้ขอมอบ เพื่อนำมาประยุกต์ใช้ อาจารย์และ ผู้มีพระคุณทุกท่าน

ไฟโรมน์ แสงปรีดีกรรณ์



บทคัดย่อภาษาไทย.....	หน้า
บทคัดย่อภาษาอังกฤษ.....	ค
กิตติกรรมประกาศ.....	๑
สารบัญ.....	ฉบับ
สารบัญตาราง.....	๗
สารบัญภาพ.....	ญู
คำอธิบายสัญลักษณ์และคำย่อ.....	ชู
บทที่	
1 บทนำ.....	1
1.1 ความเป็นมา.....	1
1.2 วิเคราะห์ปัญหาและแนวคิดพื้นฐาน	3
1.3 วัตถุประสงค์ของงานวิจัย.....	4
1.4 สมมุติฐานของการศึกษา.....	4
1.5 ขอบเขตของงานวิจัย.....	5
1.6 ข้อจำกัดของการศึกษา.....	5
2 งานวิจัยและทฤษฎีที่เกี่ยวข้อง.....	6
2.1 การประมวลผลภาพดิจิตอล.....	6
2.2 การแปลงภาพดิจิตอล.....	6
2.3 คุณสมบัติของภาพแบบไบนารี (Properties of Binary Images).....	10
2.4 วิเคราะห์หากกลุ่มสีของวัตถุหรือเป้าหมายที่เป็นไบนารี (Blob Coloring).....	11
2.5 ระยะชัดของภาพ (Depth of field).....	15
2.6 การรับรู้ระยะทาง (Distance perception).....	18
2.7 มุมมองทัศนียภาพ (Perspective).....	19
2.8 วิเคราะห์การเปลี่ยนทางสถิติและสหสัมพันธ์.....	21
2.9 ค่าความผิดพลาดมาตรฐานจากการประมาณ (Standard Error of Estimation).....	29
2.10 วิสัยทัศน์แบบ 2 ตา (Binocular Vision).....	30

สารบัญ (ต่อ)

บทที่	หน้า
2.11 งานวิจัยที่เกี่ยวข้อง.....	33
3 วิธีการดำเนินงานวิจัย.....	35
3.1 การดำเนินงานวิจัยเก็บข้อมูล.....	35
3.2 รูปแบบการติดตั้งกล้อง.....	47
3.3 อุปกรณ์อื่น ๆ	48
4 ผลการวิจัย.....	49
4.1 ผลการทดสอบที่อ้างอิงจากค่าเฉลี่ยของระบบห่างดวงไฟ 2 ดวงหน้ารถจริง.....	50
4.2 ผลการทดสอบที่อ้างอิงจากระยะห่างระหว่างกล้อง 2 ตัวที่ติดตั้งในแนวแกน X...	58
4.3 ผลการทดสอบที่อ้างอิงจากระยะห่างระหว่างกล้อง 2 ตัวที่ติดตั้งในแนวแกน Y...	69
4.4 ทดสอบสมการต้นแบบที่มีค่าประสิทธิภาพในการตัดสินใจสหสัมพันธ์สูงที่สุด...	80
4.5 ค่าผิดพลาดจากการพยากรณ์.....	83
5 บทวิเคราะห์และสรุป.....	87
5.1 ค่าประสิทธิผลจากการคำนวณ.....	87
5.2 ฟังก์ชันที่เหมาะสมในการพยากรณ์ค่าระยะทาง.....	89
5.3 สรุปผลการทดสอบการพยากรณ์ด้วยสมการต้นแบบ.....	90
5.4 สรุปผลการวิจัย.....	91
5.5 ข้อเสนอแนะและแนวคิดเพื่อการพัฒนาเพิ่มเติมในอนาคต.....	92
รายการอ้างอิง.....	94
ภาคผนวก.....	96
ภาคผนวก ก รายนต์ที่ใช้ในงานวิจัย.....	97
ภาคผนวก ข ผลงานตีพิมพ์เผยแพร่.....	103
ประวัติผู้เขียน.....	130

สารบัญตาราง

ตารางที่	หน้า
1.1 ประเภทของถนนที่เกิดอุบัติเหตุ.....	1
1.2 ลักษณะจุดเกิดเหตุที่เกิดอุบัติเหตุสูงสุด.....	2
1.3 ช่วงเวลาของการเกิดอุบัติเหตุสูงสุด.....	2
2.1 ผลลัพธ์จากการประมวลผลของเฟรมแกรนในระยะต่างๆ.....	34
3.1 ข้อมูลเฉพาะของระยะห่างไฟหน้ารถจริงจากระยะนั้นที่ 2 ประเภท.....	46
4.1 ข้อมูลเฉพาะของรถที่ใช้ในการทดลอง.....	49
4.2 ผลการทดลองของรถคันที่ 1.....	50
4.3 ผลการทดลองของรถคันที่ 2.....	51
4.4 ผลการทดลองของรถคันที่ 3.....	51
4.5 ผลการทดลองของรถคันที่ 4.....	52
4.6 ผลการทดลองของรถคันที่ 5.....	52
4.7 ผลการทดลองของรถคันที่ 6.....	53
4.8 ผลการทดลองของรถคันที่ 7.....	53
4.9 ผลการทดลองของรถคันที่ 8.....	54
4.10 ผลการทดลองของรถคันที่ 9.....	54
4.11 ผลการทดลองของรถคันที่ 10.....	55
4.12 ผลลัพธ์ของการคำนวณระยะ a จากรถที่ใช้ทดสอบทั้งหมด.....	56
4.13 ผลการทดลองของรถคันที่ 1 พิจารณาในแนวระนาบแกน X.....	59
4.14 ผลการทดลองของรถคันที่ 2 พิจารณาในแนวระนาบแกน X.....	59
4.15 ผลการทดลองของรถคันที่ 3 พิจารณาในแนวระนาบแกน X.....	60
4.16 ผลการทดลองของรถคันที่ 4 พิจารณาในแนวระนาบแกน X.....	60
4.17 ผลการทดลองของรถคันที่ 5 พิจารณาในแนวระนาบแกน X.....	61
4.18 ผลการทดลองของรถคันที่ 6 พิจารณาในแนวระนาบแกน X.....	61
4.19 ผลการทดลองของรถคันที่ 7 พิจารณาในแนวระนาบแกน X.....	62
4.20 ผลการทดลองของรถคันที่ 8 พิจารณาในแนวระนาบแกน X.....	62
4.21 ผลการทดลองของรถคันที่ 9 พิจารณาในแนวระนาบแกน X.....	63
4.22 ผลการทดลองของรถคันที่ 10 พิจารณาในแนวระนาบแกน X.....	63

สารบัญตาราง (ต่อ)

ตารางที่	หน้า
4.23 ค่าที่เปลี่ยนแปลงตำแหน่งในแนวแกน X จากรถที่ใช้ทดสอบ.....	64
4.24 ผลการทดสอบของรถคันที่ 1 พิจารณาในแนวระนาบแกน Y.....	70
4.25 ผลการทดสอบของรถคันที่ 2 พิจารณาในแนวระนาบแกน Y.....	70
4.26 ผลการทดสอบของรถคันที่ 3 พิจารณาในแนวระนาบแกน Y.....	71
4.27 ผลการทดสอบของรถคันที่ 4 พิจารณาในแนวระนาบแกน Y.....	71
4.28 ผลการทดสอบของรถคันที่ 5 พิจารณาในแนวระนาบแกน Y.....	72
4.29 ผลการทดสอบของรถคันที่ 6 พิจารณาในแนวระนาบแกน Y.....	72
4.30 ผลการทดสอบของรถคันที่ 7 พิจารณาในแนวระนาบแกน Y.....	73
4.31 ผลการทดสอบของรถคันที่ 8 พิจารณาในแนวระนาบแกน Y.....	73
4.32 ผลการทดสอบของรถคันที่ 9 พิจารณาในแนวระนาบแกน Y.....	74
4.33 ผลการทดสอบของรถคันที่ 10 พิจารณาในแนวระนาบแกน Y.....	74
4.34 ค่าที่เปลี่ยนแปลงตำแหน่งในแนวแกน Y จากรถที่ใช้ทดสอบ.....	75
4.35 ผลลัพธ์ของระบบที่ทดสอบด้วยสมการต้นแบบในแบบที่ 1.....	80
4.36 ผลลัพธ์ของระบบที่ทดสอบด้วยสมการต้นแบบในแบบที่ 2.....	81
4.37 ผลลัพธ์ของระบบที่ทดสอบด้วยสมการต้นแบบในแบบที่ 3.....	82
4.38 ค่าเบอร์เซ็นต์ความผิดพลาดในการคำนวณ โดยใช้สมการต้นแบบในแบบที่ 1...	84
4.39 ค่าเบอร์เซ็นต์ความผิดพลาดในการคำนวณ โดยใช้สมการต้นแบบในแบบที่ 2...	85
4.40 ค่าเบอร์เซ็นต์ความผิดพลาดในการคำนวณ โดยใช้สมการต้นแบบในแบบที่ 3...	86
5.1 ค่าประสิทธิภาพลักษณะที่อ้างอิงด้วยระบบดวงไฟหน้ารถจริงจาก Specify.....	88
5.2 ค่าประสิทธิภาพลักษณะที่อ้างอิงด้วยระบบระหว่างกล้อง 2 ตัว.....	88
5.3 ค่าประสิทธิภาพลักษณะที่อ้างอิงด้วยระบบระหว่างกล้อง 2 ตัว.....	88
5.4 แบบที่ 1 อ้างอิงด้วยระบบห่างไฟ 2 ดวงหน้ารถที่แท้จริงจาก Specify	89
5.5 แบบที่ 2 อ้างอิงกับระบบระหว่างกล้อง 2 ตัวในระนาบแกน X (แนวอน).....	89
5.6 แบบที่ 3 อ้างอิงกับระบบระหว่างกล้อง 2 ตัวในระนาบแกน Y (แนวตั้ง).....	89
5.7 เปรียบเทียบผลลัพธ์จากค่าเฉลี่ยของตัวแบบทั้ง 3 แบบ.....	90
5.8 สรุปค่าความผิดพลาดของการพยากรณ์ระยะทาง.....	91

สารบัญภาพ

ภาพที่	หน้า
2.1 ภาพเชิงดิจิตอลประเภท RGB Image.....	8
2.2 ภาพเชิงดิจิตอลประเภท Gray Image.....	9
2.3 ภาพเชิงดิจิตอลประเภทไบนารี.....	10
2.4 ขนาดหรือพื้นที่ของวัตถุ.....	10
2.5 ตำแหน่งของวัตถุ.....	10
2.6 ลักษณะการเชื่อมต่อกันแบบ 8 และ 4 Point Connection.....	11
2.7 การทำ Blob Coloring แบบ 8 Point Connection.....	11
2.8 จุดพิกเซล 4 - connected และทิศทางที่ใช้ระบุในการสแกน.....	12
2.9 จุดพิกเซล 8 - connected และทิศทางที่ใช้ระบุในการสแกน.....	12
2.10 พิกัดหรือจุด Pixel Coordinate ของข้อมูลในระบบ X Y.....	13
2.11 จุดกึ่งกลางของข้อมูลในແແລະຄອດັ່ນນີ້.....	13
2.12 จุดกึ่งกลางของข้อมูลจากค่าเฉลี่ยของตำแหน่งพิกัด X และ Y.....	14
2.13 การ Plot กรอบสี่เหลี่ยมครอบดวงไฟ (Bounding Box).....	15
2.14 ระบบชัดของภาพ.....	16
2.15 ตัวอย่างผลลัพธ์จากการทดลองของวนการนวกภาพ.....	16
2.16 ความสว่างของภาพที่ตั้งค่า ISO ในระดับต่างๆ.....	17
2.17 แบบจำลองนูมนองทัศนียภาพ.....	20
2.18 การวิเคราะห์ความถดถอยแบบต่างๆ.....	21
2.19 การถดถอยแบบ Linear Model.....	22
2.20 การถดถอยแบบ Quadratic Model.....	25
2.21 วิสัยทัศน์แบบ 2 ตา (Binocular Vision).....	30
2.22 การถ่ายภาพวิสัยทัศน์แบบ 2 ตา.....	30
2.23 สเตอริโอะเมตซิ่ง.....	32
2.24 แนวคิดเรขาคณิตการถ่ายภาพรถที่อยู่ด้านหน้า.....	33
3.1 แผนภาพการคำนวณการวิจัยเก็บข้อมูล.....	36
3.2 แผนภาพการคำนวณการทดสอบสมการต้นแบบ.....	37
3.3 ภาพถ่ายในระยะต่างๆ ตามจุดทดสอบที่กำหนดไว้.....	38

สารบัญภาพ (ต่อ)

ภาพที่	หน้า
3.4 โครงสร้างพื้นฐาน.....	40
3.5 แผนภาพการทำ นาของระบบ.....	40
3.6 ภาพไฟหน้ารถที่นำมาใช้ในการประมวลผล.....	41
3.7 ภาพไฟหน้ารถที่ทำการปรับให้อยู่ในภาพแบบ Gray Scale.....	42
3.8 ภาพขาวดำ (Binary Image).....	43
3.9 ภาพที่ได้จากการหา Depth of Field.....	43
3.10 ทิศทางการค้นหาตำแหน่งศูนย์กลางของดวงไฟ.....	45
3.11 ตำแหน่งศูนย์กลางของดวงไฟ.....	45
3.12 แบบจำลองมุมมองหัวนีกภาพ.....	45
3.13 พิจารณาหาค่าระยะที่เปลี่ยนแปลงของตำแหน่ง X และ Y.....	46
3.14 การติดตั้งกล้องในแนวระนาบแกน X.....	47
3.15 การติดตั้งกล้องในแนวระนาบแกน Y.....	48
4.1 ระยะห่างของดวงไฟสว่าง 2 ดวงในภาพจากกรอบสองทั้งหมด.....	55
4.2 ค่าเฉลี่ยระยะห่างของดวงไฟที่คำนวณได้ในระยะที่กำหนด.....	56
4.3 ความสัมพันธ์แบบเชิงเส้นระยะ 30 – 240 เมตร.....	57
4.4 ความสัมพันธ์แบบโพลีโนเมียลระยะ 30 - 240 เมตร.....	58
4.5 ค่าเปลี่ยนแปลงตำแหน่งในแนวแกน X จากกรอบที่ใช้ทดสอบทั้งหมด.....	64
4.6 ค่าเฉลี่ยความเปลี่ยนแปลงของตำแหน่งดวงไฟในแนวแกน X.....	65
4.7 ความสัมพันธ์แบบเชิงเส้นระยะ 30 - 240 เมตร.....	65
4.8 ความสัมพันธ์แบบโพลีโนเมียลระยะ 30 - 240 เมตร.....	66
4.9 ความสัมพันธ์แบบเชิงเส้น ช่วงที่ 1 : ระยะ 30 - 120 เมตร.....	67
4.10 ความสัมพันธ์แบบเชิงเส้น ช่วงที่ 2 : ระยะ 150 - 240 เมตร.....	67
4.11 ความสัมพันธ์แบบโพลีโนเมียล ช่วงที่ 1 : ระยะ 30 - 120 เมตร.....	68
4.12 ความสัมพันธ์แบบโพลีโนเมียล ช่วงที่ 2 : ระยะ 150 - 240 เมตร.....	69
4.13 ค่าที่เปลี่ยนแปลงตำแหน่งในแนวแกน Y จากกรอบที่ใช้ทดสอบทั้งหมด.....	75
4.14 ค่าเฉลี่ยความเปลี่ยนแปลงของตำแหน่งดวงไฟในแนวแกน Y.....	76
4.15 ความสัมพันธ์แบบเชิงเส้นระยะ 30 - 240 เมตร.....	76

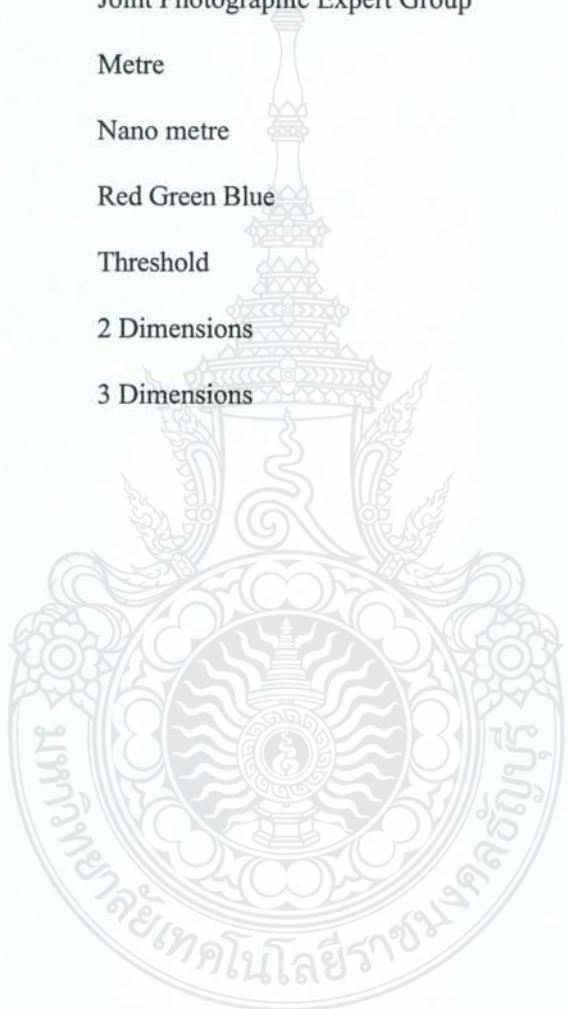
สารบัญภาพ (ต่อ)

ภาพที่	หน้า
4.16 ความสัมพันธ์แบบโพลีโนเมียลระดับ 30 - 240 เมตร.....	77
4.17 ความสัมพันธ์แบบเชิงเส้น ช่วงที่ 1 : ระยะ 30 - 120 เมตร.....	78
4.18 ความสัมพันธ์แบบเชิงเส้น ช่วงที่ 2 : ระยะ 150 - 240 เมตร.....	78
4.19 ความสัมพันธ์แบบโพลีโนเมียล ช่วงที่ 1 : ระยะ 30 - 120 เมตร.....	79
4.20 ความสัมพันธ์แบบโพลีโนเมียล ช่วงที่ 2 : ระยะ 150 - 240 เมตร.....	79
4.21 ผลลัพท์จากการทดสอบด้วยสมการต้นแบบที่เหมาะสมในแบบที่ 1.....	81
4.22 ผลลัพท์จากการทดสอบด้วยสมการต้นแบบที่เหมาะสมในแบบที่ 2.....	82
4.23 ผลลัพท์จากการทดสอบด้วยสมการต้นแบบที่เหมาะสมในแบบที่ 3.....	83
4.24 ค่าผิดพลาดของผลลัพท์จากการทดสอบด้วยสมการต้นแบบในแบบที่ 1.....	84
4.25 ค่าผิดพลาดของผลลัพท์จากการทดสอบด้วยสมการต้นแบบในแบบที่ 2.....	85
4.26 ค่าผิดพลาดของผลลัพท์จากการทดสอบด้วยสมการต้นแบบในแบบที่ 3.....	86
5.1 ระยะ Z เนื่องที่คำนวณได้จากตัวแบบทั้ง 3 แบบ.....	90
5.2 ค่าผิดพลาดที่เกิดจากการคำนวณระยะ Z จากตัวแบบทั้ง 3 แบบ.....	91



คำอธิบายสัญลักษณ์และคำย่อ

Blob	Binary Large Object
BW	Black and White
DOF	Depth Of Field
JPEG	Joint Photographic Expert Group
m	Metre
nm	Nano metre
RGB	Red Green Blue
T	Threshold
2D	2 Dimensions
3D	3 Dimensions



บทที่ 1

บทนำ

1.1 ความเป็นมา

ระบบการรับรู้โดยอัตโนมัติที่เกี่ยวข้องกับการขับรถเริ่มนีบทบาทสำคัญในระบบ
ขานพาหนะ เพื่อช่วยในเรื่องความปลอดภัยและสนับสนุนการขับขี่รถยนต์ ซึ่งผู้ขับรถสามารถรับรู้
ข้อมูลที่เป็นประ予以ชน์และช่วยตัดสินใจในขณะที่กำลังขับรถ ระบบดังกล่าวสามารถช่วยให้เกิดเดี่ยง
หรือช่วยลดจำนวนอุบัติเหตุ ช่วยรักษาชีวิตและทรัพย์สิน หนึ่งในการตัดสินใจที่สำคัญของผู้ขับรถซึ่ง
ต้องนำมาพิจารณาคือการรับรู้ระยะทางและความเร็วของของรถที่วิ่งสวนทางมา โดยเฉพาะบนถนน
สองทาง ได้อย่างรวดเร็ว ตัวอย่างเช่น ขณะที่เราต้องการจะเลี้ยวขวาไปยังถนนหรือซอยที่อยู่ด้านขวา
ของถนน ซึ่งไม่ใช่ทางแยกหลักในขณะที่ยังมีรถวิ่งสวนทางมาอยู่นั้น การตัดสินใจที่ผิดพลาดหรือไม่
ถูกต้องสามารถนำไปสู่การเกิดอุบัติเหตุร้ายแรง ปัญหาดังกล่าวจะซับซ้อนลงมากเมื่อชั้นในเวลาถกกลางคืน
ขณะขับรถอยู่ในสภาพแวดล้อมที่มืด ความจริงนี้ได้รับการยืนยันโดยสถิติในปี พ.ศ. 2553 และ พ.ศ.
2554 [1] ในตารางที่ 1.1-1.3 สำหรับปี พ.ศ. 2554 ในประเทศไทยมีผู้เสียชีวิตโดยอุบัติเหตุในช่วง
วันหยุดเทศกาลปีใหม่ (29 ธันวาคม 2553 – 4 มกราคม 2554) จำนวน 358 ราย

ตารางที่ 1.1 ประเภทของถนนที่เกิดอุบัติเหตุ

ประเภทถนน	ช่วงวันหยุดเทศกาลสะสม 7 วัน	
	29 ธ.ค. 2552 - 4 ม.ค. 2553	29 ธ.ค. 2553 - 4 ม.ค. 2554
ถนนทางหลวงแผ่นดิน	35.40 %	36.15 %
นอกเขตทางหลวงแผ่นดิน	64.60 % ***	63.85 % ***
- ถนน อบต. / หมู่บ้าน	32.74 %	32.74 %
- ถนนในเมืองเทศบาล	13.24 %	14.47 %
- ถนนทางหลวงชนบท	13.21 %	13.10 %
- อื่นๆ	5.40 %	3.55 %

หมายเหตุ *** หมายถึง เปอร์เซ็นต์สูงสุดของอุบัติเหตุ

ตารางที่ 1.2 ลักษณะอุบัติเหตุที่เกิดอุบัติเหตุสูงสุด

อุบัติเหตุ	ช่วงวันหยุดเทศกาลสะสม 7 วัน	
	29 ธ.ค. 2552 - 4 ม.ค. 2553	29 ธ.ค. 2553 - 4 ม.ค. 2554
ทางตรง	60.27 % ***	58.39 % ***
ทางโค้ง	18.02 %	19.79 %
ทางแยก	11.97 %	12.53 %

หมายเหตุ *** หมายถึง เปอร์เซ็นต์สูงสุดของอุบัติเหตุ

ตารางที่ 1.3 ช่วงเวลาของการเกิดอุบัติเหตุสูงสุด

ช่วงเวลา	ช่วงวันหยุดเทศบาลสะสม 7 วัน	
	29 ธ.ค. 2552 - 4 ม.ค. 2553	29 ธ.ค. 2553 - 4 ม.ค. 2554
00.01 – 08.00 น.	18.25 %	20.93 %
08.01 – 16.00 น.	32.54 %	31.43 %
16.01 – 24.00 น.	49.21 % ***	47.64 % ***

หมายเหตุ *** หมายถึง เปอร์เซ็นต์สูงสุดของอุบัติเหตุ

จากการวิเคราะห์สถิติพบว่า ส่วนใหญ่ของอุบัติเหตุที่เกิดขึ้นมากกว่าครึ่งหนึ่งเกิดขึ้นในเวลา กลางคืน ซึ่งเกิดจากการตัดสินใจพิเศษลดลงของผู้ขับรถ แสงในที่น้ำมันเพียงอย่างเดียวคือคำแนะนำที่สำคัญ เพื่อรับรู้ระยะของวัตถุที่อยู่ใกล้ๆ กันออกไป รวมถึงรถจักรยานยนต์และอื่นๆ ที่สวนทางมา เนื่องจาก ในความมีดเราไม่สามารถคาดคะเนระยะวัตถุที่อยู่ใกล้ๆ กันออกไปได้ด้วยสายตา ในสถานการณ์เช่นนี้รถที่มีระบบรับรู้และทำงานโดยอัตโนมัติในเวลากลางคืนจะสามารถให้ความช่วยเหลือผู้ขับรถ เพื่อหลีกเลี่ยงหรือช่วยลดจำนวนอุบัติเหตุลงได้

ดังนั้นงานวิจัยนี้จึงเห็นว่า เมื่อใดก็ตามที่ยังมีรถวิ่งสวนทางมาในช่องทางตรงข้ามอาจทำให้เกิดอันตรายและความไม่ปลอดภัยได้ จึงได้ทำการศึกษาวิจัย เพื่อแก้ปัญหาอุบัติเหตุที่เกิดจากรถชนต์บนถนนสองช่องทางขวาหรือถนนออกเขตทางหลวงแผ่นดิน จุดที่เป็นทางตรงและช่วงเวลา กลางคืน ซึ่งมีเปอร์เซ็นต์การเกิดอุบัติเหตุสูงจากสถิติในตารางที่ 1.1 ถึง 1.3 โดยนำวิธีการประมวลผล ภาพนาฬิกาโลกใช้ในการคำนวณหาระยะทางของรถที่เคลื่อนที่สวนทางเข้ามาในฝั่งตรงข้าม เพื่อสนับสนุนผู้ขับรถในการรับรู้ระยะทางนั้นได้

1.2 การวิเคราะห์ปัญหาและแนวคิดพื้นฐาน

สำหรับคนที่จะมีการตัดสินใจที่ดีในขณะขับรถ การเรียนรู้เส้นทางและประสบการณ์เป็นสิ่งที่จำเป็นทั้งในเวลากลางวันและกลางคืน ปัญหาคือเราไม่สามารถคาดคะเนระยะทางของวัตถุที่อยู่ไกลออกไปได้ถูกต้องในเวลากลางคืน ซึ่งส่งผลให้เกิดการตัดสินใจที่ผิดพลาดได้ ระบบสนับสนุนการขับรถโดยอาศัยวิสัยทัศน์รอบๆ วัตถุหรือแสงไฟหน้ารถถูกนำมาเป็นแนวคิดของงานวิจัยนี้ การเรียนรู้ความยากง่ายของการคำนวณระยะทางและความเร็วของรถในสภาพแวดล้อมที่มีดีหรือเวลากลางคืนก็คือเรื่องขนาดของไฟหน้ารถที่เคลื่อนที่ใกล้เข้ามา ซึ่งจะแตกต่างกันได้ถูกนำมาพิจารณา แต่เวลาที่ใช้ในการประมวลผลก็เป็นสิ่งจำเป็น อาจไม่สามารถใช้งานได้อย่างมีประสิทธิภาพ สำหรับรถเคลื่อนที่ด้วยความเร็วสูง ถึงแม้ว่าอัศัยความมีดในเวลากลางคืนเป็นปัจจัยหลัก แต่ก็ยังมีวัตถุอื่นๆ ที่ยากต่อการกำจัด ถ้าหากยังคงมองเห็นทำให้เรามุ่งเน้นเฉพาะแสงไฟ 2 ดวงหน้ารถที่เปลี่ยนแปลงกรณีรถเคลื่อนที่สวนทางมา ดังนั้นไฟหน้าเท่านั้นเป็นข้อมูลเฉพาะสำหรับการตัดสินระยะทางและความเร็วของรถยนต์ ในการศึกษาวิจัยนี้เสนอวิธีการ ความคิดดังต่อไปนี้

ขั้นตอนที่ 1 จะทำการประมวลผลภาพอินพุท 2 ภาพที่บันทึกภาพจากกล้อง 2 ตัว โดยแปลงจากภาพสีแบบ RGB ให้เป็นภาพขาวดำระดับสีเทาและทำภาพขาวดำระดับสีเทาให้เป็นภาพใบหนารี่

ขั้นตอนที่ 2 นำภาพใบหนารี่ที่ได้มาคำนวณหาภาพที่คมชัดที่สุดด้วยหลักการหาระยะห่างของภาพจากกล้อง 2 ตัว ซึ่งติดตั้งในตำแหน่งต่างกันทำให้ภาพที่ถ่ายนั้นมีความชัดลึกหรือโฟกัสภาพต่างกัน

ขั้นตอนที่ 3 นำภาพที่ได้ไปประมวลผลอีกครั้งด้วยการแยกแบล็คแอนด์ไวท์เข้มของแสง (Blob Coloring) เพื่อหาศูนย์กลางดวงไฟ จากนั้นก็คำนวณหาระยะห่างระหว่างหลอดไฟ 2 ดวง ในภาพ

ขั้นตอนที่ 4 จะนำค่าระยะห่างของดวงไฟ 2 ดวงในภาพไปคำนวณหาความยาวของวัตถุในระนาบภาพหรือระยะของรถที่สวนทางมาด้วยทฤษฎีมุมมองทัศนวิติ

ปัญหาคือว่าในการนឹងของไฟหน้าเปลี่ยนตำแหน่ง ควรต้องใช้ความยาวที่แท้จริงของระยะห่างหลอดไฟ 2 ดวง ในการหาระยะห่างมีสองสิ่งที่เกี่ยวกับไฟหน้าของรถ ซึ่งเกือบจะเหมือนกัน สำหรับรถยนต์ทุกชนิดจากบริษัทผู้ผลิตรถยนต์ต่างๆ คือ

- 1) ขนาดของไฟหน้า
- 2) ระยะห่างระหว่างสองไฟ 2 ดวงหน้ารถ

อย่างไรก็ตามในกรณีขนาดของไฟหน้ามีสองเหตุผลที่ไม่เหมาะสม ประการแรกเป็นเรื่องมากที่จะหาวงกลมในระนาบภาพที่สอดคล้องกับภาพไฟหน้า เพราะฉะนั้นไฟหน้าจะเคลื่อนที่

จึงให้วิธีหาศูนย์กลางของดวงไฟ ซึ่งจะไม่แตกต่างกันมากและมีผลต่อการคำนวณที่แม่นยำ ประการที่สองคือความเปลี่ยนแปลงของไฟหน้าขนาดเล็กเป็นไฟหน้าขนาดใหญ่ โดยเฉพาะอย่างยิ่งเมื่ออุ่ห่างไกล ดังนั้นการศึกษาวิจัยครั้งนี้จะใช้ความสัมพันธ์ของข้อมูลระหว่างระยะของไฟหน้าจากมุมมองทัศนนิติ รายละเอียดของวิธีการ ความคิดเห็นของผู้เชี่ยวชาญ ไว้ในบทที่ 3

ขั้นตอนที่ 5 สร้างตัวแบบที่เหมาะสมเพื่อใช้ในการพยากรณ์หาระยะทางของรถที่สวนทางมาโดยวิเคราะห์การแปลผลทางสถิติ

ขั้นตอนที่ 6 ขบวนการทดสอบสมการต้นแบบ วิเคราะห์ข้อผิดพลาดและหาข้อสรุป

งานวิจัยได้ปรับปรุงเพิ่มเติมด้วยวิธีการติดตั้งกล้องในแนวแกน X และ Y เพื่อยืนยันเก็บกันโดยอาศัยค่าความเปลี่ยนแปลงของตำแหน่งศูนย์กลางดวงไฟที่เปลี่ยนแปลง (พิกเซล) แทนการหาระยะดวงไฟ 2 ดวง จากนั้นจะนำค่าพิกเซลที่ได้จากภาพไปอ้างอิงกับระยะห่างระหว่างกล้อง 2 ตัว เพื่อจะได้ทราบว่าค่าพิกเซลที่แท้จริงคือระยะกี่เมตรและค่าพิกเซลที่ได้จากภาพควรจะสัมพันธ์กับระยะทางในแนวระนาบวัตถุเนื่องจากระยะห่างกล้องจะคงที่

1.3 วัตถุประสงค์ของงานวิจัย

1.3.1 ศึกษาและประยุกต์ใช้เทคนิคประมวลผลภาพ

1.3.2 เรียนรู้เรื่องกล้องและศึกษาผลลัพธ์จากเทคนิคการติดตั้งกล้อง เพื่อนำใช้ประโยชน์ในการตรวจสอบหาระยะห่างของไฟหน้ารถ

1.3.3 ศึกษาเรื่องมุมมองทัศนนิติหรือโลกทัศน์จริงในการตรวจสอบหาระยะทางของรถที่เคลื่อนที่สวนทางมา

1.3.4 ศึกษาวิเคราะห์การแปลผลทางสถิติ เพื่อหาสมการต้นแบบจากความสัมพันธ์ของข้อมูลและการทดลองของตัวแปรตอบสนองแบบต่อเนื่อง

1.3.5 ศึกษาเทคนิคอื่นๆ ที่นำมาใช้ในการพัฒนางานวิจัย

1.4 สมมุตฐานของการศึกษา

จากการศึกษาพบว่าแสงไฟหน้ารถจะพบได้่ายในเวลากลางคืน ผู้วิจัยมีแนวความคิดที่จะนำลักษณะเด่นของแสงไฟที่เป็นเป้าหมายกับพื้นหลังที่สามารถแยกแยะความแตกต่างได้ชัดเจนเนื่องจากในเวลากลางคืนสายตามนุษย์ไม่สามารถคาดคะเนระยะทางได้เหมือนกับเวลากลางวันและเวลากลางคืนสามารถตัดอุปสรรคที่ไม่เคลื่อนที่ไปได้่าย เช่น ไฟถนนข้างทาง จึงใช้แสงไฟหน้ารถมา

ทำการประมวลผล เพื่อวิเคราะห์หาระยะทางของรถที่เคลื่อนที่ส่วนทางมา การประยุกต์ใช้กรรมวิธี ประมวลผลภาพเริ่มจากการนำภาพถ่ายแบบดิจิตอลของไฟหน้ารถมาทำการวิเคราะห์ เพื่อหาระยะของหลอดไฟ 2 ดวงหน้ารถด้วยกรรมวิธี Blob Coloring เนื่องจากเป็นเทคนิคการประมวลผลภาพพื้นฐาน ที่นิยมใช้และสะดวกในการพัฒนาโปรแกรมแล้วนำค่าระยะของหลอดไฟ 2 ดวงที่ได้ไปประมวลผล หาระยะทางของรถที่เคลื่อนที่ส่วนทางมา โดยใช้มุมมองทัศนวิติ ผลลัพธ์ที่ได้จากการทดสอบทั้งหมด สามารถนำมาหาสมการตัวแบบ ด้วยวิธีการวิเคราะห์การคัดแยกจากราฟ

1.5 ขอบเขตของการศึกษา

1.5.1 ใช้ซอฟต์แวร์ซึ่งพัฒนาบนโปรแกรม MATLAB 2007b สำหรับเป็นเครื่องมือในการ ประมวลผล

1.5.2 ใช้หลักการ Depth of Field เพื่อหาโฟกัสของไฟหน้าในการระหว่างกล้อง 2 ตัว

1.5.3 ใช้วิธี Blob Coloring เพื่อหาศูนย์กลางและระยะห่างของหลอดไฟหน้ารถ

1.5.4 ใช้มุมมองทัศนวิติหรือมุมมองโลกทัศน์จริงในการหาระยะทางของรถที่ส่วนทางมา

1.5.5 สร้างสมการตัวแบบความสัมพันธ์ เพื่อนำไปใช้คำนวณหาระยะทางของรถที่ส่วน ทางมา

1.5.6 สร้างตัวแบบที่เหมาะสม เพื่อใช้ในการพยากรณ์หาระยะวัตถุในแนวระนาบหรือ ระยะทางของรถที่ส่วนทางมาโดยวิเคราะห์การแปลผลทางสถิติ

1.5.7 ใช้วิธีประมวลผลภาพจากมุมมอง 2 ตาหรือ Binocular Vision สำหรับหาระยะทาง ของรถที่ส่วนทางมาในเวลาถูกทางคืนได้โดยไม่สนใจประเภทของรถที่ส่วนมา

1.5.8 สามารถคำนวณหาระยะทางได้ในช่วงระยะ 30 – 240 เมตร

1.6 ข้อจำกัดของงานวิจัย

1.6.1 ทดสอบกับรถบนถนนเลนเดียวในสภาพแวดล้อมที่มีดีหรือถูกทางคืน

1.6.2 ใช้ภาพที่ได้จากกล้องที่จับภาพแบบปกติไม่ใช่แบบอินฟราเรด

1.6.3 ใช้ภาพที่ถ่ายในสภาพอากาศที่ปิดติดเท่านั้น

1.6.4 ใช้รถทดสอบที่มีหลอดไฟหน้า 2 ดวงประเภทหลอดไส้

1.6.5 รถที่ทดสอบไม่เปิดไฟตัดหมอก

1.6.6 ทดสอบจากรถยนต์ 2 ประเภทคือรถกระยะและรถนั่งส่วนบุคคล

บทที่ 2

งานวิจัยและทฤษฎีที่เกี่ยวข้อง

ในบทนี้เป็นการนำเสนอหลักการและทฤษฎีที่เกี่ยวข้องของการตรวจสอบและคำนวณหาระยะทางของรถผู้ต้องข้ามในอีกฝั่งของถนนจากไฟ 2 ดวงหน้ารถในเวลากลางคืน รวมทั้งได้กล่าวถึงงานวิจัยที่มีผู้ทดลองเกี่ยวกับการตรวจสอบระยะทาง ซึ่งมีหลักการที่คล้ายกับงานวิจัยชิ้นนี้นำเสนอโดยเสนอตามลำดับหัวข้อดังต่อไปนี้

2.1 การประมวลผลภาพดิจิตอล

การประมวลผลภาพดิจิตอล (Digital Image Processing) จะเกี่ยวกับการแปลงข้อมูลภาพให้อยู่ในภาพแบบข้อมูลดิจิตอล (Digital format) ซึ่งสามารถที่จะนำเอาข้อมูลนี้จัดผ่านกระบวนการต่างๆ ด้วยคิจิตอลคอมพิวเตอร์ได้ ในระบบของคิจิตอลอินพุตและเอาท์พุตของระบบจะอยู่ในภาพแบบดิจิตอลเท่านั้น

การวิเคราะห์ภาพดิจิตอล (Digital Image Analysis) จะเกี่ยวกับวิธีการอธิบายและการจัดทำข้อมูลภาพดิจิตอล ซึ่งอินพุตของระบบจะเป็นข้อมูลภาพดิจิตอลและเอาท์พุตจะเป็นเครื่องหมายที่ใช้แทนข้อมูลภาพดิจิตอลเหล่านั้น ในการวิเคราะห์ภาพมีอยู่หลายวิธีด้วยกันที่ได้นำมาจากการทำงานของสายตามนุษย์ (Human Vision) นั่นก็คืองานทางด้าน Computer Vision เป็นลักษณะเดียวกับ Digital image analysis นั่นเอง การมองเห็นของมนุษย์นับว่าเป็นกระบวนการที่ซับซ้อน ซึ่งลักษณะเทคนิค โดยทั่วไปในกระบวนการ Digital Image Analysis และ Computer Vision จะค่อนข้างซับซ้อนเช่นกัน

2.2 การแปลงภาพดิจิตอล

วัตถุต่างๆหรือสิ่งที่มองเห็นทั่วไปสามารถแสดงถึงฟังก์ชันใน 2 มิติในภาพของ $F(x, y)$ โดยที่ x และ y คือตำแหน่งและพิกัดของภาพ สำหรับ F คือค่าของความเข้มของภาพที่ตำแหน่ง (x, y) หรือ Spatial Coordinates ซึ่งความเข้มนี้คือค่าระดับสีเทา [2] โดยที่ F มีค่ามากกว่าศูนย์และมีค่าจำกัดนิยามได้ดังสมการที่ (2.1)

$$0 < F(x, y) < \infty \quad (2.1)$$

โดยทั่วไปแล้วค่าระดับความเข้มแสง $F(x, y)$ จะขึ้นอยู่กับองค์ประกอบ 2 ส่วนคือ

- 1) Illumination คือ ค่าระดับความสว่างที่ต่อกกระทบวัตถุ
- 2) Reflectance คือ ค่าระดับความสว่างที่สะท้อนมาโดยวัตถุ

ซึ่งค่า Illumination นี้สามารถนิยามได้เป็นค่าฟังก์ชันของ $i(x, y)$ และ Reflectance สามารถนิยามได้เป็นค่าฟังก์ชันของ $r(x, y)$ ตามลำดับ โดย $F(x, y)$ คือค่าผลคูณ (Dot Product) ของฟังก์ชันทั้งสองดังสมการที่ (2.2)

$$F(x, y) = i(x, y)r(x, y) \quad (2.2)$$

โดยที่

$$0 < i(x, y) < \infty \quad (2.3)$$

และ

$$0 < r(x, y) < 1 \quad (2.4)$$

โดยปกติเราจะกำหนดให้ค่าความเข้ม (Intensity) ของภาพที่ตำแหน่ง (x_0, y_0) ได้เป็นค่าระดับเทา (Gray Level : ℓ) ดังสมการที่ (2.5)

$$\ell = F(x_0, y_0) \quad (2.5)$$

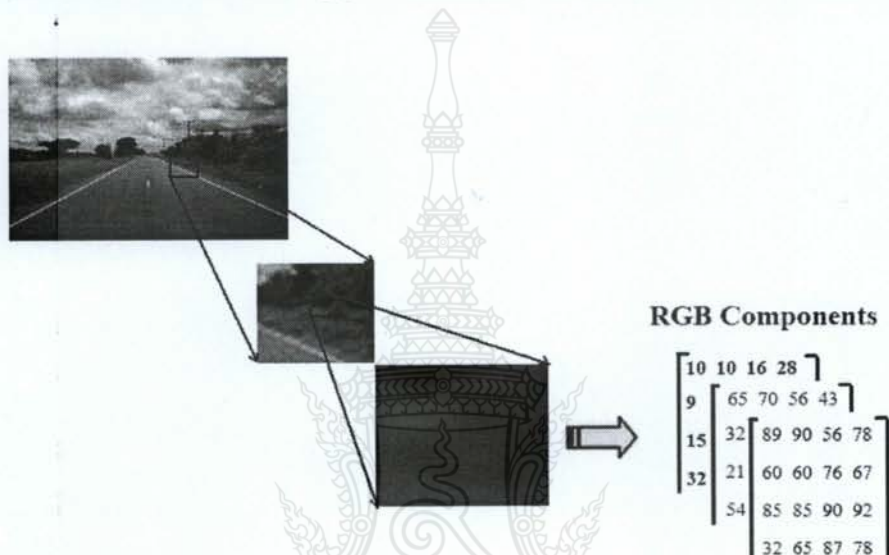
ดังนั้นจากสมการที่ (2.2) ถึงสมการที่ (2.4) ทำให้ได้ค่าความเข้ม (ℓ) ดังนี้

$$\ell_{\min} \leq \ell \leq \ell_{\max} \quad (2.6)$$

จากสมการที่ (2.6) ในทางทฤษฎีแล้ว ℓ_{\min} จะมีค่าเป็นบวกและ ℓ_{\max} ต้องมีค่าจำกัด โดยที่ $\ell_{\min} = \ell_{\min} r_{\min}$ และ $\ell_{\max} = \ell_{\max} r_{\max}$

2.2.1 ภาพสี (RGB Image)

ค่าในแต่ละพิกเซลของภาพสีจะประกอบไปด้วยแกนเดอร์ที่แสดงค่าของสีแดง (R) สีเขียว (G) และสีน้ำเงิน (B) อย่างละ 8 บิต ดังนั้นข้อมูล 1 พิกเซลของภาพจะประกอบไปด้วยจำนวนบิตของทั้ง 3 ค่าสี (R G B) รวมทั้งหมด 24 บิต ทำให้ภาพสีหรือ RGB Image มีจำนวนสีที่เป็นไปได้ทั้งหมด 2^{24} สีหรือ 16 ล้านสี โดยลักษณะการเก็บข้อมูลของภาพ RGB จะเป็นลักษณะของแมทริกของค่าสีแดง เขียวและน้ำเงินนั้นเอง โดยภาพ RGB [2] แสดงตัวอย่างของ Pixel Value ได้ดังภาพที่ 2.1



ภาพที่ 2.1 ภาพเชิงดิจิตอลประเภท RGB Image

2.2.2 ภาพสีเทา (Gray Image)

ค่าในแต่ละพิกเซลของภาพสีเทาคือค่าความเข้มของแสง ณ แต่ละตำแหน่งของพิกเซลซึ่งจะอยู่ในภาพของภาพขาวดำระดับสีเทา (Gray Level) ดังภาพที่ 2.2

ขั้นตอนการแปลงภาพสีให้เป็นภาพขาวดำระดับสีเทา [2] ทำได้โดยแยกระดับสีแต่ละพิกเซลออกจากกันในภาพแบบสี RGB จากนั้นนำค่าสี RGB มาเข้าสู่สมการ เพื่อคำนวณหาค่าสีเทา และนำค่าที่ได้ไปแทนที่คุณพิกเซลเดิม โดยคำนวณได้จากสมการดังต่อไปนี้

$$G' = 0.3R + 0.59G + 0.11B \quad (2.7)$$

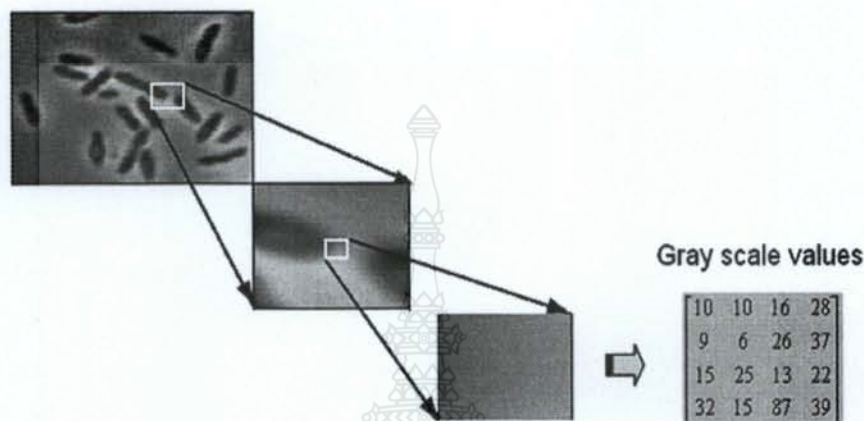
หรือ

$$G' = \frac{R + G + B}{3} \quad (2.8)$$

โดยกำหนดให้

G' คือ ค่าระดับสีเทา

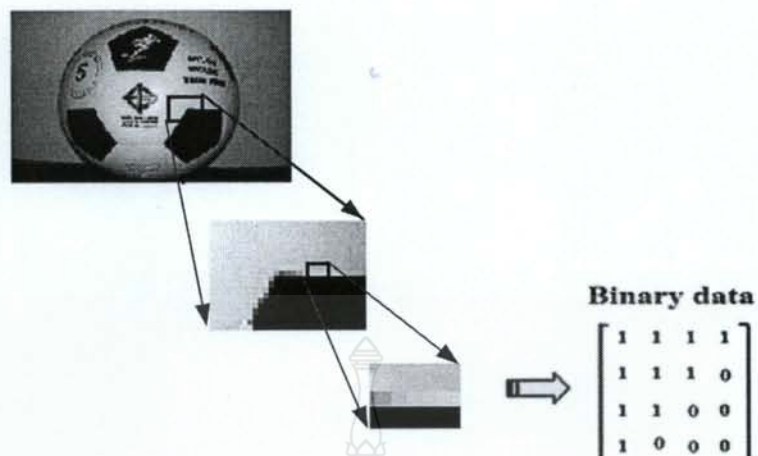
R คือ ค่าระดับสีแดง
 G คือ ค่าระดับสีเขียว
 B คือ ค่าระดับสีน้ำเงิน



ภาพที่ 2.2 ภาพเชิงคณิตอลประเกต Gray Image [2]

2.2.3 ภาพไบนารี่ (Binary Image)

ไบนารี่ในทางคณิตอลหมายถึงว่ามีเพียง 2 สถานะคือ 0 และ 1 ซึ่งภาพไบนารี่ [2] ก็จะมีแค่ความเข้ม 2 ค่าเท่านั้นคือ 0 และ 1 หมายความว่าพิกเซลใดที่มีค่าเป็น 0 ก็จะหมายถึงว่าพิกเซลนั้นจะแสดงสีดำ พิกเซลใดที่มีค่าเป็น 1 ก็จะหมายถึงว่าพิกเซลนั้นจะแสดงสีขาว ซึ่งการแปลงภาพระดับสีเทาเป็นภาพไบนารี่นั้นจะต้องกำหนดค่าความเข้มของสีเทาที่ต้องการอ้างอิงหรือเรียกว่าค่าเท rhez ไฮล (Threshold Value) ซึ่งค่านี้จะถูกกำหนดโดยผู้ใช้หรือว่าการใช้อัลกอริทึมในการหาค่าเท rhez ไฮลโดยอัตโนมัติได้ ตัวอย่างในภาพที่ 2.2 ซึ่งภาพนี้เกิดจากการใช้ค่าเท rhez ไฮลที่ความเข้มสีเทาเท่ากับ 150 ซึ่งหากพิกเซลใดของภาพระดับสีเทามีค่าความเข้มสีเทาต่ำกว่าค่าเท rhez ไฮลที่กำหนดหรือต่ำกว่า 150 ก็จะให้มีสถานะเป็น 0 แต่หากพิกเซลใดมีค่าความเข้มสีเทามากกว่าค่าเท rhez ไฮลหรือสูงกว่า 150 ก็จะให้สถานะเป็น 1 ดังในภาพที่ 2.3



ภาพที่ 2.3 ภาพเชิงคิจิตอลประเภทไบนาเรี่ย

2.3 คุณสมบัติของภาพแบบไบนาเรี่ย (Properties of Binary Images)

2.3.1 ขนาดหรือพื้นที่ (Area)

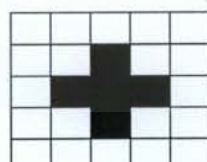


คลา 1 หมายถึง พื้นที่สีดำ (foreground)

นิพื้นที่สีดำ = 5

ภาพที่ 2.4 ขนาดหรือพื้นที่ของวัตถุ

2.3.2 ตำแหน่งของวัตถุหรือจุดศูนย์กลางมวล (Position of Object ,Center of Mass)



$$\bar{x} = \frac{1+2+2+2+3}{5} = 2$$

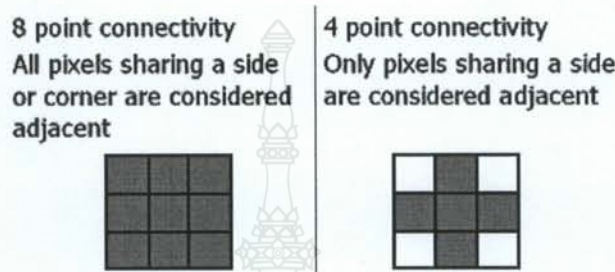
$$\bar{y} = \frac{1+2+2+2+3}{4} = 2$$

ภาพที่ 2.5 ตำแหน่งของวัตถุ

ตำแหน่งของวัตถุ คือ (2, 2)

2.4 วิเคราะห์หากลุ่มสีของวัตถุหรือเป้าหมายที่เป็นใบหน้า (Blob Coloring)

เมื่อภาพถูกแบ่งออกเป็นหลายส่วน Blob Coloring เป็นเทคนิคที่ช่วยในการหารูปเร็วที่เชื่อมต่อกัน Blob Coloring มีหลายวิธีด้วยกันเป็นต้นว่า Blob Coloring แบบ 4 Point Connection ใช้ในการหารูปเร็วที่เป็นเส้นหรือ Blob Coloring แบบ 8 Point Connection ใช้ในการหาพื้นที่ที่เชื่อมต่อกันตามภาพที่ 2.6



ภาพที่ 2.6 ลักษณะการเชื่อมต่อกันแบบ 8 และ 4 Point Connection

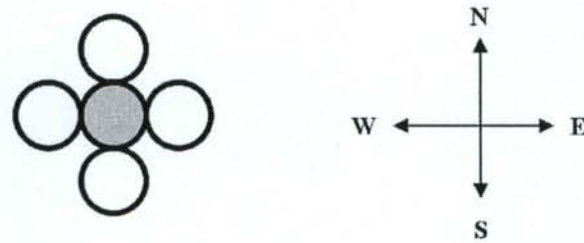


ภาพที่ 2.7 การทำ Blob Coloring แบบ 8 Point Connection

จากภาพที่ 2.7 พื้นที่ที่แยกออกจากกันในภาพ จะถูกตรวจสอบและทำการ Recursive ต่อไปเรื่อยๆ จนกระทั่งถึงบริเวณที่เป็นขอบ จะเห็นว่าภาพที่ได้จากการทำ Blob Coloring แล้วจะถูกแบ่งออกเป็นส่วนๆแยกกัน

2.4.1 การกำหนดจำนวนจุดเชื่อมต่อแบบ 4 Connected

จะเป็นการสแกนหาจุดพิกเซลที่มีสีดำเหมือนกันกับจุดเริ่มต้น โดยจะเป็นการตรวจหาพิกเซลที่ติดกันและทำการตรวจหาใน 4 ทิศทางคือบน (N) ลง (S) ซ้าย (W) และขวา(E) ของพิกเซลที่เป็นจุดเริ่มต้นของการสแกนดังตัวอย่างในภาพที่ 2.8

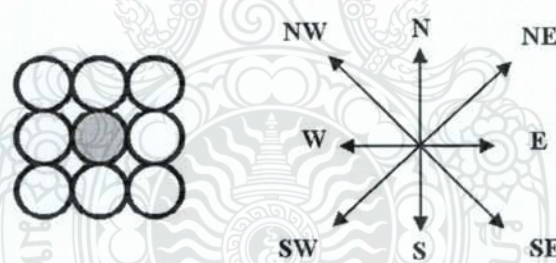


ภาพที่ 2.8 จุดพิกเซล 4 - connected และทิศทางที่ใช้ระบุในการสแกน

ซึ่งการสแกนและแสดงลำดับของข้อมูลที่ถูกสแกนนั้นตัวอัลกอริทึมจะเรียงข้อมูลในทิศเหนือ (N) ทิศใต้ (S) ก่อนและจะสแกนข้อมูลที่อยู่ทิศตะวันตก (W) เป็นลำดับแรก

2.4.2 Seed อัลกอริทึมแบบ 8 Connected

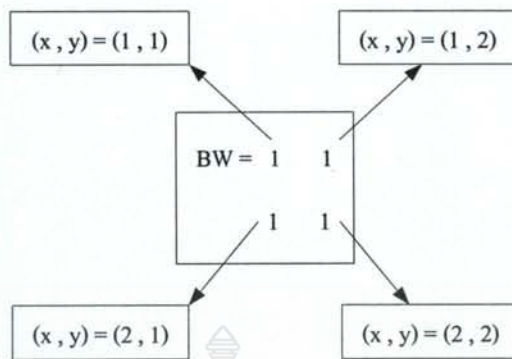
Seed อัลกอริทึมแบบ 8 Connected จะเป็นการสแกนหาจุดพิกเซลที่มีสีเดียวกันกันกับจุดเริ่มต้น โดยจะเป็นการตรวจหาพิกเซลที่ติดกันและทำการตรวจหาใน 8 ทิศทางคือบน (N) ล่าง (S) ซ้าย (W) ขวา (E) บนซ้าย (NW) บนขวา (NE) ล่างซ้าย (SW) และล่างขวา (SE) ของพิกเซลที่เป็นจุดเริ่มต้นของการสแกนดังภาพที่ 2.9



ภาพที่ 2.9 จุดพิกเซล 8 - connected และทิศทางที่ใช้ระบุในการสแกน

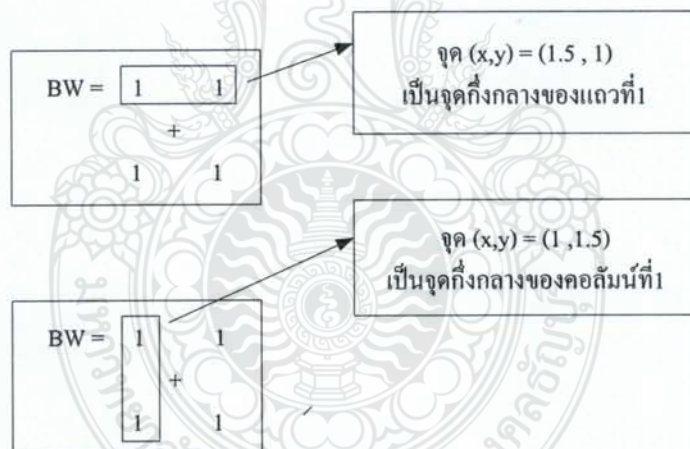
2.4.3 จุดศูนย์กลางของพื้นที่ (Centroid)

จุดศูนย์กลางของพื้นที่หรือ Centroid คือค่าเฉลี่ยพิกัดในแนวแกนแนวนอนและแนวแกนตั้งของพิกเซลทุกจุดที่อยู่ในพื้นที่ของดวงไฟเป้าหมายนั้นสามารถอธิบายได้ดังนี้



ภาพที่ 2.10 พิกัดหรือจุด Pixel Coordinate ของข้อมูลในระนาบ X Y

จากภาพที่ 2.10 จุดกึ่งกลางของข้อมูลในແຄວທີ່ 1 ຄື່ອ $(x, y) = (1, 1)$ ປື້ນ $(x, y) = (1, 2)$ ຢ່ອງ
ຄວາມຍາວກິ່ງກລາງຂອງຈຸດ $(1, 1)$ ປື້ນ $(1, 2)$ ຄື່ອຈຸດທີ່ພິກັດຂອງ $x = 1$ ແລະ $y = 1.5$ ສ່ວນກາຮຳນວຍ
ຈຸດກິ່ງກລາງຂອງข້ອນຸລໃນຄອດັ່ນນີ້ທີ່ 1 ຄື່ອ $(x, y) = (1, 1)$ ປື້ນ $(x, y) = (2, 1)$ ຢ່ອງຄວາມຍາວກິ່ງກລາງຂອງຈຸດ
 $(1, 1)$ ປື້ນ $(1, 2)$ ຄື່ອຈຸດທີ່ພິກັດຂອງ $x = 1$ ແລະ $y = 1.5$ ດ້ວຍເໜື້ອນກັນ



ภาพที่ 2.11 ຈຸດກິ່ງກລາງຂອງข້ອນຸລໃນແຄວແລະຄອດັ່ນນີ້

จากภาพที่ 2.10 ແລະ ภาพที่ 2.11 ພບວ່າກາຮຳນວຍຈຸດຫາ Centroid ຂອງພື້ນທີ່ໄດ້ຈຳນັ້ນ
ສາມາຮຳກາຮຳນວຍໄດ້ຈາກການນຳພິກັດຂອງຈຸດ x ແລະ y ທີ່ໜ້າມຄາຫາຄ່າເຄລື່ອນໍ້າເອງ ໂດຍຫາຮັບກິ່ງຈານວ່າ
ຂອງຈຸດ x ຢ່ອງ y ທີ່ໜ້າມຄື່ອງຢູ່ໃນພື້ນທີ່ນັ້ນກີ່ຈະໄດ້ພິກັດຂອງຈຸດ (x, y) ທີ່ເປັນຈຸດສູນຍົກລາງອອກນາ້ຳ
ສາມາຮຳກາຮຳນວຍໄດ້ດັ່ງນີ້

ໂດຍຈຸດທີ່ໜ້າມຄື່ອງຢູ່ໃນພື້ນທີ່ຄື່ອງ $\{(x, y)\} = \{(1, 1), (2, 1), (1, 2), (2, 2)\}$ ຈາກຂໍ້ອນຸລຈຸດ
ຕ້ວອຍໆຢ່າງນີ້ນໍາຈຸດ x ມາຫາຄ່າເຄລື່ອນໍ້າໄດ້

$$\bar{x} = \frac{(1+2+2+2)}{4} = 1.5$$

ดังนั้น \bar{x} หรือจุด Centroid_x เท่ากับ 1.5 จากนั้นนำจุด y มาหาค่าเฉลี่ยจะได้

$$\bar{y} = \frac{(1+1+2+2)}{4} = 1.5$$

ดังนั้น \bar{y} หรือจุด Centroid_y เท่ากับ 1.5 ด้วยเช่นกันจากการคำนวณทั้งหมดทำให้ได้จุดศูนย์กลางของແບ່ນທີ່ນີ້គື້ອ (Centroid_x, Centroid_y) = (1.5, 1.5) ดังภาพที่ 2.12



ภาพที่ 2.12 จุดศูนย์กลางของข้อมูลจากค่าเฉลี่ยของตำแหน่งพิกัด x และ y

ดังนั้นจากการข้างต้นจะพบว่าการคำนวณหาตำแหน่งพิกัดจุด Centroid ของพื้นที่ใดๆ สามารถคำนวณหาจุด Centroid ของพื้นที่นั้นๆ ได้โดยเป็นการนำพิกัดของจุด Pixel ทั้งหมดของพื้นที่ในแนวแกนนอนและแนวแกนตั้งมาทำการหาค่าเฉลี่ยนั้นเอง ซึ่งสามารถแสดงการคำนวณได้ดังสมการที่ (2.9) และ (2.10) ดังนี้

$$\text{Centroid}_x = \frac{1}{K} \sum_{i=1}^K x_i \quad (2.9)$$

$$\text{Centroid}_y = \frac{1}{K} \sum_{i=1}^K y_i \quad (2.10)$$

โดย Centroid_x กือ พิกัดจุดศูนย์กลางของจุด x

Centroid_y กือ พิกัดจุดศูนย์กลางของจุด y

k กือ จำนวนของ Pixel ใน 1 ແບ່ນທີ່ (1 Region)

i กือ ลำดับหรือตำแหน่งของพิกเซล

2.4.4 กรอบที่ใช้ครอบดวงไฟ (Bounding Box)

Bounding Box [3] หรือกรอบพื้นที่ของดวงไฟจะมีลักษณะเป็นสี่เหลี่ยมที่ไว ซึ่งอัลกอริทึมจะสร้าง Bounding Box นี้ขึ้นหลังจากที่มีการคำนวณและระบุตำแหน่งต่างๆ ของดวงไฟในภาพทั้งหมดแล้ว โดยมีลักษณะของ Bounding Box จะเป็นกรอบสี่เหลี่ยมที่ล้อมและครอบพื้นที่ของดวงไฟจากซ้ายสุดไปขวาสุดและจากบนสุดลงล่างสุด โดยคุณสมบัติและภาพของ Bounding Box

สามารถระบุคุณสมบัติของ Bounding Box เพื่อที่จะนำไป Plot เป็นภาพกรอบสี่เหลี่ยมเพื่อครอบดวงไฟโดยประกอบด้วย

1. จุดพิกัด (x, y) นมบันซ้ายสุด (Upper Left) ของดวงไฟ
2. Width ความกว้าง (y) และ length ความยาว (x) ของดวงไฟ

ดังนั้น Bounding Box ของดวงไฟ 1 ดวงนั้นคือชุดข้อมูลของของจุดพิกัด (x, y) และ Width ความกว้าง (y) และ length ความยาว (x) ดังนี้

$$\text{Bounding Box} = \begin{bmatrix} x \\ y \\ \text{Width} \\ \text{Length} \end{bmatrix} \quad (2.11)$$

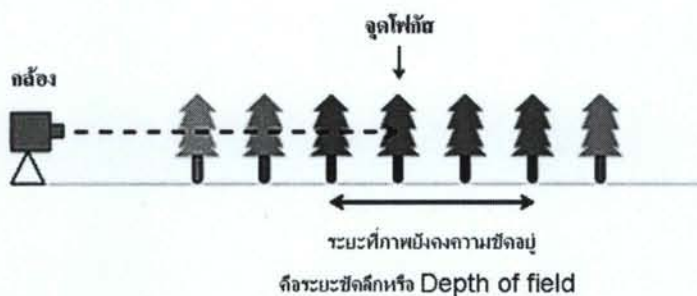
จากสมการที่ (2.11) สามารถนำผลของค่า Bounding Box แต่ละตำแหน่งไปทำการ Plot กรอบสี่เหลี่ยมของดวงไฟแต่ละดวง จะได้ผลตามลักษณะดังภาพที่ 2.13



ภาพที่ 2.13 การ Plot กรอบสี่เหลี่ยมครอบดวงไฟ (Bounding Box)

2.5 ระยะชัดของภาพ

ระยะชัดลึกหรือ Depth of Field [4] คือช่วงระยะที่ภาพบังคับมีค่าความคมชัดของภาพอยู่ในช่วงที่ยอมรับได้



ภาพที่ 2.14 ระยะชัดของภาพ [4]

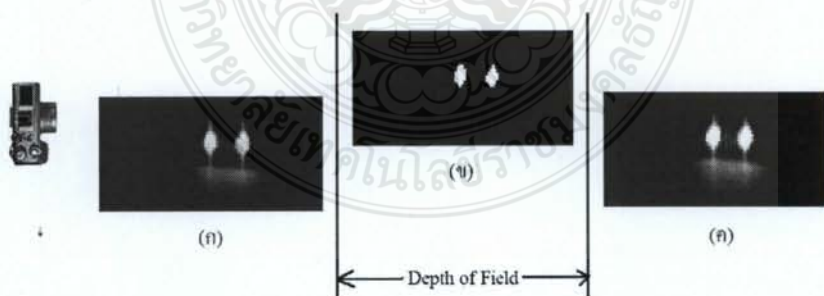
จากภาพที่ 2.14 จะเห็นว่ากล้องโฟกัสไปที่ต้นไม้ต้นที่ 4 นับจากด้านซ้ายมือ แต่ภาพที่ได้จะชัดตั้งแต่ต้นไม้ต้นที่ 3 ถึงต้นที่ 7 ซึ่งระยะที่ภาพยังคงชัดอยู่นี้เราจะเรียกว่าระยะชัดลึกนั่นเอง โดยถ้าบอกระยะชัดลึกน้อยหรือชัดคืนแล้วจะแสดงว่าระยะที่ภาพชัดจะน้อย ภาพก็จะชัดเฉพาะส่วนที่เราโฟกัส ส่วนจากหน้า จากหลังก็จะเบลอ ในทางกลับกันถ้าบอกว่าระยะชัดลึกมากหรือชัดลึกก็แสดงว่าภาพมีช่วงความชัดมาก ถ่ายมาหน้าก็เบลอ หลังก็ชัด เป็นต้น

2.5.1 การบวกภาพ (Adding Image)

การบวกภาพ [2] มีสองลักษณะคือบวกภาพกับภาพ บวก Matrix กับ Matrix ดังสมการที่ 2.12 และบวกภาพกับค่าคงที่ (Matrix กับค่า c) ดังสมการที่ 2.13

$$r[x, y] = a[x, y] + b[x, y] \quad (2.12)$$

$$r[x, y] = a[x, y] + c \quad (2.13)$$



ภาพที่ 2.15 ตัวอย่างผลลัพธ์จากการทดลองของบวนการบวกภาพ

จากภาพที่ 2.15 (ก) และ (ข) คือภาพจากกล้องตัวที่ 1 และ 2 ตามลำดับ โดยที่ภาพทั้งสองมีความต่างกันเรื่องตำแหน่งภาพ ส่วนภาพ (ค) แสดงถึงผลลัพธ์ของการบวกภาพระหว่างภาพ (ก) และ

(ข) การบวกภาพที่จุดภาพใดๆของภาพสองภาพเข้าด้วยกัน เพื่อการระบุถึงขนาด พื้นที่และตำแหน่งภาพ โดยผลลัพธ์ที่ได้คือจะแสดงถึงส่วนที่มีเป็นเป้าหมายทั้งหมดของภาพ

ตัวอย่าง

$Z = \text{imadd}(X, Y)$: คำสั่ง imadd หมายถึง เพิ่มภาพสองภาพหรือเพิ่มค่าคงที่ของภาพหรือเพิ่มองค์ประกอบใน X แต่ละอาร์เรย์ที่มีองค์ประกอบที่สอดคล้องกันในอาร์เรย์ Y

2.5.2 ความไวแสง

ค่าความไวแสงหรือค่า ISO (International Organization for Standardization) [5] คือค่ามาตรฐานสากลที่บอกรวมถึงความไวแสงของเซ็นเซอร์กล้องดิจิตอล ยิ่งมีค่าความไวแสงมาก (ISO เลขสูงๆ) ก็จะยิ่งใช้แสงน้อยเท่านั้น ค่า ISO ได้ถูกกำหนดขึ้นมาอย่างหลากหลาย ด้านเพื่อใช้เป็นมาตรฐานทั่วโลก เช่น มาตรฐานด้านความสะอาด มาตรฐานด้านความปลอดภัย เป็นต้น สำหรับการถ่ายภาพค่า ISO ได้นำมาใช้ตั้งแต่ยุคกล้องฟิล์ม ฟิล์มที่ใช้ถ่ายภาพจะมีค่าความไวแสงหรือค่า ISO ต่างกันตามชนิดของฟิล์ม เพื่อให้เราสามารถเลือกใช้ได้ตามความเหมาะสมกับงาน เมื่อเข้าสู่ยุคดิจิตอลซึ่งเปลี่ยนจากฟิล์มมาเป็นเซ็นเซอร์รับภาพ ค่า ISO จึงเป็นค่าที่ใช้บอกรุ่นของเซ็นเซอร์แต่ละตัวที่ใช้ในกล้องดิจิตอลว่ามีช่วงการรับแสงมากน้อยเพียงใด

ค่า ISO มีหน่วยความต่างเป็นส่วนเดียวกับค่ารูรับแสงและความเร็วชัตเตอร์ กล้องดิจิตอลส่วนใหญ่จะมีค่าความไวแสงอยู่ในช่วง ISO 100 ถึง 1600 สำหรับกล้องบางรุ่นจะมีช่วงการรับแสงกว้างมากกว่ากล้องทั่วไป เช่นความไวแสงต่ำ ISO 50 ส่วนกล้องสำหรับมืออาชีพที่ได้รับการออกแบบเป็นพิเศษจะมีค่า ISO สูงมากถึง 102400 และมีราคาสูง ในการปรับตั้งโดยทั่วไปจะปรับเป็นชั้นละ 1 สตอป



ภาพที่ 2.16 ความสว่างของภาพที่ตั้งค่า ISO ในระดับต่างๆ [5]

จากภาพที่ 2.16 ภาพนี้ตั้งค่ารูรับแสงไว้ที่ F 5.0 และความเร็วชัตเตอร์ที่ 1/200 วินาทีคงที่ จะเห็นว่า เมื่อ ISO สูงขึ้นภาพจะสว่างมากขึ้น แต่ก็ไม่ได้มายความสว่าง ISO ยิ่งสูงยิ่งดี แม้ว่าที่

ISO ต่ำๆ จะต้องการแสงมาก แต่ก็จะให้ภาพที่มี Noise (ที่เห็นเป็นจุดๆ) น้อยที่สุดทำให้รายละเอียดของภาพไม่เสียไป แต่ก็ต่างจากเมื่อใช้ ISO สูงขึ้น ก็จะปรากฏ Noise มากขึ้นตามลำดับ แต่ทั้งนี้ Noise ก็ขึ้นอยู่กับรุ่น ยี่ห้อของกล้องด้วย เช่นกล้อง dSLR ซึ่งมี sensor ขนาดใหญ่มากจะมี Noise น้อยมาก ถึงแม้ที่ ISO สูงๆ ก็ตาม

2.5.3 การตั้งค่า ISO สำหรับถ่ายภาพ

ปกติกล้องจะถูกตั้ง ISO เป็นอัตโนมัติ แต่ส่วนใหญ่ก็จะทำงานได้เฉพาะถ่ายกลางแจ้งเท่านั้น ดังนั้นการปรับค่า ISO ให้เหมาะสมก็มีความจำเป็นเช่นในกรณีที่ถ่ายในที่มืดแล้วไม่ต้องการใช้ไฟฟ้า โดยเมื่อปรับค่า ISO แล้วค่ารู้รับแสงและความเร็วชัตเตอร์จะเปลี่ยนไปด้วย

AUTO ISO กล้องจะเป็นตัวจัดการปรับค่า ISO ให้เองโดยอัตโนมัติ โดยจะดูจากแสงที่ตัวแบบที่จะถ่าย แต่ข้อเท็จจริงคือกล้องมักจะเก่งเวลาถ่ายกลางแจ้งเท่านั้น

ISO 50 - 80 เหมาะสำหรับถ่ายกลางแจ้งที่มีแสงจัดๆ ไม่ว่าจะเป็นถ่ายวิว ถ่ายคนให้คุณภาพที่ดีที่สุด Noise จะปรากฏให้เห็นน้อยที่สุด แต่ไม่ใช่สำหรับกล้องทุกรุ่นที่ใช้ ISO ค่านี้ได้

ISO 100 เป็นค่าที่นิยมกันมากที่สุดสำหรับถ่ายกลางแจ้ง ตามทฤษฎี คุณภาพของภาพจะดีขึ้นนิดหน่อย แต่ก็ยากจะแยกออกจาก ISO 50 - 80

ISO 200 เหมาะสำหรับถ่ายในวันที่ห้องฟ้าไม่ใส ในร่มที่ไม่มีคนนัก คุณภาพของภาพยังดี ว่าดีเต่าอาจเริ่มมี Noise ปรากฏให้เห็นบ้าง

ISO 400 และสูงกว่า มักจะใช้ถ่ายในร่มมากๆ หรือถ่ายคืนเมื่อไม่ต้องการใช้ไฟฟ้า ยิ่งสูงขึ้นปรากฏให้เห็น Noise มาก ส่วนจะมากแค่ไหนก็ขึ้นอยู่กับกล้องยี่ห้อ รุ่นนั้นๆ ด้วย

2.6 การรับรู้ระยะทาง (Distance perception)

การรับรู้ระยะทาง [6] สัมผัสรักษาภาพที่ตอบน้อมตัว ซึ่งเป็นภาพ 2 มิติ สิ่งเร้าที่มองเห็นได้จะมีลักษณะเฉพาะที่สัมผัสรักษาภาพจากผู้ที่มองเห็นภาพ เราเรียกลักษณะดังกล่าวว่า Distance cue บางลักษณะจะปรากฏเฉพาะการมองด้วยตาสองข้าง (Binocular cue) และบางปรากฏการณ์จะเกิดเฉพาะการมองด้วยตาข้างเดียว (Monocular cue) ดังนั้นการรับรู้ระยะทางจะขึ้นอยู่กับ cue ต่างๆ มากน้อย การมองด้วยตาข้างเดียวจะสามารถรับรู้ความแตกต่างของระยะทางได้เพียงเล็กน้อย ถ้าวัตถุนั้นอยู่ในระยะไม่เกิน 20 พุ่ต่างกับการใช้ตาสองข้างจะสามารถรับรู้ระยะความแตกต่างของวัตถุได้ในทุกๆ ระยะ ไม่ว่าจะเป็นระยะใกล้หรือระยะไกลสิ่งที่เกิดขึ้นจากการรับรู้ระยะได้แก่

1) Relative sign คือวัตถุที่คล้ายกันสองสิ่งสิ่งวัตถุที่ไปตอบสนองที่ว่างของรeticinaมากกว่า เราจะรู้สึกว่าวัตถุนั้นอยู่ใกล้เรา วัตถุที่มีขนาดใหญ่จะมองดูไกลกว่าวัตถุที่มีขนาดเล็ก

- 2) Overlap คือวัตถุที่ทับซ้อนวัตถุอีกอันหนึ่ง เราจะรับรู้ว่าวัตถุที่วางทับอยู่ไกด์กว่าวัตถุที่ถูกทับซ้อน
- 3) Texture gradient คือการรับรู้พื้นผิววัมมีความหนาแน่นเพิ่มขึ้นตามระเบียงที่เพิ่มขึ้น
- 4) Linear perspective คือรับรู้ว่าเส้นที่มันขนาดกันนั้นมันจะไปพบกันที่ระเบียงหนึ่ง
5. Atmospheric perspective คือการรับรู้ว่าวัตถุที่อยู่ไกลนั้น เราจะรู้สึกว่าวัตถุนั้นดูคลุมเครื่องไม่ชัดเจน

2.7 มุ่มนองทัศนียภาพ (Perspective)

ภาพแบบการเขียนทัศนียภาพแบ่งเป็น 2 แบบ คือ

2.7.1 การเขียนทัศนียภาพแบบบรรยายกาศ (Aerial perspective)

หมายถึงการสร้างภาพลวงตาของความลึกที่ถูกดูอย่างเข้าไปในภาพ โดยการถ่ายทอดสภาพของภาพบริเวณจากหลังของทิวทัศน์ รวมมีความชัดเจนน้อยกว่าบริเวณที่เป็นจากหน้าทั้งในด้านของความคมชัดของภาพร่างและสี เท่าที่ผ่านมาการเขียนทัศนียภาพแบบบรรยายกาศมักจะกระทำ โดยการเกลี่ยไล่น้ำหนักสีแก่ อ่อนที่สัมพันธ์กันกับความคมชัดที่แตกต่างกัน กลวิธีนี้กระทำกันมาแต่เดิมในการสร้างสรรค์ภาพลวงตาของมิติใกล้ ไกล

2.7.2 การเขียนทัศนียภาพแบบเส้น (Linear perspective)

หมายถึงระบบมาตรฐานของทัศนียภาพวิทยาเชิงเรขาคณิต ซึ่งมีพื้นฐานมาจากโครงสร้างบนพื้นฐานภาพ ซึ่งอาจจะมาจากการสร้างที่มีอยู่จริงหรือจินตนาการขึ้น โครงสร้างนั้นจะอยู่ในลักษณะของเส้น ซึ่งตั้งฉากกับนานัมกันบนเข้าบรรจบกันที่จุดรวมสายตาบนเส้นขอบฟ้า พื้นฐานภาพจะแบ่งความลึกของพื้นที่ตามแนวโน้มออกเป็นเขตต่างๆ

จากมุ่มนองทัศนียภาพหรือมุ่มนองโลกทัศน์จริง [7] ซึ่งแสดงตัวอย่างจากกล้องตัวเดียวดังภาพที่ 2.17

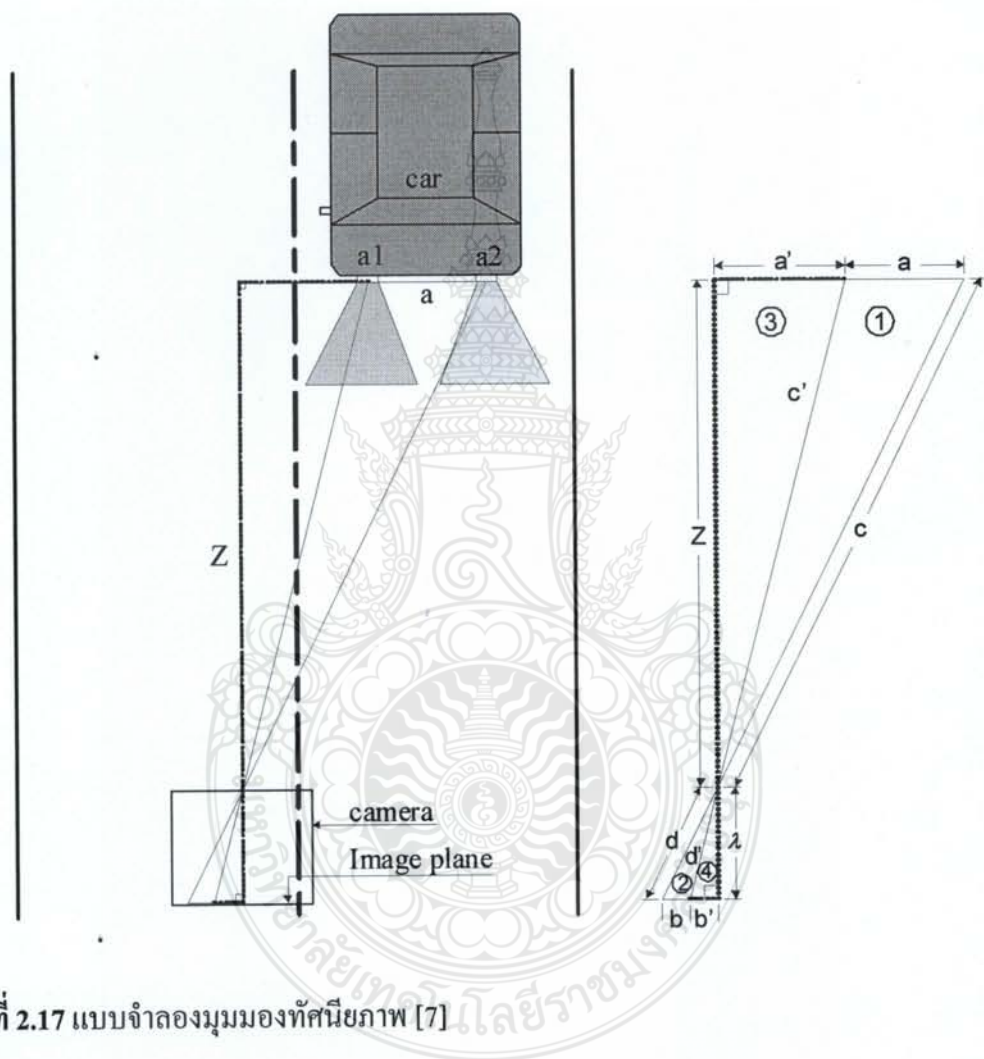
สามารถเขียนสมการได้ดังนี้

$$\frac{a}{b} = \frac{c'}{d'} \quad (2.14)$$

$$\frac{z}{\lambda} = \frac{c'}{d'} \quad (2.15)$$

$$\frac{a}{b} = \frac{z}{\lambda} \quad (2.16)$$

$$z = \frac{\lambda a}{b} \quad (2.17)$$



ภาพที่ 2.17 แบบจำลองมุมมองทัศนียภาพ [7]

เมื่อ a = ระยะหดตัวไฟจริง

a' = ระยะแหนณจากหดตัวไฟคงที่ยืนหน้ารถถึงแนวศูนย์กลางของกล้อง

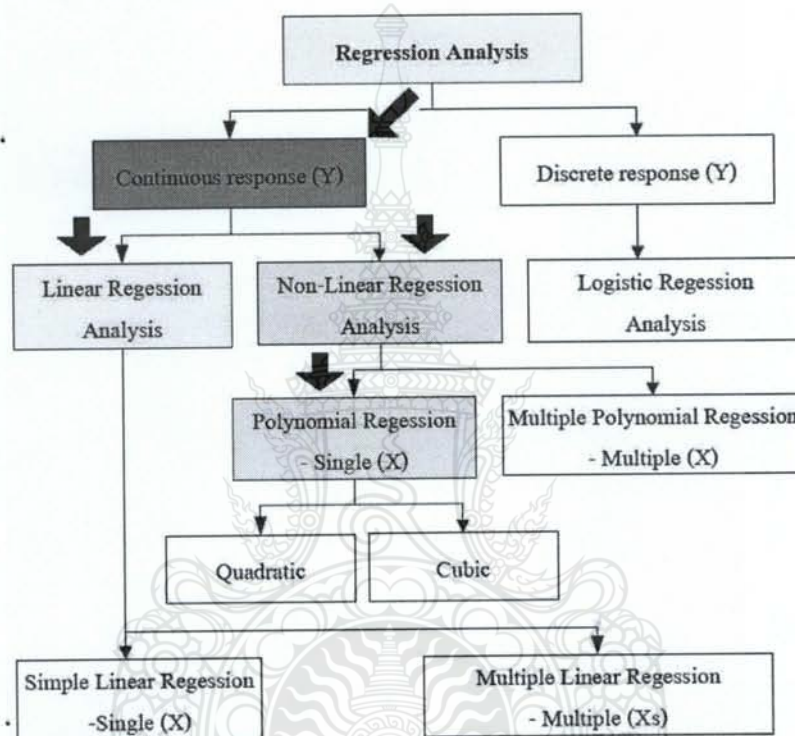
b = ระยะเส้นจริงของระยะ a ในภาพ

b' = ระยะเส้นจริงของระยะ a' ในภาพ

c = ระยะแหนณด้านขวาของสามเหลี่ยมกับ Z ขวาและ $a + a'$ ขวา

c' = ระยะแナンวนค้านขาวของสามเหลี่ยมกับ Z ขาวและ a' ขาว
 Z = ระยะจากหลอดไฟหน้ารถเป้าหมายถึงกล้อง
 λ = ระยะไฟกําลังกล้อง

2.8 วิเคราะห์การแปลผลทางสถิติและสหสัมพันธ์



ภาพที่ 2.18 การวิเคราะห์ความถดถอยแบบต่างๆ

ภาพที่ 2.18 แสดงแผนภาพการวิเคราะห์ความถดถอย ซึ่งจำแนกออกได้ 2 ชนิดคือ แบบต่อเนื่อง Continuous Response และแบบไม่ต่อเนื่อง Discrete Response

การวิเคราะห์การถดถอยหรือการแปลผลทางสถิติ (Regression Analysis and Correlation) เป็นวิธีการทางสถิติ[8] อย่างหนึ่งที่มีการนำมาประยุกต์ใช้ในการประมวลผลข้อมูลในงานวิจัย ค่อนข้างมากและใช้สร้างสมการเส้นตรงหรือเส้นโค้งที่แสดงความสัมพันธ์ระหว่างตัวแปรสองตัว หรือมากกว่า ซึ่งประกอบด้วยแปรตามหนึ่งตัว (Dependent Variable) กับตัวแปรอิสระอย่างน้อยหนึ่งตัว (Independent Variable) เช่น ค่าระยะทางของรถที่สวนทางมาขึ้นอยู่กับค่าความเปลี่ยนแปลงของตำแหน่งศูนย์กลางของดวงไฟจากกล้อง 2 ตัวที่ติดตั้งในระบบเดียวกันแต่มีระยะต่างกัน ในที่นี้ตัว

แปรอิสระ (X) คือค่าความเปลี่ยนแปลงของตำแหน่งศูนย์กลางของดวงไฟจากต้อง 2 ตัว ส่วนตัวแปรตาม (Y) คือระบบทางของรถที่สวนทางมา

ในการวิเคราะห์การถดถอย มักเรียกตัวแปรอิสระว่าตัวทำนาย (Predictor) หรือตัวแปรกระตุ้น (Stimulus Variable) ส่วนตัวแปรตามมักเรียกว่าตัวแปรตอบสนอง (Response Variable) หรือตัวประเมณฑ์ (Criterion Variable) ถ้ามีตัวพยากรณ์เพียงตัวเดียวจะเรียกการศึกษาความสัมพันธ์นี้ว่า การวิเคราะห์การถดถอยอย่างง่าย (Simple Regression Analysis)

2.8.1 การวิเคราะห์การถดถอยอย่างง่าย (Simple Regression Analysis)

คือการศึกษาความสัมพันธ์ระหว่างตัวแปรตาม (Y) 1 ตัวกับตัวแปรอิสระ (X) 1 ตัว โดยที่ในช่วงแรกจะศึกษาความสัมพันธ์ระหว่าง X กับ Y ในภาพเชิงเส้น

ดังนั้นสมการเส้นถดถอย คือ

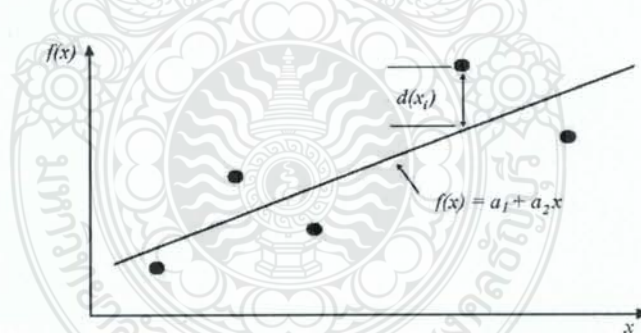
$$Y_i = \beta_0 + \beta_1 x + \varepsilon \quad (2.18)$$

เมื่อ

β_0 = ค่าคงที่หรือจุดตัดแกนตัว Y

β_1 = ความชันของเส้นตรง

ε = ความคลาดเคลื่อนอย่างสุ่ม



ภาพที่ 2.19 การถดถอยแบบ Linear Model

$$\hat{y}_i = a + bx_i \quad (2.19)$$

เมื่อ

\hat{y}_i = ค่าประมาณการของ y

a = ค่าประมาณการของ β_0

b = ค่าประมาณการของ β_1

โดยที่ $e_i = \text{ค่าความผิดพลาด (Error)}$ และ $e_i = y_i - \hat{y}_i$

ดังนั้นการประมาณสมการทดแทนที่ดีควรเป็นสมการทดแทนที่เกิดค่าความผิดพลาดน้อยที่สุด ซึ่งวิธีที่นิยมใช้คือวิธีกำลังสองน้อยที่สุด (Ordinary Least Square หรือ OLS)

โดยที่กำหนดให้ $SSE = \text{ผลรวมของค่าความผิดพลาด (Sum of Squared Error)}$ เมื่อ n คือจำนวนตัวอย่าง เมื่อจาก $\hat{y}_i = a + bx_i$ ดังนั้นการที่ค่า y กับ \hat{y} จะเกิดความแตกต่างกันน้อยที่สุดจึงขึ้นอยู่กับปัจจัย 2 อย่างคือ a กับ b

จะได้ว่า

$$SSE = \sum_{i=1}^n e_i^2$$

$$SSE = \sum_{i=1}^n (y_i - \hat{y})^2$$

$$SSE = \sum_{i=1}^n (y_i - a - bx_i)^2 \quad (2.20)$$

หาค่า a ที่ทำให้เกิดค่า SSE ต่ำสุด

$$\frac{\partial SSE}{\partial a} = -2 \sum_{i=1}^n (y_i - a - bx_i) = 0$$

$$\frac{\partial SSE}{\partial b} = -2 \left(\sum_{i=1}^n y_i - b \sum_{i=1}^n x_i \right) = 0$$

จะได้ว่า

$$\sum_{i=1}^n y_i - na - b \sum_{i=1}^n x_i = 0$$

∴

$$\sum_{i=1}^n y_i - b \sum_{i=1}^n x_i = na$$

$$a = \left[\sum_{i=1}^n y_i - b \sum_{i=1}^n x_i \right] / n$$

$$a = \bar{y} - b\bar{x} \quad (2.21)$$

หากำเนิดที่ทำให้เกิด SSE ต่ำสุด โดยแทนค่า (2.21) ใน SSE จะได้ว่า

$$\begin{aligned} SSE &= \sum_{i=1}^n \left[y_i - (\bar{y} - b\bar{x}) - bx_i \right]^2 \\ SSE &= \sum_{i=1}^n \left[(y_i - \bar{y}) - b(x_i - \bar{x}) \right]^2 \\ \frac{\partial SSE}{\partial b} &= \sum_{i=1}^n 2 \left[(y_i - \bar{y}) - b(x_i - \bar{x}) \right] \left[-(x_i - \bar{x}) \right] = 0 \\ \frac{\partial SSE}{\partial a} &= \sum_{i=1}^n -2 \left[(y_i - \bar{y}) - b(x_i - \bar{x}) \right] \left[(x_i - \bar{x}) \right] = 0 \\ \frac{\partial SSE}{\partial b} &= -2 \sum_{i=1}^n \left[(y_i - \bar{y})(x_i - \bar{x}) - b(x_i - \bar{x})^2 \right] = 0 \\ \text{จะได้ว่า } \frac{\partial SSE}{\partial b} &= \sum_{i=1}^n (x_i - \bar{x})(y_i - \bar{y}) - b \sum_{i=1}^n (x_i - \bar{x})^2 = 0 \\ b &= \frac{\sum_{i=1}^n (x_i - \bar{x})(y_i - \bar{y})}{\sum_{i=1}^n (x_i - \bar{x})^2} \end{aligned} \quad (2.22)$$

2.8.2 การถดถอยแบบไม่เป็นเชิงเส้น (Non - Linear Regression)

ปัญหาในทางปฏิบัติส่วนใหญ่คือลักษณะการกระจายของข้อมูลมักไม่อุบัติในภาพแบบของเชิงเส้น การกระจายของข้อมูลเบี่ยงเบนไปมาในลักษณะไม่เชิงเส้น (Nonlinear) ซึ่งควรใช้สมการในภาพแบบของพหุนาม จึงจะให้ผลที่เที่ยงตรงมากกว่า ซึ่งเรียกว่าการวิเคราะห์การถดถอยแบบพหุนาม (Polynomial Regression) มีลักษณะเช่นเดียวกับแบบเชิงเส้น

1) การถดถอยแบบพหุนาม (Polynomial Regression Analysis)

ก. ใช้กับปัญหาที่ความสัมพันธ์ระหว่างตัวแปรไม่เป็นเชิงเส้น

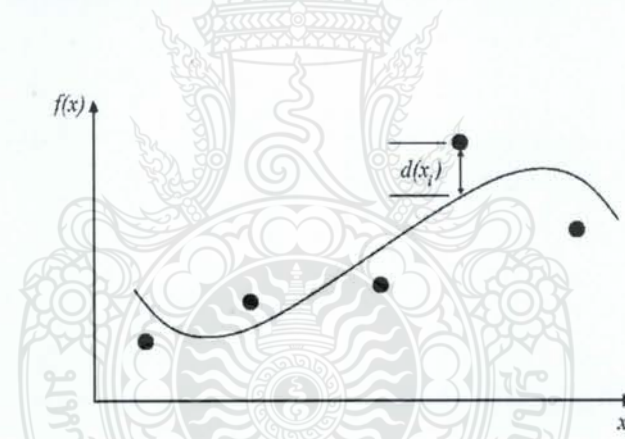
ข. ภาพแบบความสัมพันธ์

$$f(x) = a_0 + a_1 x + a_2 x^2 + \dots + a_m x^m ; \quad m = \text{order} \quad (2.23)$$

$$e = \sum_{i=1}^n d(x_i)^2 \quad (2.24)$$

เมื่อ a_0, a_1, \dots, a_n คือ ค่าพารามิเตอร์ของการถดถอย ค่าศักย์สูงสุดของโพลีโนเมียล คือ $N - 1$ (ดังนั้น $n \geq N - 1$)

ก) เป็นการวิเคราะห์การถดถอยที่ใช้กับปัญหาความสัมพันธ์ระหว่างตัวแปรที่ไม่เป็นเชิงเส้นตรงยกกำลัง 2 เมื่อทำการ scatter plot ดูแล้วจะเห็นจุดเรียงเป็นแนวโถง ซึ่งมีหลายระดับดังภาพที่ 2.20



ภาพที่ 2.20 การถดถอยแบบ Quadratic Model

2.8.3 ค่าสถิติที่ใช้ในการวิเคราะห์ความถดถอย

เนื่องจากวัตถุประสงค์ที่สำคัญของการสร้างสมการเส้นถดถอยขึ้นมา ก็เพื่อประมาณหรือพยากรณ์ตัวแปรที่ต้องการศึกษา ดังนั้นเพื่อความมั่นใจว่าสมการเส้นถดถอยที่สร้างขึ้นสามารถนำไปพยากรณ์ตัวแปรได้จริงจึงต้องมีการทดสอบโดยอาศัยค่าสถิติต่างๆ ได้แก่

1) สัมประสิทธิ์การตัดสินใจ (Coefficient of Determination : R^2)

R^2 = ค่าที่อธิบายว่าความผันแปรทั้งหมดของตัวแปรตามมีสาเหตุมาจากตัวแปรอิสระร้อยละเท่าไหร่ โดยที่ $0 \leq R^2 \leq 1$

และ $e_i = \text{ค่าความผิดพลาด}$

โดยที่ $e_i = y - \hat{y}$ (2.25)

ดังนั้น $\sum e_i^2$ คือ ผลรวมกำลังสองของค่าความผิดพลาด (Error Sum of Square: SSE) [9] หรือความแปรปรวนที่ไม่อาจอธิบายได้ (Unexplained Variation)

$$\text{SSE} = \sum e_i^2 = \sum (y_i - \hat{y})^2 = \sum (y_i - a - bx_i)^2 \quad (2.26)$$

แทนค่า $a = \bar{y} - b\bar{x}$ ในสมการ(2.25)

$$\begin{aligned} \sum e_i^2 &= \sum (y_i - \bar{y} + b\bar{x} - bx_i)^2 \\ &= \sum [(y_i - \bar{y}) - b(x - \bar{x})]^2 \\ &= \sum [(y_i - \bar{y})^2 - 2b(y_i - \bar{y})(x - \bar{x}) + b^2(x - \bar{x})^2] \\ &= \sum (y_i - \bar{y})^2 - 2b \sum (x_i - \bar{x})(y_i - \bar{y}) + b^2 \sum (x_i - \bar{x})^2 \end{aligned}$$

เนื่องจาก $b = \frac{\sum (x_i - \bar{x})(y_i - \bar{y})}{\sum (x_i - \bar{x})^2}$ (2.27)

ดังนั้น $b \sum (x_i - \bar{x})^2 = \sum (x_i - \bar{x})(y_i - \bar{y})$ (2.28)

นำสมการ (2.27) แทนใน สมการ (2.28) จะได้ว่า

$$\sum e_i^2 = \sum (y_i - \bar{y})^2 - b \sum (x_i - \bar{x})(y_i - \bar{y}) \quad (2.29)$$

จากสมการ (2.29) ถ้า $b = 0$ หมายความว่า y กับ x ไม่มีความสัมพันธ์กันเลขแสดงว่าความแปรปรวนทั้งหมดมีสาเหตุมาจากปัจจัยอื่นที่ไม่สามารถอธิบายได้

แทนค่า $b = 0$ ในสมการ (2.29) จะได้ว่า

$$\sum e_i^2 = \sum (y_i - \bar{y})^2 \quad (2.30)$$

ดังนั้น $\sum(y_i - \bar{y})^2$ คือความแปรปรวนทั้งหมดหรือ Total Sum of Squares(SST)
ในทำนองเดียวกัน ถ้าค่า $\sum e_i = 0$ หมายความว่าความแปรปรวนทั้งหมดมีสาเหตุมาจากการ
ความผันแปรที่สามารถอธิบายได้ โดยตัวแปร x

$$\text{แทนค่า} \quad \sum e_i^2 = 0 \quad \text{ในสมการ(2.27)}$$

$$\begin{aligned} \text{จะได้} \quad 0 &= \sum(y_i - \bar{y})^2 - b \sum(x_i - \bar{x})(y_i - \bar{y}) \\ \therefore \quad b \sum(x_i - \bar{x})(y_i - \bar{y}) &= \sum(y_i - \bar{y})^2 \end{aligned} \quad (2.31)$$

แสดงว่า $b \sum(x_i - \bar{x})(y_i - \bar{y})$ คือ ความผันแปรที่สามารถอธิบายได้
จากสมการ (2.26) จะได้ว่า

$$\begin{aligned} b \sum(x_i - \bar{x})(y_i - \bar{y}) &= b(b \sum(x_i - \bar{x})^2) \\ b \sum(x_i - \bar{x})(y_i - \bar{y}) &= b^2 \sum(x_i - \bar{x})^2 \\ b \sum(x_i - \bar{x})(y_i - \bar{y}) &= \sum b^2 (x_i - \bar{x})^2 \\ b \sum(x_i - \bar{x})(y_i - \bar{y}) &= \sum (bx_i - b\bar{x})^2 \\ b \sum(x_i - \bar{x})(y_i - \bar{y}) &= \sum (bx_i - b\bar{x} + \bar{y} - \bar{y})^2 \\ b \sum(x_i - \bar{x})(y_i - \bar{y}) &= \sum (bx_i + a - \bar{y})^2 \\ \therefore \quad b \sum(x_i - \bar{x})(y_i - \bar{y}) &= \sum (\hat{y} - \bar{y})^2 \end{aligned} \quad (2.32)$$

ดังนี้จึงสรุปได้ว่า $b \sum(x_i - \bar{x})(y_i - \bar{y}) = \sum(\hat{y} - \bar{y})^2$ คือความผันแปรที่สามารถ
อธิบายได้ Regression Sum of Squares (SSR)

ความผันแปรทั้งหมด = ความผันแปรที่สามารถอธิบายได้ + ความผันแปรที่ไม่สามารถ
อธิบายได้

$$SST = SSR + SSE$$

$$\sum(y_i - \bar{y})^2 = \sum(\hat{y} - \bar{y})^2 + \sum(y_i - \hat{y})^2 \quad (2.33)$$

และ $R^2 = \frac{\text{ความผันแปรที่สามารถอธิบายได้}}{\text{ความผันแปรทั้งหมด}}$

$$\begin{aligned} R^2 &= \frac{SSR}{SST} = 1 - \frac{SSE}{SST} \\ R^2 &= \frac{\sum(\hat{y} - \bar{y})^2}{\sum(y_i - \bar{y})^2} = \frac{b^2 \sum(x_i - \bar{x})^2}{\sum(y_i - \bar{y})^2} \\ \therefore R^2 &= \frac{b \sum(x_i - \bar{x})(y_i - \bar{y})}{\sum(y_i - \bar{y})^2} \end{aligned} \quad (2.34)$$

หมายเหตุ : ในทางปฏิบัติมักนิยามอัตราส่วนของ R^2 และ \bar{R}^2 ไปพร้อมๆ กัน

ถ้า $R^2 = 1$ หมายความว่าความแปรปรวนทั้งหมดมาจากการถดถอย และไม่มีความแปรปรวนที่มาจากการปัจจัยอื่นๆ เลย (ไม่มี error หรือ SSE = 0)

ถ้า $R^2 = 0$ หมายความว่าความแปรปรวนทั้งหมดมาจาก error และค่าของ y ที่เปลี่ยนแปลงไป ไม่ได้มีสาเหตุมาจากการค่า x ที่เปลี่ยนแปลงไป อาจกล่าวได้ว่าไม่มีสัมตรองถดถอยระหว่าง x กับ y

ถ้า $R^2 = 0.90$ หมายความว่า 90% ของความแปรปรวนที่เกิดขึ้นใน y มาจากการถดถอย และอีก 10% ของความแปรปรวนทั้งหมดมาจากการ error

2) สัมประสิทธิ์การถดถอยที่ปรับค่าได้ (Adjusted Coeficient of Determination : \bar{R}^2)

ในการนิยามข้อมูลที่นำมาศึกษามีจำนวนน้อยอาจทำให้ค่า R^2 ที่คำนวณได้มีค่าสูงเกินไป ดังนั้นจึงนำค่า R^2 มาปรับเสียใหม่เรียกว่าสัมประสิทธิ์การถดถอยที่ปรับค่าแล้วหรือ \bar{R}^2

$$\text{เมื่อ } k = \text{ตัวแปรอิสระ} \quad \bar{R}^2 = 1 - \frac{\sum(y - \hat{y}_i)^2 / (n - k - 1)}{\sum(y_i - \bar{y})^2 / (n - 1)}$$

$$\bar{R}^2 = 1 - \frac{SSE}{SST} \cdot \frac{(n - 1)}{(n - k - 1)}$$



สำนักงานคณะกรรมการป้องกันและต่อต้านการทุจริตแห่งชาติ

$$\begin{aligned}
 \bar{R}^2 &= 1 - \left[\frac{(1 - R^2) \cdot (n - 1)}{(n - 2)} \right] \\
 \text{ในกรณี } k = 1 \quad \bar{R}^2 &= 1 - \frac{\sum(y - \hat{y}_i)^2}{\sum(y_i - \bar{y})^2} \cdot \frac{(n - 1)}{(n - 2)} \\
 \bar{R}^2 &= 1 - \frac{SSE}{SST} \cdot \frac{(n - 1)}{(n - 2)} \\
 \text{เพราะจะนั้น} \quad \bar{R}^2 &= 1 - \left[\frac{(1 - R^2) \cdot (n - 1)}{(n - 2)} \right] \quad (2.35)
 \end{aligned}$$

2.9 ค่าความผิดพลาดมาตรฐานจากการประมาณ (Standard Error of Estimation)

$$e = \sum_{i=1}^n (y_i - f(x_i))^2 \quad (2.36)$$

จากสมการ (2.23) Linear or Polynomial Regression ฟังก์ชันสื้นตรงสำหรับชุดข้อมูลที่ประกอบด้วย $x_i, y_i, i = 1, 2, \dots, n$ นั้นคือมีจำนวน n ข้อมูล จะได้

$$SEE = \sqrt{\frac{\sum(Y - Y')^2}{N - k - 1}} \quad (2.37)$$

เมื่อ SEE = ความคลาดเคลื่อนมาตรฐานในการพยากรณ์ [9]

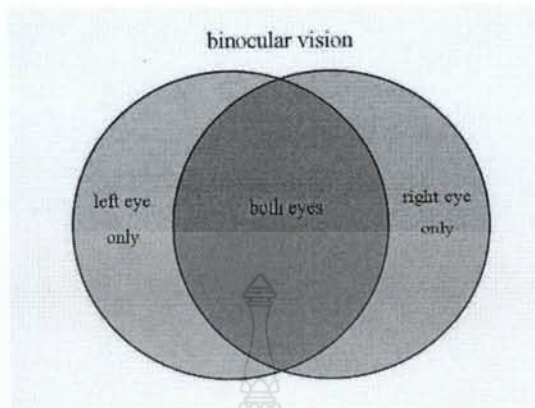
Y' = คะแนนพยากรณ์ของตัวแปรตาม

N = จำนวนสมาชิก

K = จำนวนตัวแปรอิสระหรือตัวแปรต้นในสมการทดแทน

$\sum(Y - Y')^2$ = ผลรวมกำลังสองของส่วนที่เหลือ (Sum Squares of Residuals) ซึ่งใช้ตัวบ่งว่า SSR หรือ SSres

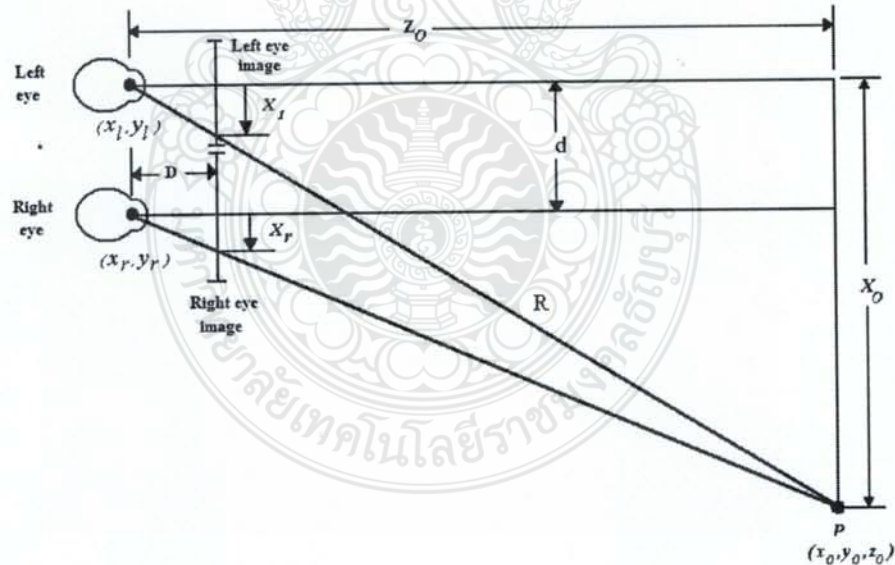
2.10 วิสัยทัศน์แบบ 2 ตา (Binocular Vision)



ภาพที่ 2.21 วิสัยทัศน์แบบ 2 ตา (Binocular Vision) [10]

2.10.1 การวัดระยะทางด้วยวิสัยทัศน์แบบ 2 ตา

การวัดระยะทางด้วยภาพวิสัยทัศน์แบบ 2 ตา คือ การคำนวณระยะของวัตถุจากภาพ 2 มิติ 2 ภาพ ซึ่งได้จากการจับภาพแบบ 2 ตา(ด้วยกล้อง 2 ตัว)ที่วางแผนกระดานตำแหน่งกัน ระยะทางที่ได้สามารถนำมาใช้ในการสร้างภาพ 3 มิติได้ตามภาพที่ 2.22



ภาพที่ 2.22 การถ่ายภาพวิสัยทัศน์แบบ 2 ตา [10]

$$DS = fd \quad (2.38)$$

โดยที่

D คือ ระยะจากตาถึงภาพ (Disparity)

S คือ ระยะห่างระหว่างตาชี้และตาขาว

f คือ ทางยาวโฟกัสของตา (Focal Length)

d คือ ระยะโฟกัส (Focal Distance)

จากสมการ (2.38) ซึ่งหมายความว่าถ้าให้ผลคูณระหว่างระยะห่างของตาหั้งสองข้างกับระยะห่างระหว่างภาพกับตามีค่าเท่ากับผลคูณระหว่างทางยาวโฟกัสของตา กับระยะโฟกัสแล้วผู้คุณรู้สึกว่าภาพเป็น 3 มิติ

จากภาพจะเห็นว่ามีการใช้กล้อง 2 ตัวในการจับภาพของวัตถุด้วยวิธีเลียนแบบการมองของมนุษย์ โดยกล้องตัวบนแทนการมองภาพด้วยตาข้างซ้าย และกล้องตัวล่างแทนการมองภาพด้วยตาขวา จากภาพที่ 2.21 สมมุติว่าจุด P อยู่ที่ตำแหน่ง (x_0, y_0, z_0) เมื่อถ่ายภาพ จุด P จะไปปรากฏบนจักรับภาพของกล้องหั้งสองในตำแหน่งที่ต่างกัน ถ้าให้ตำแหน่งที่จุดปรากฏบนจักรับภาพของกล้องข้างซ้ายคือ (x_1, y_1) และของกล้องขวาคือ (x_r, y_r) เราสามารถคำนวณตำแหน่งได้ดังสมการต่อไปนี้

$$x_1 = x_0 \frac{f}{z_0}, \quad y_1 = y_0 \frac{f}{z_0} \quad (2.39)$$

$$\text{และ} \quad x_r = (x_0 + d) \frac{f}{z_0}, \quad y_r = y_0 \frac{f}{z_0} \quad (2.40)$$

จัดภาพสมการ 2.39 และ 2.40 ใหม่ จะได้

$$x_0 = x_1 \frac{z_0}{f} = x_r \frac{z_0}{f} - d \quad (2.41)$$

$$\text{จะได้} \quad z_0 = \frac{fd}{x_r - x_1} \quad (2.42)$$

Z_0 คือ สมการระยะตั้งฉาก (Normal Range) ซึ่งแสดงระยะในแนวตั้งจากจุดเริ่มต้น (Origin) ถึงจุด P อย่างไรก็ตามสิ่งที่ต้องการคือระยะทางจริง (True Range) ดังนั้นจากสมการพื้นฐาน สำหรับการหาระยะในระบบพิกัด 3 มิติที่ว่า

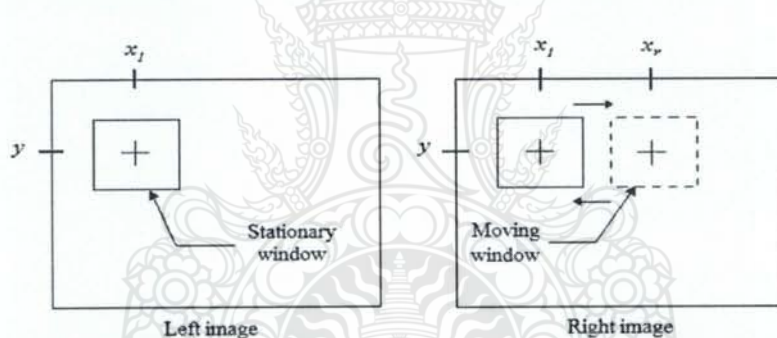
$$R = \sqrt{x_0^2 + y_0^2 + z_0^2} \quad (2.43)$$

$$x_0 = x_1 \frac{z_0}{f} , \quad y_0 = y_r \frac{z_0}{f} , \quad z_0 = \frac{fd}{x_r - x_1} \quad (2.44)$$

แทนค่าสมการ (2.44) ลงในสมการ (2.43) จะได้

$$R = \frac{d \sqrt{x_1^2 + y_1^2 + f^2}}{(x_r - x_1)} \quad (2.45)$$

สมการ (2.45) เป็นสมการระยะทางจริง (True Range Equation) ระหว่างจุด P กับจุดเริ่มต้นของกล้อง ซึ่งอยู่ที่จุดศูนย์กลางเลนส์ของกล้องช้าย ดังนั้นถ้าเราทราบพิกัดของจุดที่ปรากฏบนจาระภาพ (x_1, y_1) และ (x_r, y_r) เราจะสามารถคำนวณหาได้ว่าระยะของจุดนี้เป็นเท่าไร อย่างไรก็ตาม ข้อตอนที่ยากที่สุดคือการหาตำแหน่งของวัตถุที่ตรงกันในภาพทั้งสองวิธีหนึ่งที่ใช้สำหรับหาจุดบนวัตถุที่ตรงกันบนภาพทั้งสองคือเทคนิคสเตอโรไอมต์ชิ่ง (Stereo Matching) ดังแสดงในภาพที่ 2.23



ภาพที่ 2.23 สเตอโรไอมต์ชิ่ง [10]

เราจะกำหนดหน้าต่างที่ใช้ในการคืนหาขึ้น ซึ่งมีขนาดที่ແเน้นอนและบีดตำแหน่งไว้บนภาพช้าๆ จากนั้นใช้หน้าต่างขนาดเดียวกันเลื่อนไปบนภาพขวา ผลการรวมกันระหว่างภาพในหน้าต่างบนภาพด้านซ้ายกับภาพในหน้าต่างบนภาพด้านขวาจะเป็นตัวบ่งบอกถึงความเหมือนกันบนภาพทั้งสองตำแหน่ง หน้าต่างที่ให้ค่าอนโวลูชันสูงสุดจะเป็นตำแหน่งที่แทนภาพของวัตถุส่วนเดียวกัน หากพิจารณาสมการต่างๆ ที่ใช้ในการคำนวณระยะทางจะพบว่าการวัดระยะวัตถุที่อยู่ไกลๆ จะไม่แน่ชัวร์กับในการวัดระยะวัตถุที่อยู่ใกล้ๆ ทั้งนี้ เนื่องจากเมื่อวัตถุอยู่ใกล้ความแตกต่างระหว่าง x_r กับ x_1 จะมีค่าไม่น่าจะ ดังนั้นการวัดตำแหน่ง x_r กับ x_1 ที่ผิดพลาดไปเพียงเล็กน้อยจะมีผลให้มีความผิดพลาดในการคำนวณระยะได้มาก

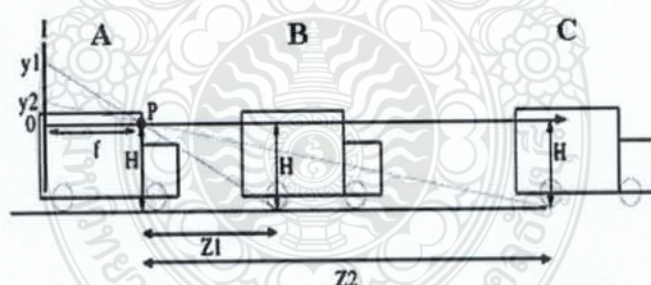
2.11 งานวิจัยที่เกี่ยวข้อง

2.11.1 งานวิจัยของ Seiichi Nagumo, Hiroshi Hasegawa และ Noriyoshi Okamoto

เรื่อง “ Extraction of forward vehicles by front - mounted camera using brightness information ” ปี ค.ศ. 2003 [11] งานวิจัยกล่าวถึงการตรวจสอบรถคันหน้าในเวลากลางวัน ซึ่งจะตรวจสอบพื้นที่ด้านกว้างของรถได้ง่ายและเวลากลางคืนจะอาศัยสีของแสงไฟรถมาช่วยในการเปรียบเทียบข้อมูลและข้อเดีย เพื่อที่จะหลีกเลี่ยงความผิดพลาด

2.11.2 งานวิจัยของ Itay Gat, Meny Benady และ Amnon Shashua

เรื่อง “ A monocular vision advance warning system for the automotive aftermarket ” ปี ค.ศ. 2005 [12] งานวิจัยนี้ใช้กล้องด้านหน้ารถตรวจจับรถคันหน้า โดยใช้สภาวะแสงสว่างของไฟรถคันหน้าและความสัมพันธ์ระหว่างเฟรม รวมทั้งใช้แนวคิดจากการจับภาพข้อมูลมาตรวจสอบภาพพื้นหลังและภาพรถ การเปลี่ยนแปลงของแสงไฟ งานวิจัยเกี่ยวข้องกับระบบการเตือน โดยคำนึงถึงวิสัยทัศน์ภายนอกตัวรถ ซ่องทางวิ่งของรถ ตรวจสอบระยะของรถคันหน้า ความแออัดของรถที่อยู่บนถนน และใช้หลักการ วิธีคำนวนระยะด้วยเรขาคณิต เพื่อหาอนุที่เปลี่ยนแปลงของกล้องและล้อรถ ดังภาพที่ 2.24 ทำให้รู้ระยะที่อยู่ด้านหน้า เพื่อความแม่นยำได้ทดสอบจากจำนวนของ yanpanah ที่มากขึ้นที่ระบบทางต่างๆ



ภาพที่ 2.24 แนวคิดเรขาคณิตการถ่ายภาพรถที่อยู่ด้านหน้า [12]

2.11.3 งานวิจัยของ Praphan Suansomjit

เรื่อง “ Night-Time recognition for car-driving support system ” ปี ค.ศ. 2007 [13] งานวิจัยนี้ทำการตรวจสอบรู้จำตำแหน่งความสว่างของหลอดไฟในภาพที่เฟรมต่างๆ ผลลัพท์ที่ได้จากการทดลองอ้างอิงจากระยะหลอดไฟที่กำหนดในข้อมูลเฉพาะ(Specify) ของรถที่ใช้ทดสอบเท่านั้นและจะใช้วิธีสแกนภาพในภาพแรกทั้งเฟรมก่อน เพื่อหาตำแหน่งดวงไฟ หลังจากนั้นจะติดตามและรู้จำ

ตำแหน่งในเฟรมอื่นๆ จากร่างที่ 2.1 จะเห็นว่าในเฟรมแรกจะใช้เวลาในการประมวลผลภาพค่อนข้างสูง (ประมาณ 2 นาที) ส่วนเฟรมอื่นๆ จะใช้เวลาในการประมวลผลภาพลดลงเพียง 0.047 นาทีดังนี้

ตารางที่ 2.1 ผลลัพธ์จากการประมวลผลของเฟรมแรกในระยะต่างๆ [13]

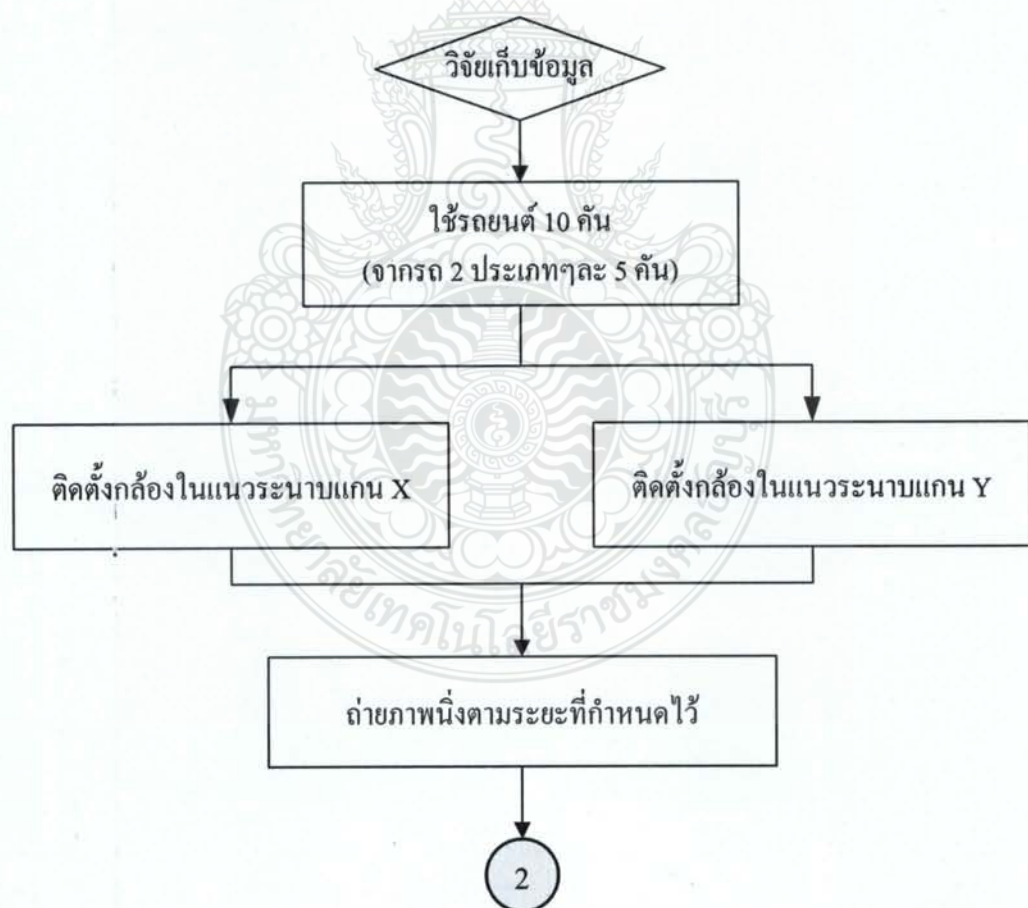
ระยะทางที่รถสวน	จำนวนเฟรมภาพ	เวลาที่ใช้ในการประมวลผล (ms)				
		Car 1	Car 2	Car 3	Car 4	Car 5
1	40	2050	2062	1967	2113	2097
2	40	0.47	0.47	0.45	0.49	0.48
5	40	0.47	0.47	0.45	0.49	0.48
10	40	0.47	0.47	0.45	0.49	0.48
20	40	0.47	0.47	0.45	0.49	0.48
50	40	0.47	0.84	0.8	0.86	0.86
100	40	0.84	0.84	0.8	0.86	0.86
200	40	0.84	1.32	1.25	1.35	1.34
300	40	1.31	1.32	1.25	1.35	1.34
400	40	1.88	1.9	1.81	1.94	1.93
500	40	1.88	2.58	2.46	2.65	2.62

บทที่ 3

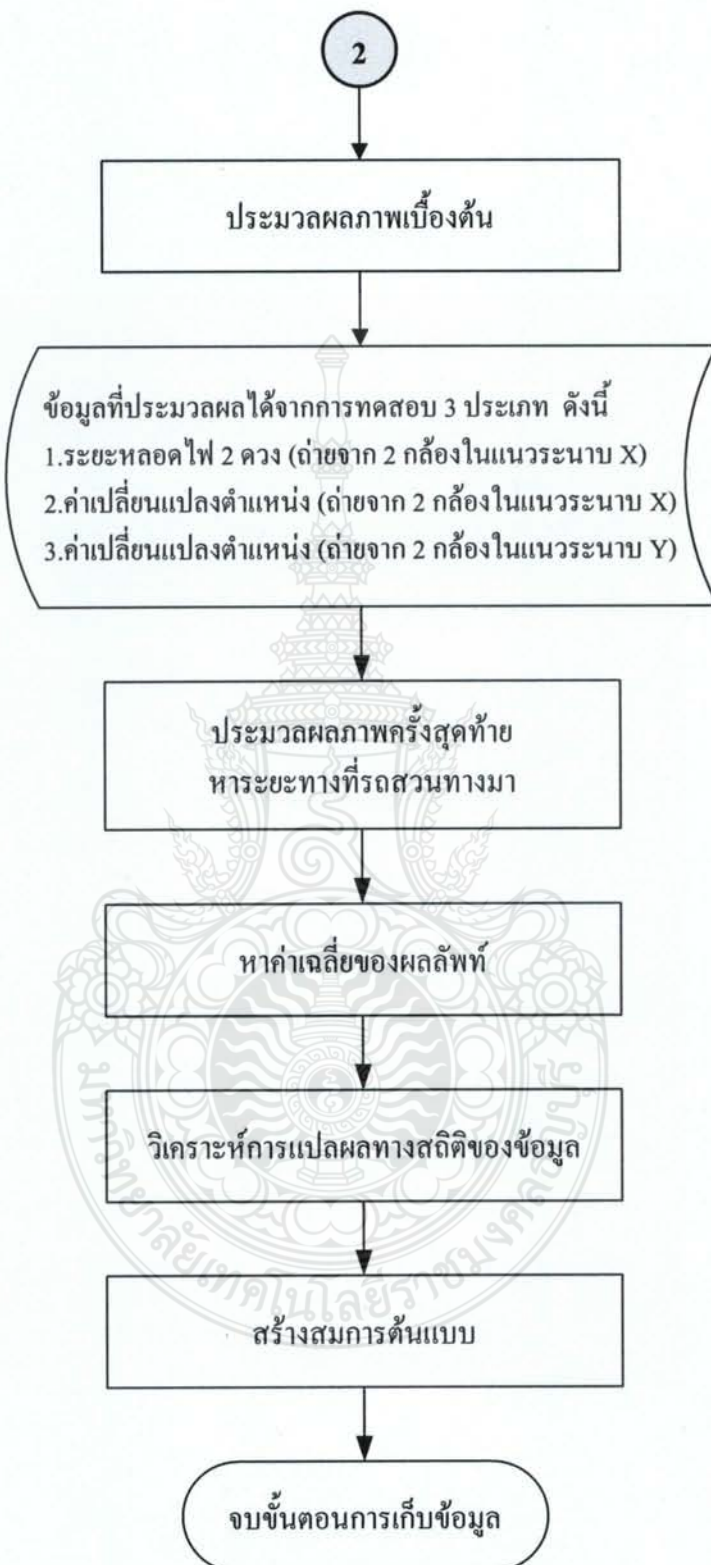
วิธีการดำเนินการวิจัย

ในการทดลองวิจัยนี้จะทำการวัดและคำนวณระยะของรถที่สวนทางมาหรือระยะ Z ในระบบ X โดยพิจารณาจากระยะห่างของหลอดไฟ 2 ดวงหน้ารถหรือระยะ a ในระบบ X และคำนวณหาระยะ Z ในระบบ X Y โดยพิจารณาจากระยะห่างกล้อง 2 ตัวทั้งในระบบแกน X และ Y ตามลำดับ มีขั้นตอนการศึกษา แบ่งเป็น ไฉไลดังนี้

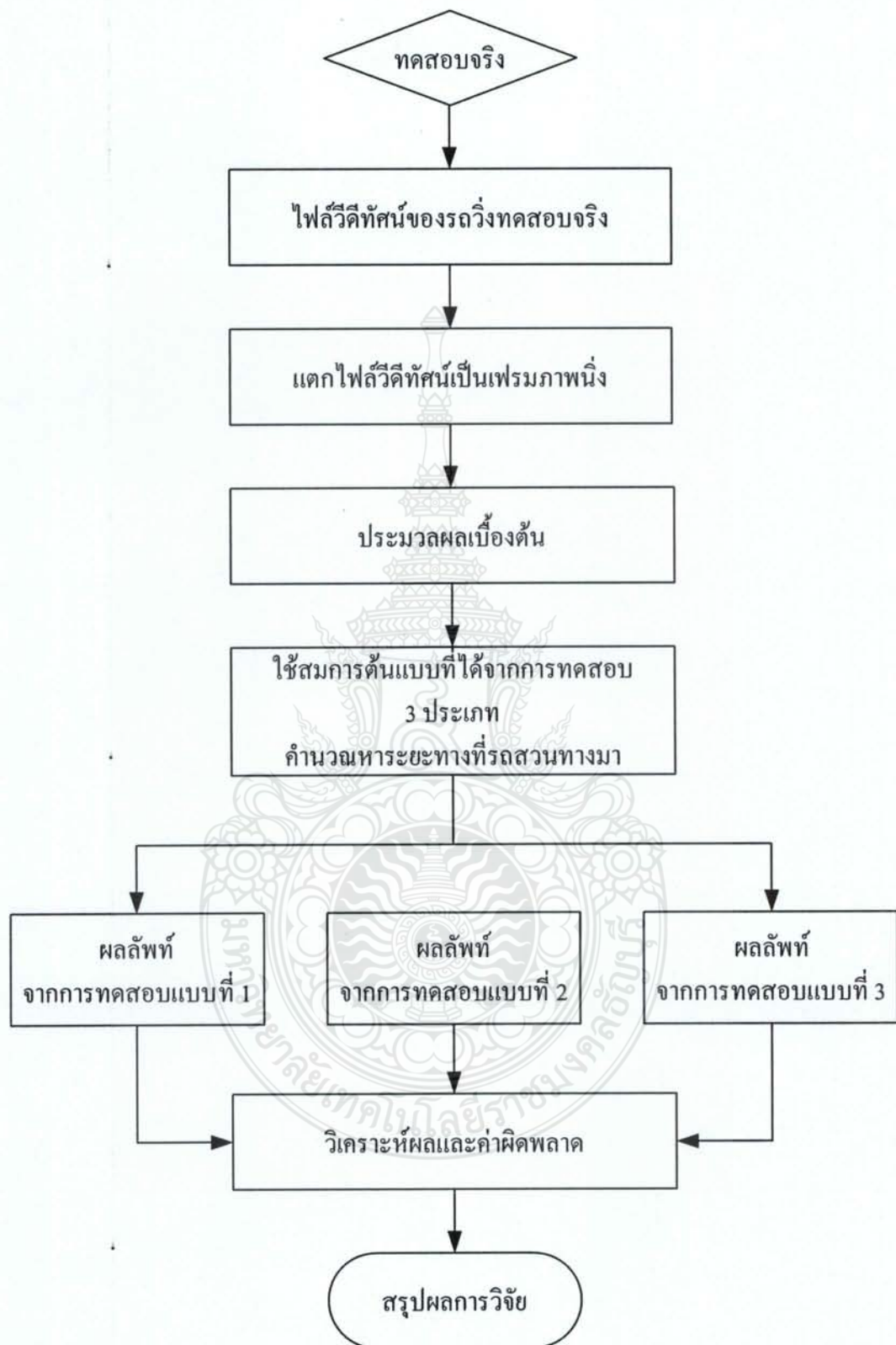
3.1 การดำเนินการวิจัยขั้นต้น



ภาพที่ 3.1 แผนภาพการดำเนินการวิจัยเก็บข้อมูล



ภาพที่ 3.1 แผนภาพการดำเนินการวิจัยเก็บข้อมูล (ต่อ)



ภาพที่ 3.2 แผนภาพการดำเนินการทดสอบสมการต้นแบบ

3.1.1 อธิบายแผนภาพการดำเนินการ

ขั้นตอนแรกจะนำรถที่เตรียมไว้มามาถ่ายเก็บข้อมูลภาพนิ่งในระยะที่กำหนด (ในเวลากลางคืน) การบันทึกภาพ โดยใช้รถสำหรับวิจัยที่เตรียมไว้จำนวน 10 คันประกอบด้วยรถบรรทุก 5 คัน และรถนั่งส่วนบุคคล 5 คันถ่ายภาพตามระยะที่วัดจริง ซึ่งได้กำหนดไว้ทุกๆ 30 เมตร ดังภาพที่ 3.3

ระยะ(เมตร)	ภาพรถยนต์ถ่ายในเวลากลางวัน	ภาพรถยนต์ถ่ายในเวลากลางคืน
240		
210		
180		
150		

ภาพที่ 3.3 ภาพถ่ายในระยะต่างๆ ตามจุดทดสอบที่กำหนดไว้

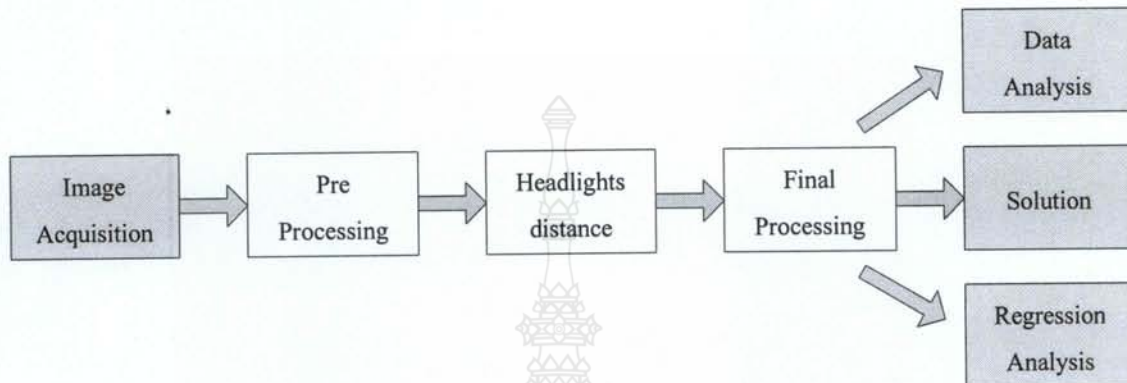
ระยะ(เมตร)	ภาพถ่ายต์ถ่ายในเวลากลางวัน	ภาพถ่ายต์ถ่ายในเวลากลางคืน
120		
90		
60		
30		

ภาพที่ 3.3 ภาพถ่ายในระยะต่างๆ ตามจุดทดสอบที่กำหนดไว้(ต่อ)

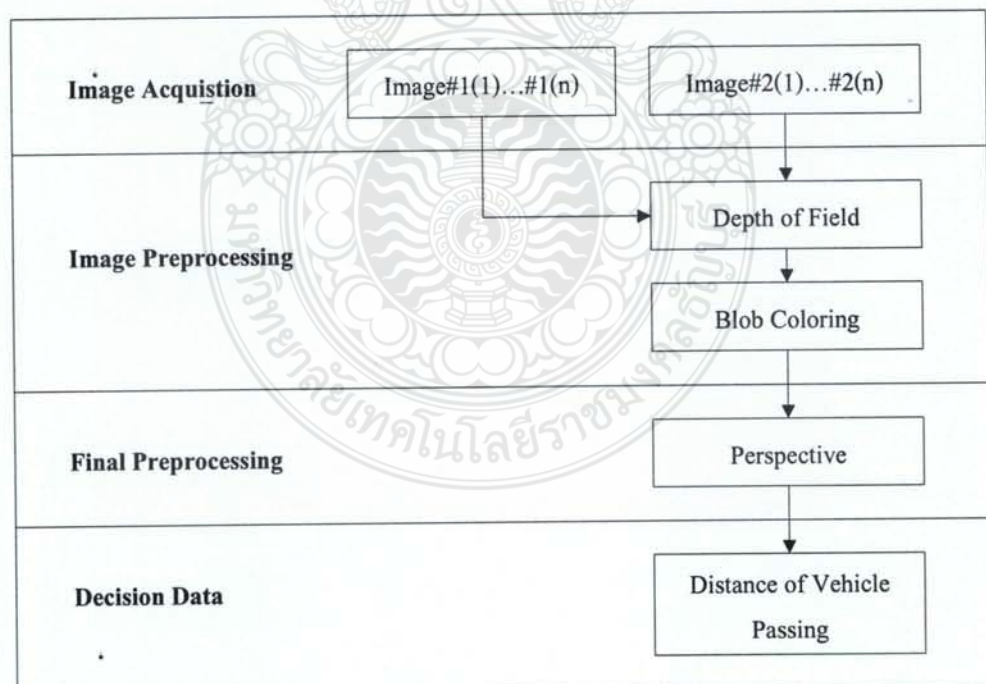
ในการเก็บภาพไฟหน้ารถ เพื่อใช้ในการประมวลผลภาพนี้ ผู้วิจัยทำการทดสอบ เก็บข้อมูล จากถนนทางเข้าหมู่บ้านอี้ออาทรกลอง 7 เทศบาลธัญบุรี เนื่องจากยังไม่มีผู้อยู่อาศัยและไม่มีรถวิ่ง พลุกพล่าน ซึ่งจะลดผลกระทบต่อภาพที่บันทึก ผลลัพธ์ที่ได้ของ การคำนวณและลดอุปสรรคในการ ทำการวิจัย ภาพที่บันทึกจะให้ความชัดเจนและรายละเอียดในภาพที่เหมาะสมเพียงพอในการนำไป

คำนวณ เมื่อทำการบันทึกภาพไฟหน้ารถเรียบร้อยแล้ว ต่อมาก็ทำการแยกข้อมูลภาพของรถทั้ง 2 ประเภทในระบบต่างๆ ก่อนนำไปทำการประมวลผลภาพ เก็บข้อมูลวิจัยและวิเคราะห์ผลต่อไป

3.1.2 ระบบและการประมวลผล



ภาพที่ 3.4 โครงสร้างพื้นฐาน

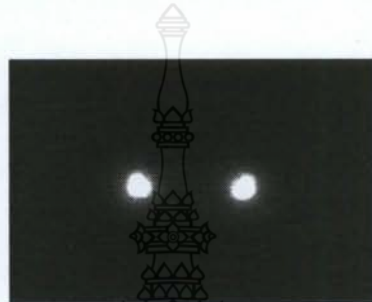


ภาพที่ 3.5 แผนภาพการทำงานของระบบ

1) ภาพอินพุท (Image Acquisition)

การทดลองเก็บข้อมูลภาพแบบนิ่งจากสถานที่จริงติดตั้งกล้อง 2 ตัวตามแบบต่างๆในการทำวิจัย ใช้ไฟล์เตอร์ตัดแสงติดหน้ากล้องทั้ง 2 ตัวและโดยใช้รัฐยนต์ทดสอบจำนวน 10 คัน

ขั้นตอนนี้เป็นขั้นตอนแรกของกระบวนการคือทำการอ่านไฟล์ภาพพกพาชนิด JPEG เข้าสู่โปรแกรม ภาพถ่ายที่นำมาใช้เป็นภาพในระบบสี RGB 24 Bit มีค่าความละเอียดที่ 720×576 พิกเซล ภาพถ่ายไฟหน้ารถที่นำมาแสดงในภาพที่ 3.6



ภาพที่ 3.6 ภาพไฟหน้ารถที่นำมาใช้ในการประมวลผล

2) ประมวลผลภาพเบื้องต้น (Image Preprocessing)

ก. แปลงภาพสีให้เป็นภาพขาวดำระดับเทา

เมื่อทำการอ่านภาพและเก็บบันทึกข้อมูลของค่าระดับความเข้มสีเทาหรือ Gray Scale ของภาพไว้ทั้งหมดแล้ว ขั้นตอนต่อไปคือการคำนวณค่า Threshold เพื่อที่จะทำการแปลงภาพอินพุตสีเทาให้เป็นภาพขาวและคำแบบสีเทาอีกรังหนึ่ง โดยค่า Threshold (T) สามารถทำการคำนวณได้โดยสมการที่ 3.1

$$T = \bar{F} - \sigma - C \quad (3.1)$$

โดยที่ \bar{F} คือค่าเฉลี่ยของความเข้มจากทุกๆ พิกเซลของทุกตำแหน่งของ $F(x,y)$ ในภาพซึ่งนิยามโดย

$$\bar{F} = \frac{1}{M \cdot N} \sum_{x=1}^M \sum_{y=1}^N F(x,y) \quad (3.2)$$

สำหรับ σ คือส่วนเบี่ยงเบนมาตรฐาน (Standard Deviation) ของค่าความเข้มทุกพิกเซลซึ่งคำนวณจาก

$$\sigma = \sqrt{\frac{1}{M \cdot N} \sum_{x=1}^M \sum_{y=1}^N (F(x,y) - \bar{F})^2} \quad (3.3)$$

สำหรับ C คือค่าคงที่ของความเข้มสี ซึ่งค่าที่ใช้ในการคำนวณคือ 5–10 จากสมการที่ 3.1 – 3.3 เป็นการคำนวณค่า Threshold จากภาพอินพุต (F) ทำให้ได้ค่า Threshold ขึ้นตอนต่อไปคือ การนำค่า Threshold ที่ได้ไปทำการแปลงภาพให้เป็นภาพขาวดำ โดยใช้ค่า Threshold เป็นจุดที่ทำการตัดภาพ ในสมการที่ 3.4

$$F(x,y) = \begin{cases} 0 & \text{if } F(x,y) \leq T \\ 255 & \text{if } F(x,y) \geq T \end{cases} \quad (3.4)$$

สำหรับค่า Threshold ที่นำมาใช้งานนี้ จากการทดลองจะทำให้สามารถหาค่า Threshold ที่เหมาะสมที่สุด ซึ่งผู้ใช้ได้ทดลองปรับค่า Threshold ในย่านต่างๆ การกำหนดค่า Threshold จะทำให้ได้ภาพดวงไฟที่เหมาะสม สำหรับการประมวลผลไม่ผิดพลาดและส่วนของพื้นหลังมีความสมบูรณ์ที่สุด สำหรับการกำหนดค่า Threshold เป็นค่าอื่นๆ จะทำให้ส่วนของดวงไฟและบริเวณพื้นหลังผิดเพี้ยนไป ซึ่งจะส่งผลต่อค่าเฉลี่ยสีที่ประมวลผล เช่นกันภาพสีเทาแสดงดังภาพที่ 3.7



ภาพที่ 3.7 ภาพไฟหน้ารถที่ทำการปรับให้อยู่ในภาพแบบสีเทา

ข. แปลงภาพระดับเทาสีขาวดำเป็นภาพแบบไบนารี

$$F(x,y) = \begin{cases} 0 & \text{if } F(x,y) = 0 \\ 1 & \text{if } F(x,y) = 255 \end{cases} \quad (3.5)$$

จากสมการที่ 3.5 จะได้ผลการแปลงภาพคือภาพ $F(x,y)$ จะถูกแปลงเป็นภาพ $F(x,y)$ ใหม่ ซึ่งเป็นภาพขาวดำ (BW) แบบสีเทาและจากจุดนี้จะนำภาพไปเข้าสู่กระบวนการแปลงให้เป็นภาพขาว

คำแนะนำรีด้วยสมการที่ 3.5 แสดงภาพถ่ายที่ทำการปรับให้เป็นสีขาวดำในภาพแบบใบหนารีได้ดังภาพที่ 3.8



ภาพที่ 3.8 ภาพขาวดำแบบใบหนารี

3) หาระยะชัดของภาพ

เราสามารถคำนวณหา Depth of Field (DOF) ได้จากการที่ 3.6 คือ

$$r(x,y) = a(x,y) + b(x,y) \quad (3.6)$$

ใช้ภาพใบหนารีที่ได้ไปประมวลผล ด้วยขั้นตอนการทางซอฟต์แวร์ เพื่อคำนวณหาระยะชัดของภาพ (DOF Image) แสดงดังภาพที่ 3.9

ระยะ(เมตร)	กล้องตัวที่1	กล้องตัวที่2	ภาพ Depth of Field
240			
210			
180			

ภาพที่ 3.9 ภาพที่ได้จากการหา Depth of Field

ระยะ(เมตร)	กล้องตัวที่1	กล้องตัวที่2	ภาพ Depth of Field
150			
120			
90			
60			
30			

ภาพที่ 3.9 ภาพที่ได้จากการหา Depth of Field (ต่อ)

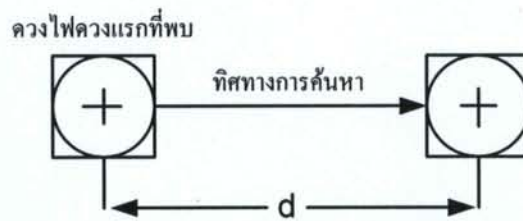
4) หาระยะห่างของดวงไฟ (Headlight Distance)

นำภาพ DOF ที่ได้มาประมวลผลโดยขั้นตอนการ Blob Coloring คำนวณหา Centroid โดยใช้สมการ 3.7 และหาระยะห่างของไฟ 2 ดวงหน้ารถด้วยใช้สมการที่ 3.9

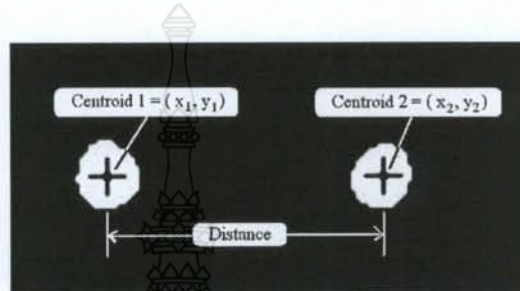
$$S = \text{Regionprop}(Ybw, "Area", "Centroid") \quad (3.7)$$

$$\text{Distance} = \sqrt{(x_1 - x_2)^2 + (y_1 - y_2)^2} \quad (3.8)$$

$$\text{Distance} = \sqrt{(\text{Centroid_}x_1 - \text{Centroid_}x_2)^2 + (\text{Centroid_}y_1 - \text{Centroid_}y_2)^2} \quad (3.9)$$



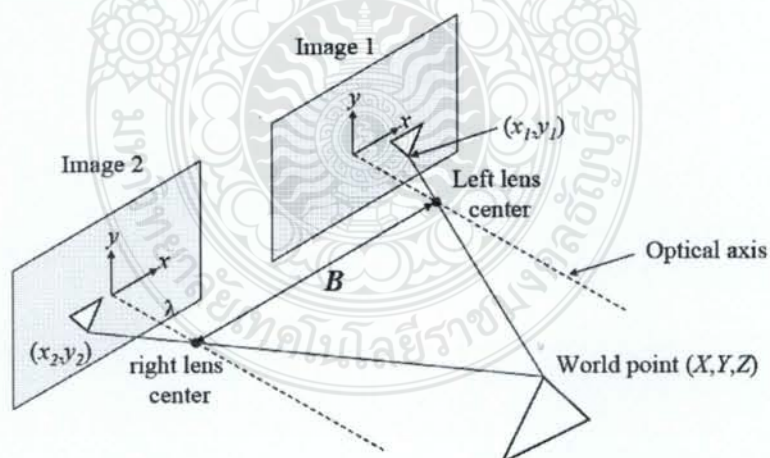
ภาพที่ 3.10 ทิศทางการค้นหาตำแหน่งศูนย์กลางของดวงไฟ



ภาพที่ 3.11 ตำแหน่งศูนย์กลางของดวงไฟ

5) การประมวลผลภาพขั้นสุดท้าย (Final Processing)

นำผลลัพธ์ที่ได้จากข้อ 4 ไปคำนวณระยะทางของรถที่เคลื่อนที่เข้ามาใกล้ด้วยมุมมองทัศนียภาพ (Perspective) ดังภาพที่ 3.12



ภาพที่ 3.12 แบบจำลองมุมมองทัศนียภาพ [5]

6) ข้อมูลเอาท์พุท (Decision data)

ข้อมูลที่ได้จากการบวนการประมวลผลหรือระยะห่างของรถที่สวนทางมา

3.1.3 การหาระยะทางของรถฟิ่งตรงข้าม

1) ใช้ข้อมูลเฉพาะของระยะไฟหน้ารถในการคำนวณหาระยะ

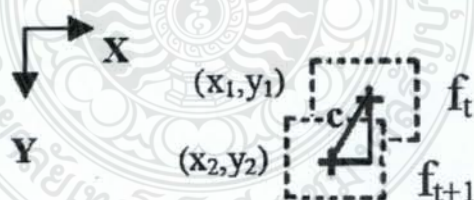
เมื่อประมวลผลได้ผลลัพธ์เป็นค่าระยะห่างของไฟ 2 ดวงมาแล้วจะนำค่าที่ได้นั้นไปคำนวณหาระยะทางของรถฟิ่งตรงข้ามด้วยสูตรมุมมองทัศนียภาพ (Perspective) โดยอาศัยข้อมูลเฉพาะ (Specify) ของรถยนต์ในตาราง 3.1

ตารางที่ 3.1 ข้อมูลเฉพาะของระยะห่างไฟหน้ารถจริงจากรถยนต์ 2 ประเภท

ประเภทที่ 1 (รถชนตันน้ำส่วนบุคคล)		ประเภทที่ 2 (รถกระบะ)	
คันที่ 1	1479	คันที่ 6	1530
คันที่ 2	1455	คันที่ 7	1550
คันที่ 3	1470	คันที่ 8	1565
คันที่ 4	1480	คันที่ 9	1570
คันที่ 5	1500	คันที่ 10	1510
ค่าเฉลี่ยที่ได้	1476	ค่าเฉลี่ยที่ได้	1545

2) อ้างอิงระยะของกล้อง 2 ตัวที่ติดตั้งในแนวแกน X

จะนำค่าเปลี่ยนแปลงตำแหน่ง x หรือ $x_2 - x_1$ ของดวงไฟในภาพที่ได้มาอ้างอิงกับระยะของกล้อง 2 ตัวที่ติดตั้งในแนวแกน X แสดงดังภาพ 3.13



ภาพที่ 3.13 พิจารณาหาค่าระยะที่เปลี่ยนแปลงของตำแหน่ง X และ Y

3) อ้างอิงระยะของกล้อง 2 ตัวที่ติดตั้งในแนวแกน Y

จะนำค่าระยะที่เปลี่ยนแปลงตำแหน่ง y หรือ $y_2 - y_1$ ของดวงไฟในภาพที่ได้มาอ้างอิงกับระยะของกล้อง 2 ตัวที่ติดตั้งในแนวแกน y ดังภาพที่ 3.12

3.1.4 วิเคราะห์ข้อมูล

นำข้อมูลที่ได้จากข้อ 3.1.2 มาวิเคราะห์ด้วยวิธี Regression Analysis

3.1.5 หาค่าเฉลี่ยจากข้อมูลรถทั้งหมด

นำข้อมูลที่ทดสอบจากการทั้งหมดมาหาค่าเฉลี่ยของข้อมูล

3.1.6 สร้างสมการต้นแบบ

นำค่าเฉลี่ยจากข้อ 3.1.5 ไปคำนวณหาสมการต้นแบบ โดยอาศัยความสัมพันธ์หรือการแปลผลทางสถิติต่อเนื่องแบบเชิงเส้นจากสมการ 2.23 และ 2.24 ที่กล่าวมาในบทที่ 2

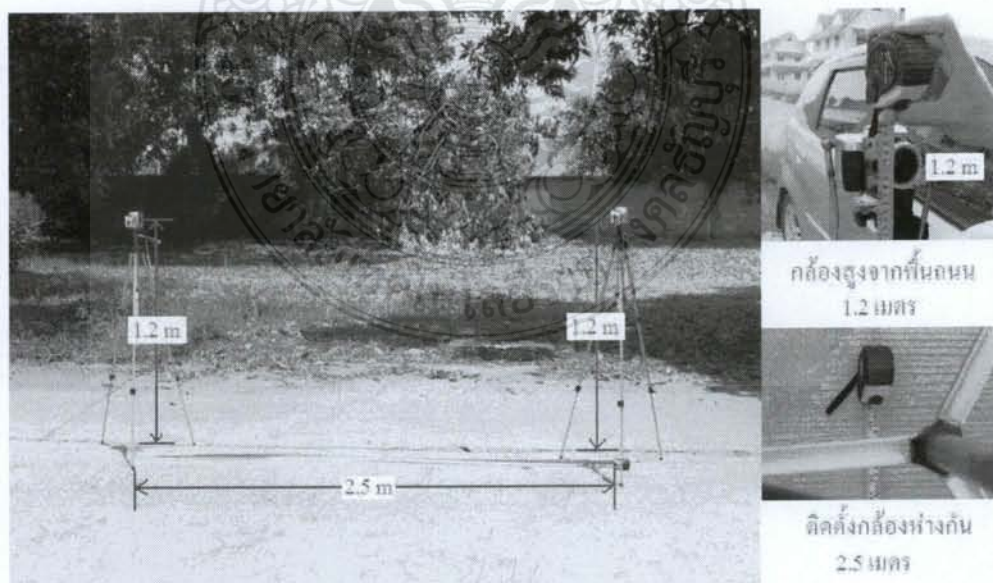
3.1.7 ทดสอบสมการต้นแบบ วิเคราะห์ค่าผิดพลาดและสรุปผลการทดลอง

จะทำการเก็บภาพวีดีทัศน์และนำมาแยกเป็นไฟล์ภาพนิ่งจากนั้นก็จะนำไปประมวลผลแล้วนำค่าที่ประมวลผลได้มามาใช้ในการทดสอบสมการต้นแบบและหาค่าผิดพลาดเบรียบกับระยะที่วัดได้จริง

3.2 รูปแบบการติดตั้งกล้อง

3.2.1 ติดตั้งกล้องแนวราบแนวแกน X

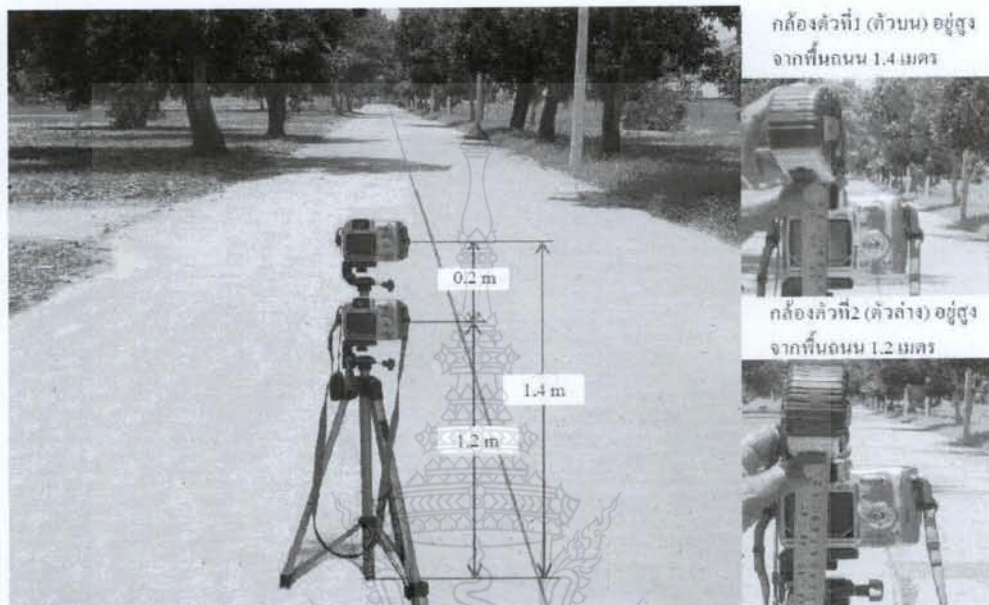
สำหรับการทดสอบในแนวราบแนวแกน X จะติดตั้งกล้องที่ความสูงจากพื้นดินเท่ากันกึ่ง 1.20 เมตร แต่จะมีระยะกึ่งตามแนวนอนต่างกัน 2.5 เมตร ดังภาพที่ 3.14



ภาพที่ 3.14 การติดตั้งกล้องในแนวราบแนวแกน X

3.2.2 ติดตั้งกล้องแนวระนาบแกน Y

สำหรับการทดสอบในแนวระนาบแกน Y จะติดตั้งกล้องที่ความสูงต่างกัน 0.20 เมตรคือ กล้องตัวที่ 1 สูงจากพื้น 1.20 เมตรกล้องตัวที่ 2 สูงจากพื้น 1.40 เมตร ดังภาพที่ 3.15



ภาพที่ 3.15 การติดตั้งกล้องในแนวระนาบแกน Y

3.3 อุปกรณ์อื่น ๆ

1) เครื่องคอมพิวเตอร์พกพา ซึ่งมีรายละเอียดดังต่อไปนี้

- หน่วยประมวลผลกลาง : INTEL CORE 2 DUO V3500 2.4 GHz
- หน่วยความจำหลัก : 4 GHz
- หน่วยบันทึกข้อมูลแบบงานแข็ง : 320 GB

2) โปรแกรม MATLAB 2007b บนระบบปฏิบัติการ Microsoft Windows XP

3) กล้องดิจิตอล KODAK Easy Share รุ่น Z710 ความละเอียด 7.1 ล้านพิกเซล (สำหรับในการวิจัยนี้ใช้ค่าความละเอียด 1 ล้านพิกเซล)

4) กล้องดิจิตอล SANYO รุ่น VPC-HD2000 ระดับ FULL HD ความละเอียด 8.10 ล้านพิกเซล C-MOS SENSER

หมายเหตุ เนื่องจากงานวิจัยนี้ต้องการเปรียบเทียบผลลัพธ์ของภาพอินพุทที่จะนำไปใช้ในการประมวลผล จึงใช้กล้อง 2 ชนิดที่มีความละเอียดแตกต่างกันในการทดสอบ

บทที่ 4

ผลการวิจัย

งานวิจัยนี้ได้ทำการทดลองนำภาพถ่ายของไฟหน้ารถในเวลากลางคืนในระบบที่กำหนดไว้ตั้งแต่ 30 เมตรถึง 240 เมตรบันทึกภาพจากกล้อง 2 ตัว ซึ่งติดตั้งในแนวระนาบแกน X และ Y มาผ่านกระบวนการประมวลผลเบื้องต้นคือทำการแปลงภาพให้อยู่ในภาพขาวดำระดับสีเทา โดยใช้การคำนวณค่า Threshold และทำให้เป็นภาพใบหน้า แล้วนำภาพมาผ่านกระบวนการหาระยะห่างของภาพอีกครั้ง เพื่อให้ได้ภาพที่คมชัดที่สุด จากนั้นจะใช้ Blob Coloring หากลุ่มสีของดวงไฟหรือสีขาวในภาพเพื่อรบุตำแหน่งของดวงไฟทุกตำแหน่ง คันหาดใหญ่สูนย์กลางดวงไฟ ระยะของดวงไฟ 2 ดวง จากนั้นจะนำตำแหน่งสูนย์กลางดวงไฟและระยะของดวงไฟ 2 ดวงที่ได้มาคำนวณหาระยะทางของรถส่วนทางมา โดยการวิจัยจะนำรถมาทดลอง 10 คันจากรถ 2 ประเภทคือรถชนิดนั่งส่วนบุคคลและรถระบบ สำหรับข้อมูลเบื้องต้นหรือค่าระยะห่างของไฟ 2 ดวงหน้ารถจริงจากข้อมูลเฉพาะ (Specify) ของรถยนต์แต่ละคันแสดงในตารางที่ 4.1 ดังนี้

ตารางที่ 4.1 ข้อมูลเฉพาะของรถที่ใช้ในการทดลอง

รถทดสอบ	ประเภท	ระยะห่างของไฟหน้า(มิลลิเมตร)
คันที่ 1	รถชนิดนั่งส่วนบุคคล	1479
คันที่ 2	รถชนิดนั่งส่วนบุคคล	1455
คันที่ 3	รถชนิดนั่งส่วนบุคคล	1470
คันที่ 4	รถชนิดนั่งส่วนบุคคล	1480
คันที่ 5	รถชนิดนั่งส่วนบุคคล	1500
คันที่ 6	รถระบบ	1530
คันที่ 7	รถระบบ	1550
คันที่ 8	รถระบบ	1565
คันที่ 9	รถระบบ	1570
คันที่ 10	รถระบบ	1510

ซึ่งผลการทดลองจะแยกออกได้ 3 แบบตามลักษณะข้อมูลที่ใช้อ้างอิงดังนี้

4.1 ผลการทดสอบที่อ้างอิงจากค่าเฉลี่ยของระยะห่างดวงไฟ 2 ดวงหน้ารัฐวิ

ในขั้นตอนนี้เป็นขั้นตอนในการนำภาพดิจิตอลมาประมวลผล ซึ่งเป็นกระบวนการในการหาระยะห่างดวงไฟส่วน 2 ดวงในระยะที่กำหนดดังแต่ระยะ 240 เมตรลงมาทุกๆ 30 เมตรและทำการหาค่าเฉลี่ยของผลลัพท์ที่ระยะนั้นๆ อ้างอิงกับระยะจริงของไฟ 2 ดวงหน้ารัฐที่แท้จริงจากข้อมูลเนพะ (Specify) ของรถใช้ในการทดสอบแต่ละคัน โดยผู้วิจัยทำการถ่ายภาพไฟหน้ารัฐด้วยภาพแบบ JPEG (Joint Photographic Expert Group)

4.1.1 ประมวลผลภาพนิ่งจากกล้อง 2 ตัวในระยะที่กำหนด

สามารถแสดงข้อมูลระยะห่างระหว่างดวงไฟส่วน 2 ดวงในภาพ (ระยะ a) และระยะของรถที่สวนทางมาหรือระยะจากรถเป้าหมายมาถึงกล้อง (ระยะ z) จากนมของโลกทัศน์ด้วยการประมวลผลภาพ ณ ตำแหน่งระยะต่างๆ ดังนี้

ตารางที่ 4.2 ผลการทดลองของรถคันที่ 1 (ระยะห่างไฟหน้ารัฐจริง 1479 มิลลิเมตร)

ระยะ z จริง ที่กำหนด (เมตร)	ระยะ a ของ กล้องตัวที่ 1 (พิกเซล)	ระยะ a ของ กล้องตัวที่ 2 (พิกเซล)	ระยะ a จำกัด Depth of field พิกเซล เมตร		ระยะ z จำกัด นมของทัศนนิติ (เมตร)
			พิกเซล	เมตร	
240	15.5191	15.8493	15.6429	0.001324	235.1272
210	17.6563	18.1458	17.9010	0.001516	205.4670
180	20.7967	21.3732	21.0850	0.001785	174.4405
150	24.1013	24.7694	24.4354	0.002069	150.5225
120	30.3107	31.1510	30.7308	0.002602	119.6867
90	41.2431	42.3864	41.8148	0.003540	87.9611
60	61.2258	62.9231	62.0744	0.005256	59.2526
30	121.7240	125.0984	123.4112	0.010449	29.8034

ตารางที่ 4.3 ผลการทดลองของรอกันที่ 2 (ระยะห่างไฟหน้ารถจริง 1455 มิลลิเมตร)

ระยะ z จริง ที่กำหนด (เมตร)	ระยะ a ของ กล้องตัวที่ 1 (พิกเซล)	ระยะ a ของ กล้องตัวที่ 2 (พิกเซล)	ระยะ a จาก Depth of field		ระยะ z จาก มุมมองทัศนวิติ (เมตร)
			พิกเซล	เมตร	
240	15.2673	15.5921	15.4297	0.001306	238.3762
210	17.3698	17.8513	17.6105	0.001491	208.8562
180	20.4592	21.0264	20.7428	0.001756	177.3179
150	24.3524	24.3675	24.3599	0.002062	150.9886
120	29.8188	30.6455	30.2322	0.002560	121.6609
90	40.5738	41.6986	41.1362	0.003483	89.4120
60	60.2323	61.9020	61.0671	0.005170	60.2300
30	119.7488	123.0684	121.4086	0.010279	30.2950

ตารางที่ 4.4 ผลการทดลองของรอกันที่ 3 (ระยะห่างไฟหน้ารถจริง 1470 มิลลิเมตร)

ระยะ z จริง ที่กำหนด (เมตร)	ระยะ a ของ กล้องตัวที่ 1 (พิกเซล)	ระยะ a ของ กล้องตัวที่ 2 (พิกเซล)	ระยะ a จาก Depth of field		ระยะ z จาก มุมมองทัศนวิติ (เมตร)
			พิกเซล	เมตร	
240	15.1744	15.4972	15.3358	0.001298	239.8357
210	17.2641	17.7427	17.5034	0.001482	210.1349
180	20.3347	20.8984	20.6166	0.001746	178.4035
150	24.2042	24.2192	24.2117	0.002050	151.9130
120	30.4401	30.4590	30.4495	0.002578	120.7924
90	40.3269	41.4449	40.8859	0.003462	89.9594
60	59.8658	61.5253	60.6955	0.005139	60.5987
30	119.0201	122.3195	120.6698	0.010217	30.4805

ตารางที่ 4.5 ผลการทดลองของรดคันที่ 4 (ระยะห่างไฟหน้ารถจริง 1480 มิลลิเมตร)

ระยะ z จริง ที่กำหนด (เมตร)	ระยะ a ของ กล้องตัวที่ 1 (พิกเซล)	ระยะ a ของ กล้องตัวที่ 2 (พิกเซล)	ระยะ a จาก Depth of field		ระยะ z จาก มุมมองทัศนวิติ (เมตร)
			พิกเซล	เมตร	
240	15.1846	15.5077	15.3462	0.001299	239.6736
210	17.2758	17.7547	17.5152	0.001483	209.9929
180	20.3485	20.9126	20.6305	0.001747	178.2830
150	24.2205	24.2356	24.2281	0.002051	151.8104
120	30.4607	30.4796	30.4701	0.002580	120.7108
90	40.3542	41.4729	40.9135	0.003464	89.8986
60	59.9062	61.5669	60.7366	0.005142	60.5578
30	119.1005	122.4022	120.7514	0.010224	30.4599

ตารางที่ 4.6 ผลการทดลองของรดคันที่ 5 (ระยะห่างไฟหน้ารถจริง 1500 มิลลิเมตร)

ระยะ z จริง ที่กำหนด (เมตร)	ระยะ a ของ กล้องตัวที่ 1 (พิกเซล)	ระยะ a ของ กล้องตัวที่ 2 (พิกเซล)	ระยะ a จาก Depth of field		ระยะ z จาก มุมมองทัศนวิติ (เมตร)
			พิกเซล	เมตร	
240	15.4002	15.7279	15.5641	0.001318	236.3182
210	17.5211	18.0068	17.7639	0.001504	207.0530
180	20.6374	21.2095	20.9235	0.001772	175.7870
150	24.5644	24.5797	24.5721	0.002080	149.6851
120	30.8932	30.9123	30.9028	0.002616	119.0208
90	40.9272	42.0617	41.4945	0.003513	88.6400
60	60.7568	62.4411	61.5990	0.005215	59.7100
30	120.7916	124.1401	122.4659	0.010369	30.0334

ตารางที่ 4.7 ผลการทดลองของรดคันที่ 6 (ระยะห่างไฟหน้ารถจริง 1530 มิลลิเมตร)

ระยะ z จริง ที่กำหนด (เมตร)	ระยะ a ของ กล้องตัวที่ 1 (พิกเซล)	ระยะ a ของ กล้องตัวที่ 2 (พิกเซล)	ระยะ a จาก Depth of field		ระยะ z จาก มุมมองทัศนวิติ (เมตร)
			พิกเซล	เมตร	
240	15.8350	15.6813	15.5781	0.001334	239.6738
210	18.0620	17.8866	17.9743	0.001522	210.1226
180	21.2500	21.0437	21.1468	0.001790	178.5993
150	25.4749	25.2276	25.3512	0.002146	148.9794
120	31.5000	31.1942	31.3471	0.002654	120.4836
90	41.9319	41.5248	41.7283	0.003533	90.5095
60	62.9751	62.3637	62.6694	0.005306	60.2656
30	123.5572	122.3576	122.9574	0.010410	30.7164

ตารางที่ 4.8 ผลการทดลองของรดคันที่ 7 (ระยะห่างไฟหน้ารถจริง 1550 มิลลิเมตร)

ระยะ z จริง ที่กำหนด (เมตร)	ระยะ a ของ กล้องตัวที่ 1 (พิกเซล)	ระยะ a ของ กล้องตัวที่ 2 (พิกเซล)	ระยะ a จาก Depth of field		ระยะ z จาก มุมมองทัศนวิติ (เมตร)
			พิกเซล	เมตร	
240	16.0420	15.8862	15.9641	0.001352	239.6738
210	18.2981	18.1205	18.2093	0.001542	210.1226
180	21.5278	21.3188	21.4233	0.001814	178.5993
150	25.8079	25.5573	25.6826	0.002174	148.9794
120	31.9118	31.6019	31.7569	0.002689	120.4836
90	39.4319	42.0676	40.7498	0.003450	93.8946
60	63.7983	63.1789	63.4886	0.005375	60.2656
30	125.1723	123.9571	124.5647	0.010546	30.7164

ตารางที่ 4.9 ผลการทดลองของรอกันที่ 8 (ระยะห่างไฟหน้ารถจริง 1565 มิลลิเมตร)

ระยะ z จริง ที่กำหนด (เมตร)	ระยะ a ของ กล้องตัวที่ 1 (พิกเซล)	ระยะ a ของ กล้องตัวที่ 2 (พิกเซล)	ระยะ a จาก Depth of field		ระยะ z จาก มุมมองทัศนวิติ (เมตร)
			พิกเซล	เมตร	
240	16.1972	16.0400	16.1186	0.001365	239.6738
210	18.4752	18.2958	18.3855	0.001557	210.1226
180	21.7361	21.5251	21.6306	0.001831	178.5993
150	26.0577	25.8047	25.9312	0.002196	148.9794
120	32.2206	31.9078	32.0642	0.002715	120.4836
90	39.8135	42.4747	41.1441	0.003484	93.8946
60	64.4157	63.7903	64.1030	0.005427	60.2656
30	126.3837	125.1566	125.7702	0.010649	30.7164

ตารางที่ 4.10 ผลการทดลองของรอกันที่ 9 (ระยะห่างไฟหน้ารถจริง 1570 มิลลิเมตร)

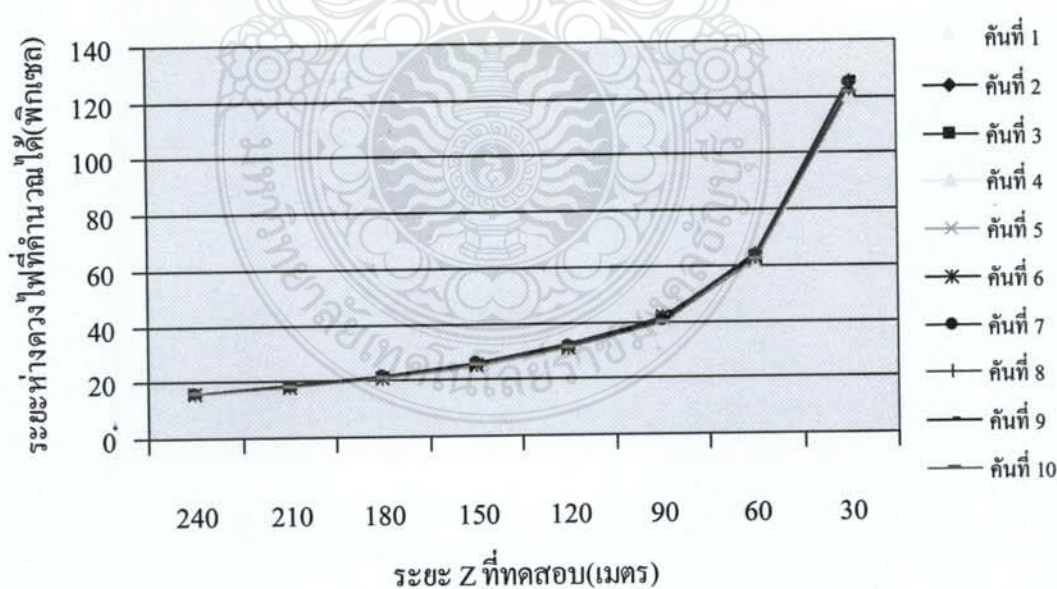
ระยะ z จริง ที่กำหนด (เมตร)	ระยะ a ของ กล้องตัวที่ 1 (พิกเซล)	ระยะ a ของ กล้องตัวที่ 2 (พิกเซล)	ระยะ a จาก Depth of field		ระยะ z จาก มุมมองทัศนวิติ (เมตร)
			พิกเซล	เมตร	
240	16.2490	16.0912	16.1701	0.001369	239.6738
210	18.5342	18.3543	18.4442	0.001562	210.1226
180	21.8056	21.5939	21.6997	0.001837	178.5993
150	26.1409	25.8871	26.0140	0.002203	148.9794
120	32.3235	32.0097	32.1666	0.002723	120.4836
90	39.9407	42.6104	41.2756	0.003495	93.8946
60	64.6215	63.9941	64.3078	0.005445	60.2656
30	126.7875	125.5565	126.1720	0.010683	30.7164

ตารางที่ 4.11 ผลการทดสอบของรัศมีที่ 10 (ระยะห่างไฟหน้ารถจริง 1510 มิลลิเมตร)

ระยะ z จริง ที่กำหนด (เมตร)	ระยะ a ของ กล้องตัวที่ 1 (พิกเซล)	ระยะ a ของ กล้องตัวที่ 2 (พิกเซล)	ระยะ a จาก Depth of field		ระยะ z จาก นูนมองทัศนวิติ (เมตร)
	พิกเซล	เมตร	พิกเซล	เมตร	
240	15.6280	15.4763	15.5521	0.001317	239.6738
210	17.8259	17.6528	17.7394	0.001502	210.1226
180	20.9722	20.7686	20.8704	0.001767	178.5993
150	25.1419	24.8978	25.0198	0.002118	148.9794
120	31.0882	30.7864	30.9373	0.002619	120.4836
90	38.4143	40.9820	39.6981	0.003361	93.8946
60	62.1519	61.5485	61.8502	0.005237	60.2656
30	121.9421	120.7582	121.3501	0.010274	30.7164

4.1.2 หาค่าเฉลี่ยของข้อมูล

(จากผลลัพธ์ที่อ้างอิงด้วยค่าเฉลี่ยของระยะห่างดวงไฟ 2 ดวงหน้ารถจริง)

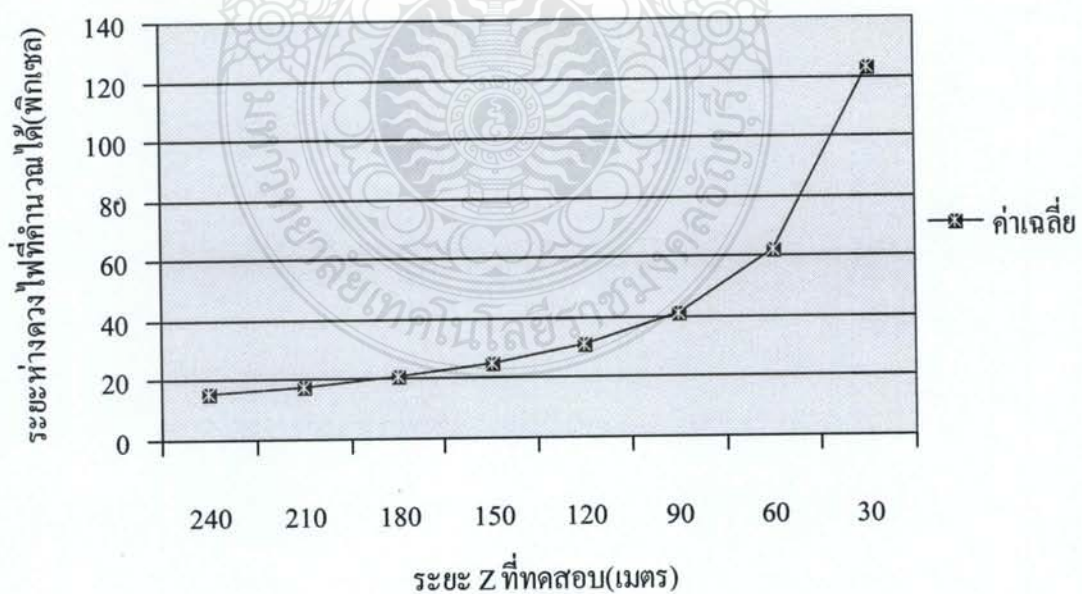


ภาพที่ 4.1 ระยะห่างของดวงไฟสว่าง 2 ดวงในภาพจากการทดสอบทั้งหมด

จากผลลัพท์ของระยะห่างระหว่างดวงไฟสว่าง 2 ดวงในภาพ (ระยะ a) จากรถที่ทดสอบทั้งหมดที่ได้ในหัวข้อ 4.1.1 แสดงในภาพที่ 4.1 ซึ่งนำมาหาค่าเฉลี่ยได้ตามตารางที่ 4.12 และภาพที่ 4.2 ดังนี้

ตารางที่ 4.12 ผลลัพท์ของการคำนวณระยะ a จากรถที่ใช้ทดสอบทั้งหมด(พิกเซล)

รถ\ ระยะ z	240เมตร	210เมตร	180เมตร	150เมตร	120เมตร	90เมตร	60เมตร	30เมตร
คันที่ 1	15.64	17.90	21.09	24.44	30.73	41.81	62.07	123.41
คันท 2	15.43	17.61	20.74	24.36	30.23	41.14	61.07	121.41
คันท 3	15.34	17.50	20.62	24.21	30.45	40.89	60.70	120.67
คันท 4	15.35	17.52	20.63	24.23	30.47	40.91	60.74	120.75
คันท 5	15.56	17.76	20.92	24.57	30.90	41.49	61.60	122.47
คันท 6	15.58	17.97	21.15	25.35	31.35	41.73	62.67	122.96
คันท 7	15.96	18.21	21.42	25.68	31.76	40.75	63.49	124.56
คันท 8	16.12	18.39	21.63	25.93	32.06	41.14	64.10	125.77
คันท 9	16.17	18.44	21.70	26.01	32.17	41.28	64.31	126.17
คันท 10	15.55	17.74	20.87	25.02	30.94	39.70	61.85	121.35
ค่าเฉลี่ย	15.67	17.90	21.08	24.98	31.11	41.08	62.26	122.95



ภาพที่ 4.2 ค่าเฉลี่ยระยะห่างของดวงไฟที่คำนวณได้ในระยะที่กำหนด

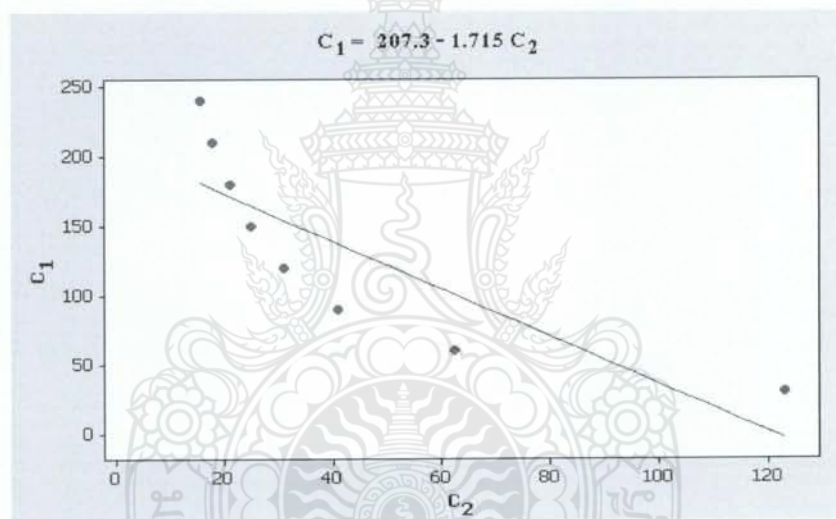
4.1.3 วิเคราะห์ผลการทดสอบจากค่าเฉลี่ยของระยะดวงไฟหน้ารถจริง

1) พิจารณาตัวแบบพยากรณ์ด้วยความอดออยแบบเชิงเส้น

จากการประมาณภาพนิ่งด้วยกล้อง 2 ตัวในระยะที่กำหนด ค่าเฉลี่ยของข้อมูลทั้งหมดแสดงในตารางที่ 4.12 เมื่อนำมาวิเคราะห์การแปลผลทางสถิติแบบเชิงเส้น สามารถหาสมการตัวแบบในการพยากรณ์ค่าระยะทางที่รถส่วนทางมาจากค่าเฉลี่ย ตามสมการที่ 4.1 ดังนี้

$$C_1 = 207.3 - 1.1715 C_2 \quad (4.1)$$

เมื่อ C_1 = ระยะห่างระหว่างดวงไฟสว่าง 2 ดวงในภาพ
 C_2 = ระยะจากรถที่ส่วนทางมา

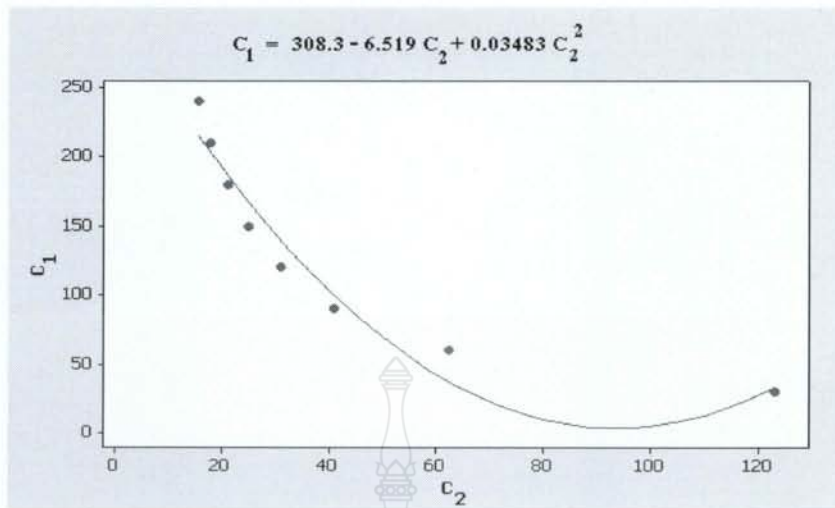


ภาพที่ 4.3 ความสัมพันธ์แบบเชิงเส้นระยะ 30 – 240 เมตร

2) พิจารณาตัวแบบพยากรณ์ด้วยความอดออยแบบโพลีโนเมียล

จากการประมาณภาพนิ่งด้วยกล้อง 2 ตัวในระยะที่กำหนด ค่าเฉลี่ยของข้อมูลทั้งหมดซึ่งแสดงในตารางที่ 4.12 เมื่อนำมาวิเคราะห์การแปลผลทางสถิติแบบโพลีโนเมียล สามารถหาสมการตัวแบบในการพยากรณ์ค่าระยะทางที่รถส่วนทางมาจากค่าเฉลี่ย ดังสมการที่ 4.2 ดังนี้

$$C_1 = 308.3 - 6.519 C_2 + 0.03483 C_2^2 \quad (4.2)$$



ภาพที่ 4.4 ความสัมพันธ์แบบโพลีโนเมียลระดับ 30 - 240 เมตร

4.2 ผลการทดสอบที่อ้างอิงจากระยะห่างระหว่างกล้อง 2 ตัวที่ติดตั้งในแนวแกน X

ในขั้นตอนนี้เป็นขั้นตอนในการนำภาพดิจิตอลที่ถ่ายไว้มาประมวลผลด้วยเทคนิคประมวลผลภาพ ซึ่งเป็นกระบวนการในการหาระยะที่เปลี่ยนแปลงตำแหน่งระหว่างศูนย์กลางของดวงไฟในภาพจากกล้องตัวที่ 1 กับกล้องตัวที่ 2 ในแนวแกน X ตามระยะที่กำหนดตั้งแต่ระยะ 240 เมตรลงมาทุกๆ 30 เมตรและนำค่าของผลลัพธ์ที่ได้นั้นไปอ้างอิงกับระยะห่างระหว่างศูนย์กลางของกล้อง 2 ตัว ซึ่งติดตั้งในแนวราบแนวแกน X

4.2.1 ประมวลผลภาพนิ่งจากกล้อง 2 ตัวโดยอ้างอิงกับระยะกล้องในแนวแกน X

เก็บข้อมูลภาพนิ่งในระยะที่กำหนดแล้วนำไปประมวลผลหาตำแหน่งศูนย์กลางของดวงไฟ ส่วน 2 ดวงหน้ารถในภาพที่ได้จากกล้องตัวที่ 1 (X_1, Y_1) และกล้องตัวที่ 2 (X_2, Y_2) และมาคำนวณหาค่าระยะเปลี่ยนแปลงในแนวราบแนวแกน X หรือ $X_2 - X_1$ อ้างอิงกับระยะกล้องที่ติดตั้งในแนวแกน X ซึ่งแสดงผลลัพธ์จากการประมวลผลในตารางที่ 4.13 ถึง 4.22 ได้ดังนี้

ตารางที่ 4.13 ผลการทดลองของรอกันที่ 1 พิจารณาในแนวระนาบแกน X

ระยะ Z ที่ทดสอบ (เมตร)	ตำแหน่ง X_1 จากภาพ ของกล้องตัวที่ 1 (พิกเซล)	ตำแหน่ง X_2 จากภาพ ของกล้องตัวที่ 2 (พิกเซล)	$X_2 - X_1$ (พิกเซล)
240	391.8102	392.1404	0.3302
210	393.5217	394.0112	0.4895
180	393.4615	394.3380	0.8765
150	393.6176	394.2857	0.6681
120	395.8889	396.7292	0.8403
90	397.0286	398.6719	1.6433
60	397.6222	399.3195	1.6973
30	402.0392	405.4136	3.3744

ตารางที่ 4.14 ผลการทดลองของรอกันที่ 2 พิจารณาในแนวระนาบแกน X

ระยะ Z ที่ทดสอบ (เมตร)	ตำแหน่ง X_1 จากภาพ ของกล้องตัวที่ 1 (พิกเซล)	ตำแหน่ง X_2 จากภาพ ของกล้องตัวที่ 2 (พิกเซล)	$X_2 - X_1$ (พิกเซล)
240	391.8182	392.1430	0.3248
210	393.5000	393.9815	0.4815
180	393.4800	394.0472	0.5672
150	393.8387	393.8538	0.0151
120	395.9744	396.8010	0.8266
90	396.9737	398.0985	1.1248
60	397.7273	399.3970	1.6697
30	402.4894	405.8090	3.3196

ตารางที่ 4.15 ผลการทดสอบของรอดคันที่ 3 พิจารณาในแนวระนาบแกน X

ระยะ Z ที่ทดสอบ (เมตร)	ตำแหน่ง x_1 จากภาพ ของกล้องตัวที่ 1 (พิกเซล)	ตำแหน่ง x_2 จากภาพ ของกล้องตัวที่ 2 (พิกเซล)	$x_2 - x_1$ (พิกเซล)
240	391.8182	392.1411	0.3229
210	395.8488	396.3274	0.4786
180	393.5714	394.1351	0.5637
150	394.0444	394.0594	0.0150
120	393.7568	393.7757	0.0189
90	396.0000	397.1179	1.1179
60	397.9818	400.2414	2.2596
30	405.8488	409.1482	3.2994

ตารางที่ 4.16 ผลการทดสอบของรอดคันที่ 4 พิจารณาในแนวระนาบแกน X

ระยะ Z ที่ทดสอบ (เมตร)	ตำแหน่ง x_1 จากภาพ ของกล้องตัวที่ 1 (พิกเซล)	ตำแหน่ง x_2 จากภาพ ของกล้องตัวที่ 2 (พิกเซล)	$x_2 - x_1$ (พิกเซล)
240	391.0625	391.3856	0.3231
210	391.9444	392.4233	0.4789
180	393.5833	394.1474	0.5641
150	393.3077	393.3227	0.0150
120	394.0571	394.0760	0.0189
90	395.8750	396.9937	1.1187
60	397.9818	400.6425	2.6607
30	420.5631	423.8647	3.3016

ตารางที่ 4.17 ผลการทดลองของรอกันที่ 5 พิจารณาในแนวระนาบแกน X

ระยะ Z ที่ทดสอบ (เมตร)	ตำแหน่ง X_1 จากภาพ ของกล้องตัวที่ 1 (พิกเซล)	ตำแหน่ง X_2 จากภาพ ของกล้องตัวที่ 2 (พิกเซล)	$x_2 - x_1$ (พิกเซล)
240	391.0625	391.3902	0.3277
210	391.1176	391.6033	0.4857
180	393.2069	393.7790	0.5721
150	394.0882	394.1035	0.0153
120	395.8966	395.9158	0.0192
90	396.7045	397.8391	1.1346
60	398.0179	400.4022	2.3843
30	402.7556	406.1041	3.3485

ตารางที่ 4.18 ผลการทดลองของรอกันที่ 6 พิจารณาในแนวระนาบแกน X

ระยะ Z ที่ทดสอบ (เมตร)	ตำแหน่ง X_1 จากภาพ ของกล้องตัวที่ 1 (พิกเซล)	ตำแหน่ง X_2 จากภาพ ของกล้องตัวที่ 2 (พิกเซล)	$x_2 - x_1$ (พิกเซล)
240	389.6610	389.8147	0.1537
210	391.1176	391.2930	0.1754
180	393.1538	393.3601	0.2063
150	394.1250	394.3723	0.2473
120	396.0417	396.3475	0.3058
90	396.8140	397.2211	0.4071
60	398.2041	398.8155	0.6114
30	402.7778	403.9774	1.1996

ตารางที่ 4.19 ผลการทดลองของรดกันที่ 7 พิจารณาในแนวระนาบแกน X

ระยะ Z ที่ทดสอบ (เมตร)	ตำแหน่ง X_1 จากภาพ ของกล้องตัวที่ 1 (พิกเซล)	ตำแหน่ง X_2 จากภาพ ของกล้องตัวที่ 2 (พิกเซล)	$X_2 - X_1$ (พิกเซล)
240	391.1667	391.3224	0.1557
210	392.5000	392.6777	0.1777
180	393.6000	393.8090	0.2090
150	393.2593	393.5099	0.2506
120	394.1935	394.5033	0.3098
90	396.1842	396.8199	0.6357
60	398.2041	398.8235	0.6194
30	403.1915	404.4068	1.2153

ตารางที่ 4.20 ผลการทดลองของรดกันที่ 8 พิจารณาในแนวระนาบแกน X

ระยะ Z ที่ทดสอบ (เมตร)	ตำแหน่ง X_1 จากภาพ ของกล้องตัวที่ 1 (พิกเซล)	ตำแหน่ง X_2 จากภาพ ของกล้องตัวที่ 2 (พิกเซล)	$X_2 - X_1$ (พิกเซล)
240	392.6842	392.8415	0.1573
210	391.1250	391.3044	0.1794
180	393.5556	393.7666	0.2110
150	393.2414	393.4944	0.2530
120	394.1818	394.4946	0.3128
90	396.2432	396.9044	0.6612
60	398.3265	398.9519	0.6254
30	403.2653	404.4923	1.2270

ตารางที่ 4.21 ผลการทดสอบของรอดคันที่ 9 พิจารณาในแนวระนาบแกน X

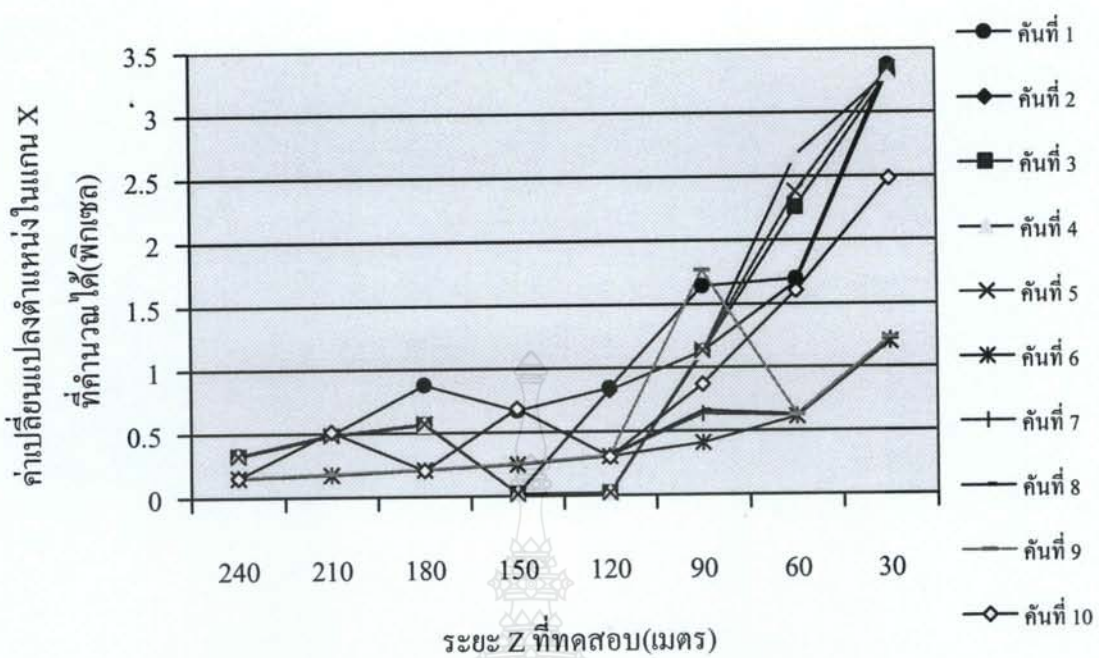
ระยะ Z ที่ทดสอบ (เมตร)	ตำแหน่ง X_1 จากภาพ ของกล้องตัวที่ 1 (พิกเซล)	ตำแหน่ง X_2 จากภาพ ของกล้องตัวที่ 2 (พิกเซล)	$X_2 - X_1$ (พิกเซล)
240	391.1667	391.3245	0.1578
210	392.7059	392.8858	0.1799
180	393.5000	393.7117	0.2117
150	393.1613	393.4151	0.2538
120	394.5556	394.8694	0.3138
90	396.3056	398.0753	1.7697
60	398.4151	399.0425	0.6274
30	403.4200	404.6509	1.2309

ตารางที่ 4.22 ผลการทดสอบของรอดคันที่ 10 พิจารณาในแนวระนาบแกน X

ระยะ Z ที่ทดสอบ (เมตร)	ตำแหน่ง X_1 จากภาพ ของกล้องตัวที่ 1 (พิกเซล)	ตำแหน่ง X_2 จากภาพ ของกล้องตัวที่ 2 (พิกเซล)	$X_2 - X_1$ (พิกเซล)
240	390.7895	390.9412	0.1517
210	391.3333	391.8464	0.5131
180	392.8636	393.0672	0.2036
150	393.4815	394.1656	0.6841
120	393.1290	393.4308	0.3018
90	394.8125	395.6802	0.8677
60	396.3077	397.9111	1.6034
30	398.3019	400.7858	2.4839

4.2.2 หาค่าเฉลี่ยของข้อมูล (พิจารณาในแนวแกน X)

จากผลลัพธ์ของระยะที่เปลี่ยนแปลงของตำแหน่งศูนย์กลางดวงไฟดวงแรกในภาพของกล้องตัวที่ 1 และ 2 ($ระยะ X_2 - X_1$) จากรถที่ทดสอบทั้งหมด 10 คันที่ได้จากในหัวข้อ 4.2.1 จะแสดง ในภาพที่ 4.5

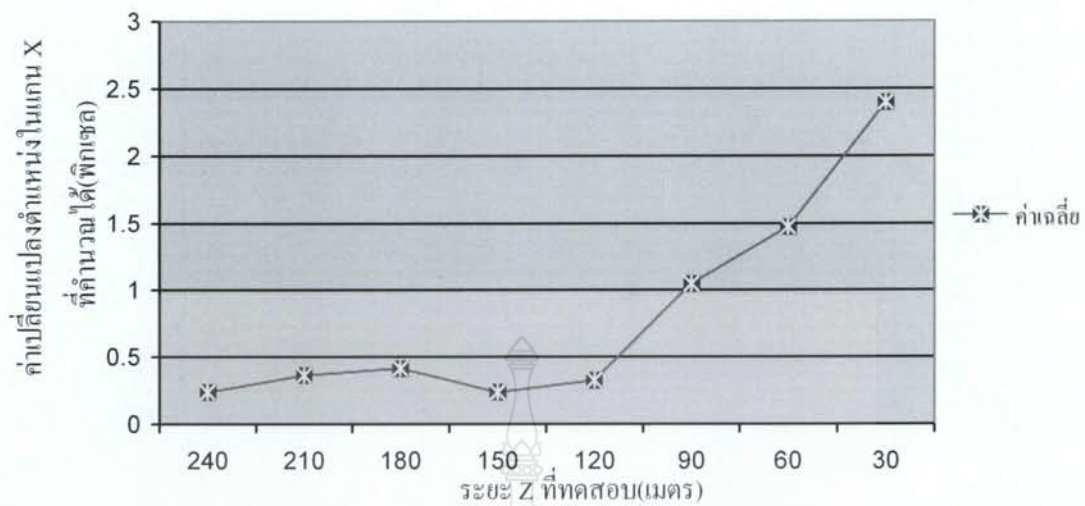


ภาพที่ 4.5 ค่าเปลี่ยนแปลงตำแหน่งในแนวแกน X จากรถที่ใช้ทดสอบทั้งหมด

สามารถนำมาหาค่าเฉลี่ยได้ตามตารางที่ 4.23 และภาพที่ 4.6 ดังนี้

ตารางที่ 4.23 ค่าเปลี่ยนแปลงตำแหน่งในแนวแกน X จากรถที่ใช้ทดสอบ (พิกเซล)

รถ \ ระยะ z	240เมตร	210เมตร	180เมตร	150เมตร	120เมตร	90เมตร	60เมตร	30เมตร
คันที่ 1	0.3302	0.4895	0.8765	0.6681	0.8403	1.6433	1.6973	3.3744
คันท 2	0.3248	0.4815	0.5672	0.0151	0.8266	1.1248	1.6697	3.3196
คันท 3	0.3229	0.4786	0.5637	0.0150	0.0189	1.1179	2.2596	3.2994
คันท 4	0.3231	0.4789	0.5641	0.0150	0.0189	1.1187	2.6607	3.3016
คันท 5	0.3277	0.4857	0.5721	0.0153	0.0192	1.1346	2.3843	3.3485
คันท 6	0.1537	0.1754	0.2063	0.2473	0.3058	0.4071	0.6114	1.1996
คันที่ 7	0.1557	0.1777	0.2090	0.2506	0.3098	0.6357	0.6194	1.2153
คันท 8	0.1573	0.1794	0.2110	0.2530	0.3128	0.6612	0.6254	1.2270
คันท 9	0.1578	0.1799	0.2117	0.2538	0.3138	1.7697	0.6274	1.2309
คันท 10	0.1517	0.5131	0.2036	0.6841	0.3018	0.8677	1.6034	2.4839
ค่าเฉลี่ย	0.2405	0.3640	0.4185	0.2417	0.3268	1.0481	1.4759	2.4000



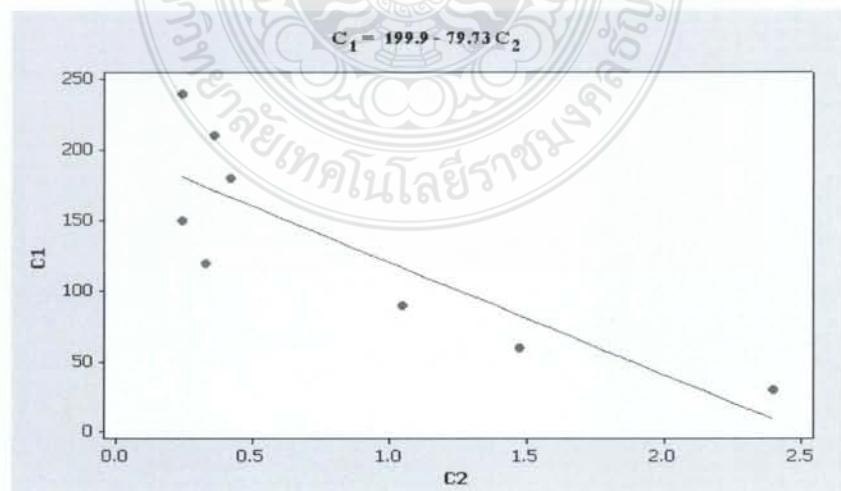
ภาพที่ 4.6 ค่าเฉลี่ยความเปลี่ยนแปลงของตำแหน่งดวงไฟในแนวแกน X

4.2.3 วิเคราะห์ผลการทดสอบจากระยะของกล้องที่ติดตั้งในแนวแกน X

- 1) พิจารณาตัวแบบพยากรณ์ด้วยความถดถอยแบบเชิงเส้นฟังก์ชันเดียว
(ระยะ 30 - 240 เมตร)

จากตารางที่ 4.23 เมื่อนำมาวิเคราะห์ด้วยการแปลผลทางสถิติแบบเชิงเส้น สามารถหาสมการความสัมพันธ์ของข้อมูลในรูปเชิงเส้นฟังก์ชันเดียวต่อคลื่นซึ่งระยะทางจาก 30 ถึง 240 เมตร ตามสมการที่ 4.3 ดังนี้

$$C_1 = 199.9 - 79.73 C_2 \quad (4.3)$$



ภาพที่ 4.7 ความสัมพันธ์แบบเชิงเส้นระยะ 30 - 240 เมตร

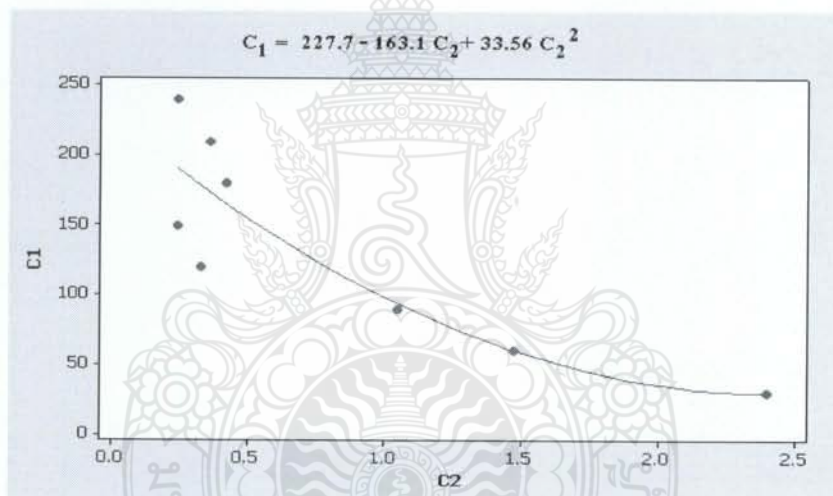
เมื่อ C_1 = ระยะทางของรถที่สวนทางมา ซึ่งวัดระยะจริง (เมตร)
 C_2 = ระยะห่างดวงไฟที่ประมวลผลได้จากภาพนิ่ง (พิกเซล)

2) พิจารณาตัวแบบพยากรณ์ด้วยความอดออยแบบโพลีโนเมียล (ระยะ 30 - 240 เมตร)

จากตารางที่ 4.23 เมื่อนำมาวิเคราะห์ด้วยการแปลผลทางสถิติแบบโพลีโนเมียลสามารถหาสมการความสัมพันธ์ของข้อมูลลดลงช่วงระยะทางจาก 30 ถึง 240 เมตร ดังสมการที่ 4.4 คือ

$$C_1 = 227.7 - 163.1C_2 + 33.56C_2^2 \quad (4.4)$$

เมื่อ C_1 = ระยะทางของรถที่สวนทางมา ซึ่งวัดระยะจริง (เมตร)
 C_2 = ระยะห่างดวงไฟที่ประมวลผลได้จากภาพนิ่ง (พิกเซล)



ภาพที่ 4.8 ความสัมพันธ์แบบโพลีโนเมียลระยะ 30 - 240 เมตร

3) พิจารณาตัวแบบพยากรณ์ด้วยความอดออยแบบเชิงเส้นแยกวิเคราะห์ 2 ช่วง

จากตารางที่ 4.23 เมื่อนำมาวิเคราะห์ด้วยการแปลผลทางสถิติ แบบเชิงเส้น 2 ช่วงของระยะทาง สามารถหาสมการความสัมพันธ์ของข้อมูลได้ดังนี้คือ

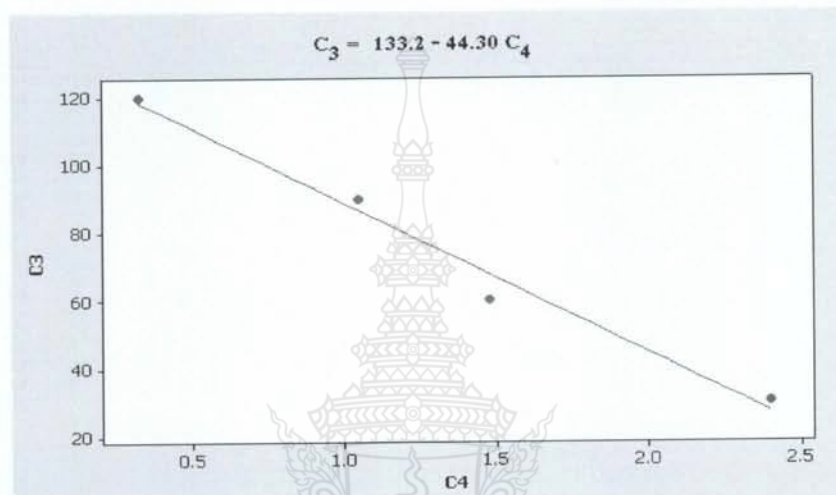
ก. ช่วงที่ 1 (ระยะ 30 - 120 เมตร)

$$C_3 = 133.2 - 44.30 C_4 \quad (4.5)$$

เมื่อ

C_3 = ระยะทางของรถที่สวนทางมาซึ่งวัสดุระยะจริง (เมตร)

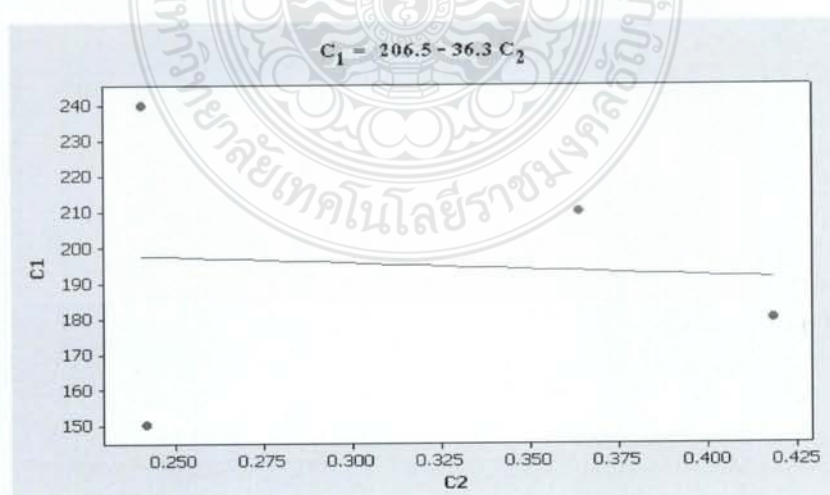
C_4 = ค่าที่เปลี่ยนแปลงของตำแหน่งดวงไฟในแนวแกน X (พิกเซล)



ภาพที่ 4.9 ความสัมพันธ์แบบเชิงเส้น ช่วงที่ 1 : ระยะ 30 - 120 เมตร

ข. ช่วงที่ 2 (ระยะ 150 -240 เมตร)

$$C_1 = 206.5 - 36.3 C_2 \quad (4.6)$$



ภาพที่ 4.10 ความสัมพันธ์แบบเชิงเส้น ช่วงที่ 2 : ระยะ 150 - 240 เมตร

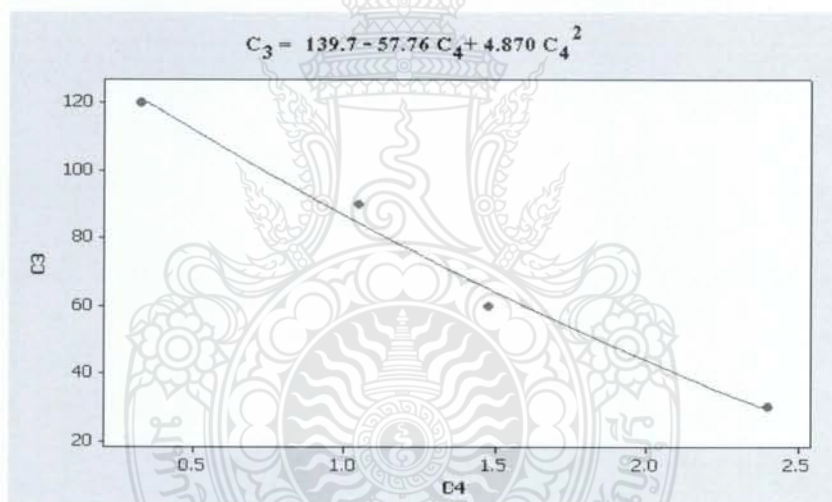
เมื่อ C_1 = ระยะทางของรถที่สวนทางมา ซึ่งวัดระยะจริง (เมตร)
 C_2 = ระยะห่างดวงไฟที่ประมวลผลได้จากการนับ (พิกเซล)

4) พิจารณาตัวแบบพยากรณ์ด้วยความอดออยเบนโพลีโนเมียลเยกิเวร่าห์ 2 ช่วง
 จากตารางที่ 4.23 เมื่อนำมาวิเคราะห์ด้วยการแปลผลทางสถิติ โดยแยกพิจารณาในรูปแบบ
 โพลีโนเมียล 2 ช่วงของระยะทาง สามารถหาสมการความสัมพันธ์ของข้อมูลได้ดังนี้คือ

ก. ช่วงที่ 1 (ระยะ 30 - 120 เมตร)

$$C_3 = 139.7 - 57.76C_4 + 4.87C_4^2 \quad (4.7)$$

เมื่อ C_3 = ระยะทางของรถที่สวนทางมา ซึ่งวัดระยะจริง (เมตร)
 C_4 = ค่าที่เปลี่ยนแปลงของตำแหน่งดวงไฟในแนวแกน X (พิกเซล)

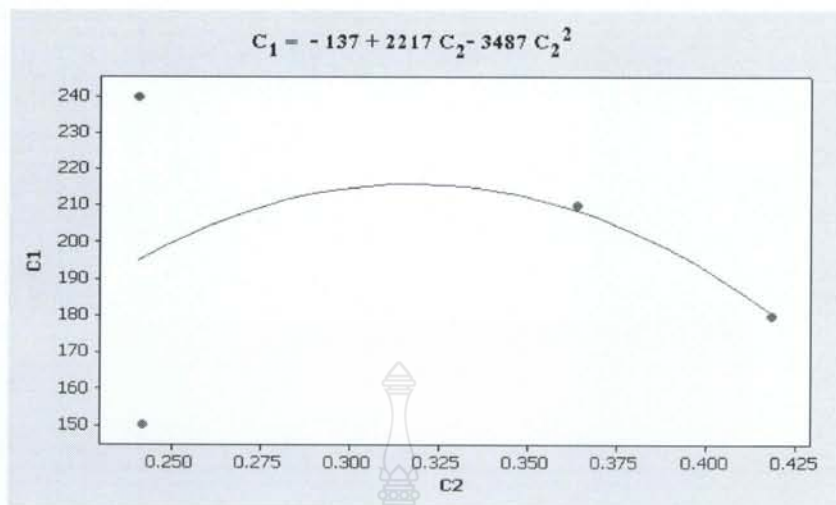


ภาพที่ 4.11 ความสัมพันธ์แบบโพลีโนเมียล ช่วงที่ 1 : ระยะ 30 - 120 เมตร

ข. ช่วงที่ 2 (ระยะ 150 -240 เมตร)

$$C_1 = -137 + 2217C_2 - 3487C_2^2 \quad (4.8)$$

เมื่อ C_1 = ระยะทางของรถที่สวนทางมา ซึ่งวัดระยะจริง (เมตร)
 C_2 = ระยะห่างดวงไฟที่ประมวลผลได้จากการนับ (พิกเซล)



ภาพที่ 4.12 ความสัมพันธ์แบบโพลีโนเมียล ช่วงที่ 2 : ระยะ 150 - 240 เมตร

4.3 ผลการทดสอบที่อ้างอิงจากระยะห่างระหว่างกล้อง 2 ตัวที่ติดตั้งในแนวแกน Y

ในขั้นตอนนี้เป็นขั้นตอนในการนำภาคคิดจิตออลที่ถ่ายไว้มาประมวลผล ซึ่งเป็นกระบวนการในการหาระยะที่เปลี่ยนแปลงตำแหน่งระหว่างศูนย์กลางของดวงไฟในภาพจากกล้อง 1 กับกล้อง 2 ในแนวแกน Y ตามระยะที่กำหนดตั้งแต่ระยะ 240 เมตรลงมาทุกๆ 30 เมตรแล้วนำค่าผลลัพธ์ที่ได้นั้นไปอ้างอิงกับระยะห่างระหว่างศูนย์กลางของกล้อง 2 ตัว ซึ่งติดตั้งในแนวระนาบแกน Y

4.3.1 ประมวลผลภาพนิ่งจากกล้อง 2 ตัวโดยอ้างอิงกับระยะกล้องในแนวแกน Y

เก็บข้อมูลภาพนิ่งในระยะที่กำหนดแล้วนำไปประมวลผลหาตำแหน่งศูนย์กลางของดวงไฟ ส่วน 2 ดวงหน้ารถในภาพที่ได้จากการถ่ายตัวที่ 1 (X_1, Y_1) และกล้องตัวที่ 2 (X_2, Y_2) และวิเคราะห์ความชำนาญหาค่าระยะเปลี่ยนแปลงในแนวระนาบแกน Y หรือ $y_2 - y_1$ อ้างอิงกับระยะกล้องที่ติดตั้งในแนวแกน Y ซึ่งแสดงผลลัพธ์จากการประมวลผลในตารางที่ 4.24 ถึง 4.33 ได้ดังนี้

ตารางที่ 4.24 ผลการทดลองของรอกันที่ 1 พิจารณาในแนวระนาบแกน Y

ระยะ Z ที่ทดสอบ (เมตร)	ตำแหน่ง y_1 จากภาพ ของกล้องตัวที่ 1 (พิกเซล)	ตำแหน่ง y_2 จากภาพ ของกล้องตัวที่ 2 (พิกเซล)	$y_2 - y_1$ (พิกเซล)
240	306.2503	306.2018	0.0485
210	306.6522	306.5216	0.1306
180	306.8846	307.0435	0.1589
150	306.9412	307.3438	0.4026
120	307.2778	307.6154	0.3376
90	307.8571	308.4722	0.6151
60	308.6000	309.4222	0.8222
30	310.3725	311.7292	1.3567

ตารางที่ 4.25 ผลการทดลองของรอกันที่ 2 พิจารณาในแนวระนาบแกน Y

ระยะ Z ที่ทดสอบ (เมตร)	ตำแหน่ง y_1 จากภาพ ของกล้องตัวที่ 1 (พิกเซล)	ตำแหน่ง y_2 จากภาพ ของกล้องตัวที่ 2 (พิกเซล)	$y_2 - y_1$ (พิกเซล)
240	306.2273	306.4158	0.1885
210	306.5000	306.7500	0.2500
180	306.6800	307.0429	0.3629
150	306.9677	307.3000	0.3323
120	307.1795	307.6531	0.4736
90	307.8947	308.3250	0.4303
60	308.8409	309.4000	0.5591
30	310.7234	312.0769	1.3535

ตารางที่ 4.26 ผลการทดสอบของรอกันที่ 3 พิจารณาในแนวระนาบแกน Y

ระยะ Z ที่ทดสอบ (เมตร)	ตัวแหน่ง y_1 จากภาพ ของกล้องตัวที่ 1 (พิกเซล)	ตัวแหน่ง y_2 จากภาพ ของกล้องตัวที่ 2 (พิกเซล)	$y_2 - y_1$ (พิกเซล)
240	307.2162	307.1316	0.0846
210	306.2273	306.3158	0.0885
180	306.7500	306.8889	0.1389
150	306.9070	307.3000	0.3930
120	307.0000	307.9211	0.5806
90	308.4909	309.3120	0.8211
60	306.0857	307.1316	1.0459
30	306.2000	307.3000	1.1000

ตารางที่ 4.27 ผลการทดสอบของรอกันที่ 4 พิจารณาในแนวระนาบแกน Y

ระยะ Z ที่ทดสอบ (เมตร)	ตัวแหน่ง y_1 จากภาพ ของกล้องตัวที่ 1 (พิกเซล)	ตัวแหน่ง y_2 จากภาพ ของกล้องตัวที่ 2 (พิกเซล)	$y_2 - y_1$ (พิกเซล)
240	306.3333	306.2667	0.0666
210	306.1250	305.9412	0.1838
180	307.2000	307.4000	0.2000
150	307.3125	307.5556	0.2431
120	306.5417	306.9048	0.3631
90	306.9231	307.2273	0.3042
60	308.4909	309.5000	1.0091
30	311.0444	312.4390	1.3946

ตารางที่ 4.28 ผลการทดสอบของรัศมีที่ 5 พิจารณาในแนวระนาบแกน Y

ระยะ Z ที่ทดสอบ (เมตร)	ตำแหน่ง y_1 จากภาพ ของกล้องตัวที่ 1 (พิกเซล)	ตำแหน่ง y_2 จากภาพ ของกล้องตัวที่ 2 (พิกเซล)	$y_2 - y_1$ (พิกเซล)
240	307.8276	307.7333	0.0943
210	306.1250	306.0000	0.1250
180	307.0882	307.2424	0.1542
150	305.9412	306.2727	0.3315
120	307.5769	308.0606	0.4837
90	307.9545	308.5227	0.5682
60	308.5893	309.3571	0.7678
30	311.1333	312.2683	1.1350

ตารางที่ 4.29 ผลการทดสอบของรัศมีที่ 6 พิจารณาในแนวระนาบแกน Y

ระยะ Z ที่ทดสอบ (เมตร)	ตำแหน่ง y_1 จากภาพ ของกล้องตัวที่ 1 (พิกเซล)	ตำแหน่ง y_2 จากภาพ ของกล้องตัวที่ 2 (พิกเซล)	$y_2 - y_1$ (พิกเซล)
240	305.9412	306.0000	0.0588
210	307.0385	307.1429	0.1044
180	307.0313	307.3438	0.3125
150	307.8140	308.2326	0.4186
120	308.8980	309.4259	0.5279
90	307.4167	307.9615	0.5448
60	311.3111	312.3095	0.9984
30	317.4407	319.6768	2.2361

ตารางที่ 4.30 ผลการทดสอบของรดคันที่ 7 พิจารณาในแนวระนาบแกน Y

ระยะ Z ที่ทดสอบ (เมตร)	ตำแหน่ง y_1 จากภาพ ของกล้องตัวที่ 1 (พิกเซล)	ตำแหน่ง y_2 จากภาพ ของกล้องตัวที่ 2 (พิกเซล)	$y_2 - y_1$ (พิกเซล)
240	306.4900	306.5111	0.0211
210	307.2212	307.2473	0.0261
180	307.3226	307.2500	0.0726
150	306.1111	306.0000	0.1111
120	306.7200	306.9565	0.2365
90	307.3158	307.5946	0.2788
60	308.9592	309.5000	0.5408
30	311.1915	312.3488	1.1573

ตารางที่ 4.31 ผลการทดสอบของรดคันที่ 8 พิจารณาในแนวระนาบแกน Y

ระยะ Z ที่ทดสอบ (เมตร)	ตำแหน่ง y_1 จากภาพ ของกล้องตัวที่ 1 (พิกเซล)	ตำแหน่ง y_2 จากภาพ ของกล้องตัวที่ 2 (พิกเซล)	$y_2 - y_1$ (พิกเซล)
240	306.1250	306.1429	0.0179
210	307.2121	307.2941	0.0820
180	307.1130	307.0000	0.1130
150	306.5926	306.8095	0.2169
120	306.1053	306.4444	0.3391
90	307.3784	307.8056	0.4272
60	308.8980	309.5769	0.6789
30	311.1224	312.3488	1.2264

ตารางที่ 4.32 ผลการทดสอบของรัศมันที่ 9 พิจารณาในแนวระนาบแกน Y

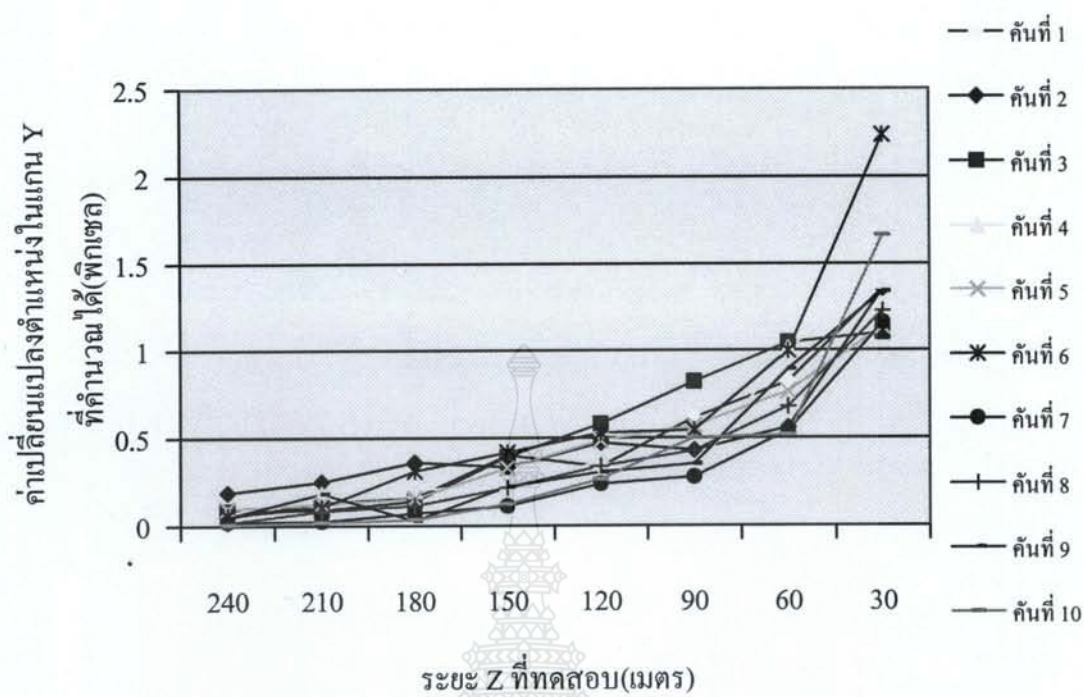
ระยะ Z ที่ทดสอบ (เมตร)	ตำแหน่ง y_1 จากภาพ ของกล้องตัวที่ 1 (พิกเซล)	ตำแหน่ง y_2 จากภาพ ของกล้องตัวที่ 2 (พิกเซล)	$y_2 - y_1$ (พิกเซล)
240	306.1111	306.1600	0.0489
210	306.8182	307.0000	0.1818
180	307.4074	307.4340	0.0266
150	307.0000	307.2222	0.2222
120	306.4118	306.1053	0.3065
90	307.3056	307.6579	0.3523
60	308.7547	309.6481	0.8934
30	311.1400	312.4773	1.3373

ตารางที่ 4.33 ผลการทดสอบของรัศมันที่ 10 พิจารณาในแนวระนาบแกน Y

ระยะ Z ที่ทดสอบ (เมตร)	ตำแหน่ง y_1 จากภาพ ของกล้องตัวที่ 1 (พิกเซล)	ตำแหน่ง y_2 จากภาพ ของกล้องตัวที่ 2 (พิกเซล)	$y_2 - y_1$ (พิกเซล)
240	306.0526	306.0588	0.0062
210	306.4091	306.3913	0.0178
180	307.0645	307.1000	0.0355
150	306.6667	306.7917	0.1250
120	306.2667	306.0000	0.2667
90	307.1875	307.6875	0.5000
60	307.5769	307.0606	0.5163
30	309.0566	310.7193	1.6627

4.3.2 หาค่าเฉลี่ยของข้อมูลที่พิจารณาในแนวแกน Y

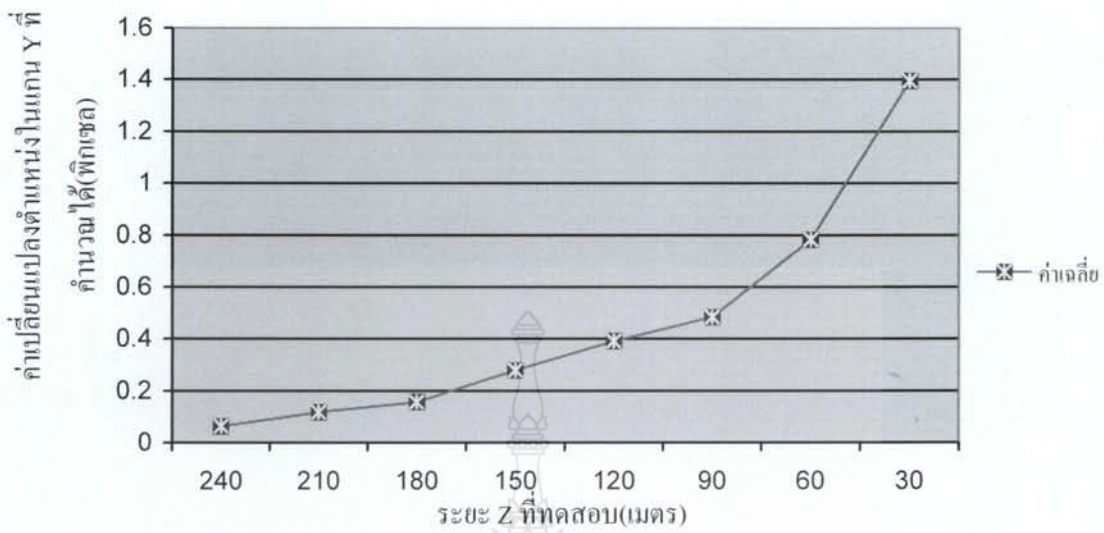
จากผลลัพธ์ของระยะที่เปลี่ยนแปลงของตำแหน่งศูนย์กลางดวงไฟดวงแรกในภาพของกล้องตัวที่ 1 และ 2 ($y_2 - y_1$) จากรถที่ทดสอบทั้งหมด 10 คันที่ได้จากในหัวข้อ 4.3.1 ซึ่งแสดงในภาพที่ 4.13 นำมาหาค่าเฉลี่ยได้ตามตารางที่ 4.34 และภาพที่ 4.14 ดังนี้



ภาพที่ 4.13 ค่าที่เปลี่ยนแปลงตำแหน่งในแนวแกน Y จากรถที่ใช้ทดสอบห้องหมุด

ตารางที่ 4.34 ค่าที่เปลี่ยนแปลงตำแหน่งในแนวแกน Y จากรถที่ใช้ทดสอบ (พิกเซล)

รถ\ ระยะ z	240เมตร	210เมตร	180เมตร	150เมตร	120เมตร	90เมตร	60เมตร	30เมตร
กั้นที่ 1	0.0485	0.1306	0.1589	0.4026	0.3376	0.6151	0.8222	1.3567
กั้นที่ 2	0.1885	0.2500	0.3629	0.3323	0.4736	0.4303	0.5591	1.3535
กั้นที่ 3	0.0846	0.0885	0.1389	0.3930	0.5806	0.8211	1.0459	1.1000
กั้นที่ 4	0.0666	0.1838	0.2000	0.2431	0.3631	0.3042	1.0091	1.3946
กั้นที่ 5	0.0943	0.1250	0.1542	0.3315	0.4837	0.5682	0.7678	1.1350
กั้นที่ 6	0.0588	0.1044	0.3125	0.4186	0.5279	0.5448	0.9984	2.2361
กั้นที่ 7	0.0211	0.0261	0.0726	0.1111	0.2365	0.2788	0.5408	1.1573
กั้นที่ 8	0.0179	0.0820	0.1130	0.2169	0.3391	0.4272	0.6789	1.2264
กั้นที่ 9	0.0489	0.1818	0.0266	0.2222	0.3065	0.3523	0.8934	1.3373
กั้นที่ 10	0.0062	0.0178	0.0355	0.1250	0.2667	0.5000	0.5163	1.6627
ค่าเฉลี่ย	0.0635	0.1190	0.1575	0.2796	0.3915	0.4842	0.7832	1.3960



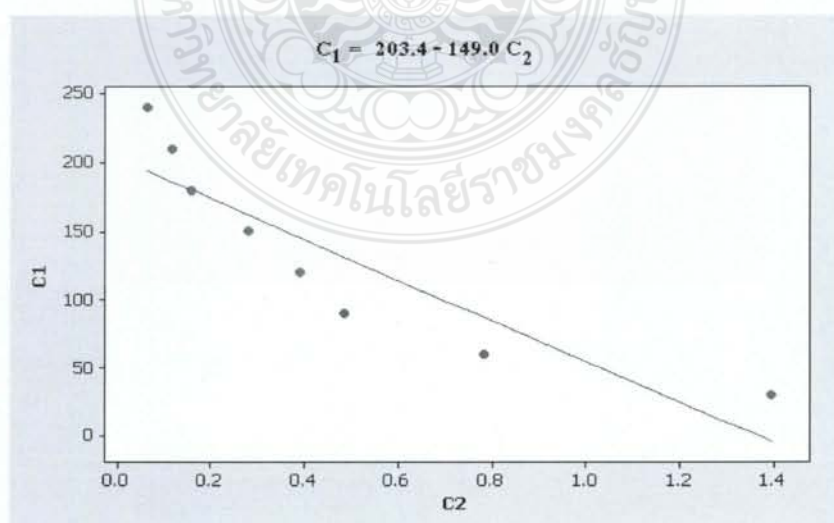
ภาพที่ 4.14 ค่าเฉลี่ยความเปลี่ยนแปลงของตำแหน่งดวงไฟในแนวแกน Y

4.3.3 วิเคราะห์ผลการทดสอบจากระยะของกล้องที่ติดตั้งในแนวแกน Y

1) พิจารณาตัวแบบพยากรณ์ด้วยความอดออยแบบเชิงเส้น (ระยะ 30 - 240 เมตร)

จากตารางที่ 4.34 เมื่อนำมาวิเคราะห์ด้วยการแปลผลทางสถิติแบบเชิงเส้น สามารถหาสมการความสัมพันธ์ของข้อมูลในรูปเชิงเส้นฟังก์ชันเดียวระหว่างระยะทาง 30 ถึง 240 เมตร ได้ตามสมการ (4.9) ดังนี้

$$C_1 = 203.4 - 149 C_2 \quad (4.9)$$



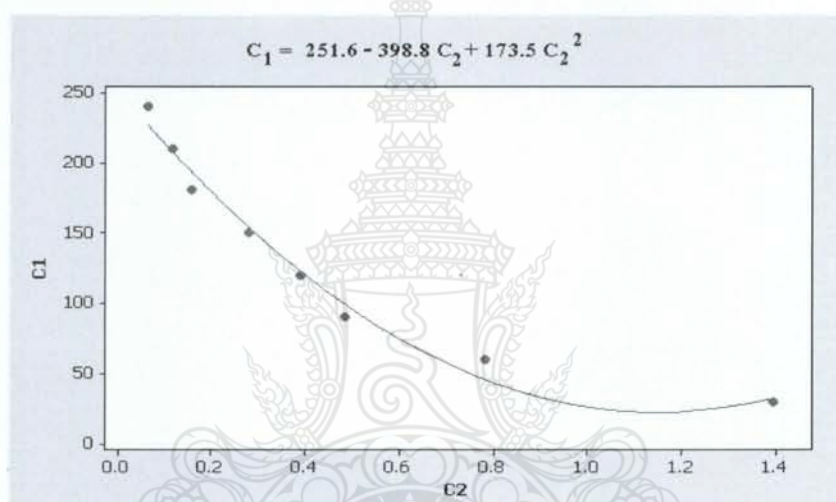
ภาพที่ 4.15 ความสัมพันธ์แบบเชิงเส้นระยะ 30 - 240 เมตร

เมื่อ C_1 = ระยะทางของรถที่สวนทางมา ซึ่งวัดระยะจริง (เมตร)
 C_2 = ระยะห่างดวงไฟที่ประมวลผลได้จากภาพนิ่ง (พิกเซล)

2) พิจารณาตัวแบบพยากรณ์ด้วยความอดออยแบบโพลีโนเมียล (ระยะ 30 - 240 เมตร)

จากตารางที่ 4.34 เมื่อนำมาวิเคราะห์ด้วยการแปลผลทางสถิติแบบโพลีโนเมียล สามารถหาสมการความสัมพันธ์ของข้อมูลในรูปโพลีโนเมียลฟังก์ชันเดียวระหว่างระยะทาง 30 - 240 เมตร ได้ตามสมการ (4.10) ดังนี้

$$C_1 = 251.6 - 398.8C_2 + 173.5C_2^2 \quad (4.10)$$



ภาพที่ 4.16 ความสัมพันธ์แบบโพลีโนเมียลระยะ 30 - 240 เมตร

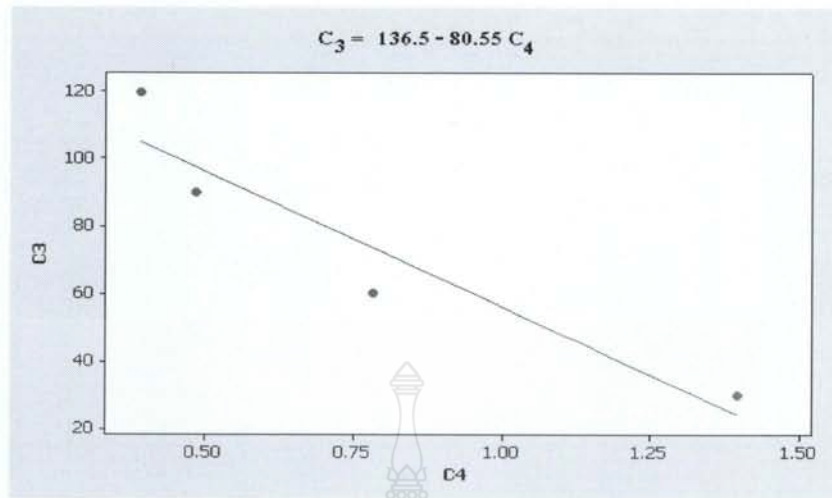
3) พิจารณาตัวแบบพยากรณ์ด้วยความอดออยแบบเชิงเส้นแยกวิเคราะห์ 2 ช่วง

จากตารางที่ 4.34 เมื่อนำมาวิเคราะห์ด้วยการแปลผลทางสถิติ โดยแยกพิจารณาแบบเชิงเส้น 2 ช่วงของระยะทาง สามารถหาสมการความสัมพันธ์ของข้อมูล โดยพิจารณา 2 ช่วง ดังนี้

ก. ช่วงที่ 1 (ระยะ 30 - 120 เมตร)

$$C_3 = 136.5 - 80.55 C_4 \quad (4.11)$$

เมื่อ C_4 = ระยะห่างดวงไฟที่ประมวลผลได้จากภาพนิ่ง (พิกเซล)
 C_3 = ระยะทางของรถที่สวนทางมา ซึ่งวัดระยะจริง (เมตร)



ภาพที่ 4.17 ความสัมพันธ์แบบเชิงเส้น ช่วงที่ 1 : ระยะ 30 - 120 เมตร

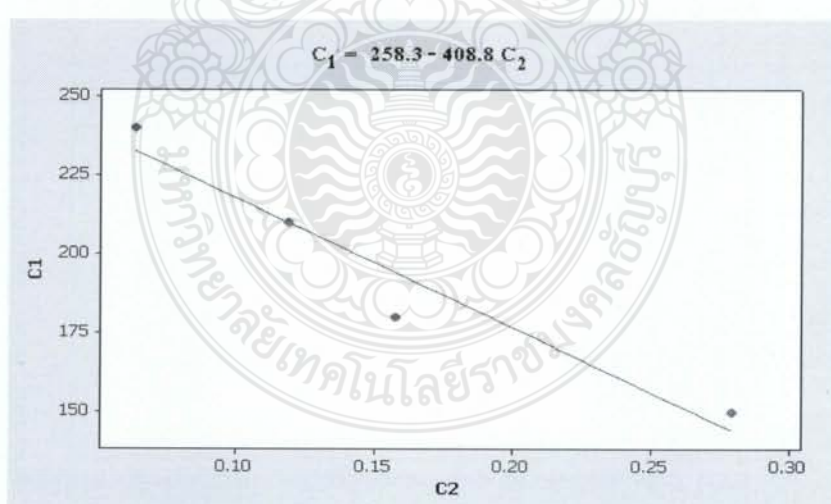
บ. ช่วงที่ 2 (ระยะ 150 - 240 เมตร)

$$C_1 = 258.3 - 408.8 C_2 \quad (4.12)$$

เมื่อ

C_1 = ระยะทางของรถที่สวนทางมา ชั่งวัดระยะจริง (เมตร)

C_2 = ระยะห่างคงไฟที่ประมาณผลได้จากภาพนิ่ง (พิกเซล)



ภาพที่ 4.18 ความสัมพันธ์แบบเชิงเส้น ช่วงที่ 2 : ระยะ 150 - 240 เมตร

- 4) พิจารณาตัวแบบพยากรณ์ด้วยความถดถอยแบบโพลีโนเมียลแกวิเคราะห์ 2 ช่วง
จากตารางที่ 4.34 เมื่อนำมาวิเคราะห์ด้วยการแปลผลทางสถิติ โดยแยกพิจารณาในรูปแบบ
โพลีโนเมียล 2 ช่วงของระยะทาง สามารถหาสมการความสัมพันธ์ของข้อมูล พิจารณา 2 ช่วง ดังนี้

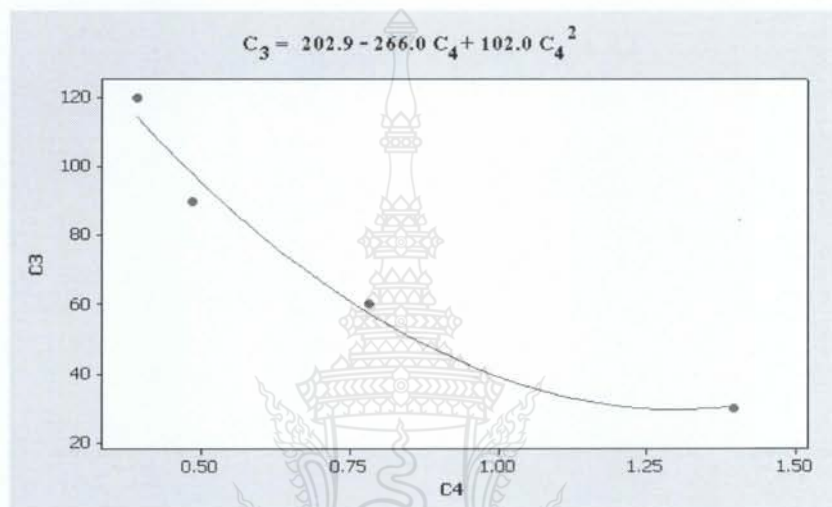
ก. ช่วงที่ 1 (ระยะ 30 - 120 เมตร)

$$C_3 = 202.9 - 266C_4 + 102C_4^2 \quad (4.13)$$

เมื่อ

C_3 = ระยะทางของรถที่สวนทางมา ซึ่งวัดระยะจริง (เมตร)

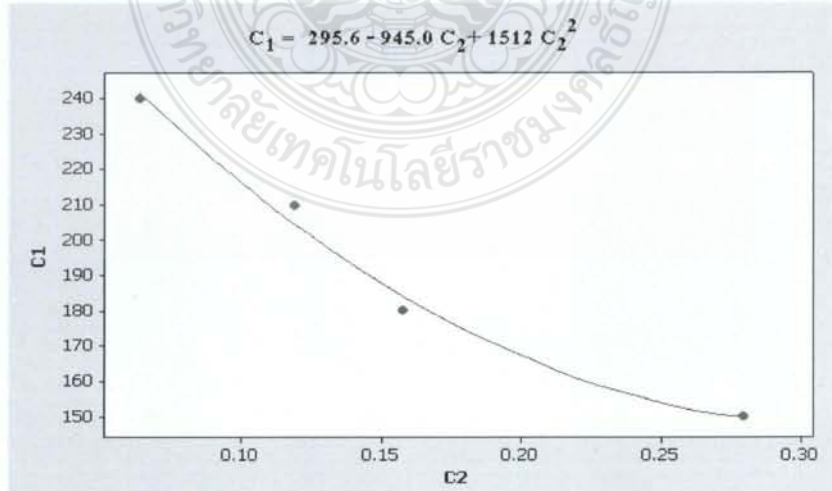
C_4 = ระยะห่างดวงไฟที่ประมวลผลได้จากภาพนิ่ง (พิกเซล)



ภาพที่ 4.19 ความสัมพันธ์แบบโพลีโนเมียล ช่วงที่ 1 : ระยะ 30 - 120 เมตร

ข. ช่วงที่ 2 (ระยะ 150 - 240 เมตร)

$$C_1 = 295.6 - 945C_2 + 1512C_2^2 \quad (4.14)$$



ภาพที่ 4.20 ความสัมพันธ์แบบโพลีโนเมียล ช่วงที่ 2 : ระยะ 150 - 240 เมตร

เมื่อ $C_2 = \text{ระยะห่างดวงไฟที่ประมวลผลได้จากภายนอก} (\text{พิกเซล})$
 $C_1 = \text{ระยะทางของรถที่สวนทางมาซึ่งวัดระยะ} (\text{เมตร})$

4.4 ทดสอบสมการต้นแบบที่มีค่าประสิทธิภาพในการตัดสินใจสหัสนพันธ์สูงที่สุด

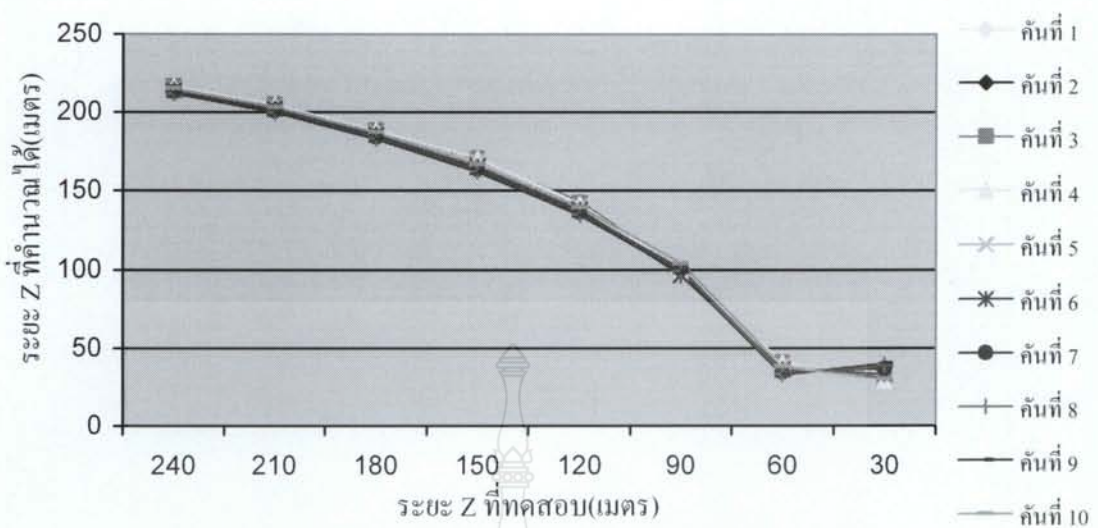
4.4.1 การพยากรณ์ด้วยสมการต้นแบบที่เหมาะสมจากการทดลองในแบบที่ 1 (อ้างอิงด้วยระยะห่างไฟ 2 ดวงหน้ารถที่ได้จากข้อมูลเดพะของรถ)

สมการที่ใช้ทดสอบ คือ $C_1 = 308.3 - 6.519 C_2 + 0.03483 C_2^2$ (4.15)

เมื่อนำผลลัพท์หรือตัวแปรต้น(ระยะ a) ที่ประมวลผลได้มาแทนค่าในสมการที่ 4.15 จะได้ระยะทางที่รถสวนทางมาจากความคำนวน (ระยะ Z) แสดงในตารางที่ 4.35 ดังนี้

ตารางที่ 4.35 ผลลัพท์ของระยะที่ทดสอบด้วยสมการต้นแบบในแบบที่ 1 (เมตร)

รถ\ระยะ z	240เมตร	210เมตร	180เมตร	150เมตร	120เมตร	90เมตร	60เมตร	30เมตร
คันที่ 1	214.85	202.76	186.33	169.8	140.86	96.61	37.84	34.25
คันที่ 2	216.01	204.3	188.06	170.17	143.05	99.07	40.09	30.23
คันที่ 3	216.52	204.87	188.7	170.88	142.09	99.99	40.94	28.82
คันที่ 4	216.46	204.8	188.63	170.8	142	99.89	40.84	28.97
คันที่ 5	215.28	203.49	187.15	169.14	140.11	97.77	38.9	32.32
คันที่ 6	214.22	202.38	186.02	165.42	138.17	96.92	36.55	33.32
คันที่ 7	213.11	201.14	184.63	163.85	136.4	100.49	34.81	36.7
คันที่ 8	212.27	200.22	183.59	162.68	135.08	99.04	33.54	39.35
คันที่ 9	211.99	199.91	183.24	162.29	134.64	98.56	33.12	40.26
คันที่ 10	215.34	203.62	187.42	167	139.96	104.4	38.34	30.12



ภาพที่ 4.21 ผลลัพธ์จากการทดสอบด้วยสมการต้นแบบที่เหมาะสมในแบบที่ 1

4.4.2 การพยากรณ์ด้วยสมการต้นแบบที่เหมาะสมจากการทดลองในแบบที่ 2

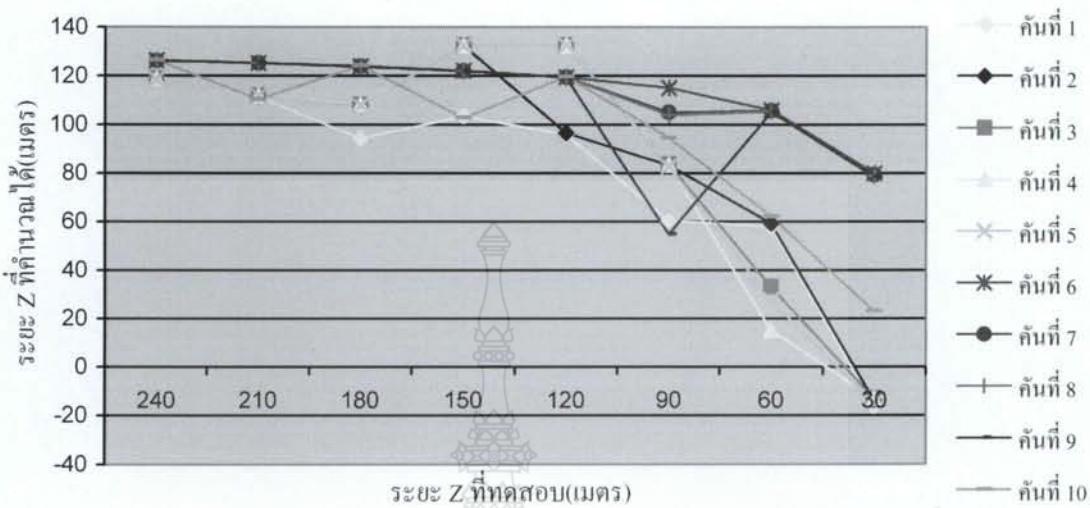
(คิดตั้งกล้องในแนวแกน X และอ้างอิงด้วยระยะของกล้อง 2 ตัวในแนวอน)

$$\text{สมการที่ใช้ทดสอบ กือ } C_3 = 133.2 - 44.30 C_4 \quad (4.16)$$

ตารางที่ 4.36 ผลลัพธ์ของระยะที่หอดูด้วยสมการต้นแบบในแบบที่ 2 (เมตร)

รถ\ ระยะ z	240เมตร	210เมตร	180เมตร	150เมตร	120เมตร	90เมตร	60เมตร	30เมตร
กันที่ 1	118.57	111.52	94.37	103.6	95.97	60.4	58.01	-16.29
กันที่ 2	118.81	111.87	108.07	132.53	96.58	83.37	59.23	-13.86
กันที่ 3	118.9	112	108.23	132.54	132.36	83.68	33.1	-12.96
กันที่ 4	118.89	111.98	108.21	132.54	132.36	83.64	15.33	-13.06
กันที่ 5	118.68	111.68	107.86	132.52	132.35	82.94	27.58	-15.14
กันที่ 6	126.39	125.43	124.06	122.24	119.65	115.17	106.11	80.06
กันที่ 7	126.3	125.33	123.94	122.1	119.48	105.04	105.76	79.36
กันที่ 8	126.23	125.25	123.85	121.99	119.34	103.91	105.49	78.84
กันที่ 9	126.21	125.23	123.82	121.96	119.3	54.8	105.41	78.67
กันที่ 10	126.48	110.47	124.18	102.89	119.83	94.76	62.17	23.16

เมื่อนำผลลัพท์หรือตัวแปรด้าน(ระยะ a) ที่ประมวลผลได้มาแทนค่าในสมการ (4.16) จะได้ระยะทางที่รถสวนทางจาก การคำนวณ (ระยะ Z) แสดงในตารางที่ 4.36



ภาพที่ 4.22 ผลลัพท์จากการทดสอบด้วยสมการต้นแบบที่เหมาะสมในแบบที่ 2

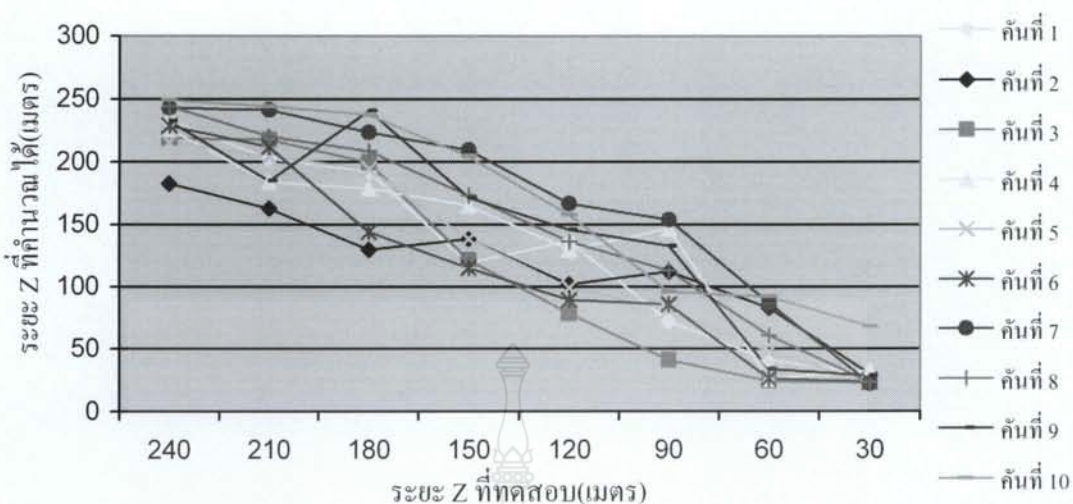
4.4.3 การพยากรณ์ด้วยสมการต้นแบบที่เหมาะสมจากการทดลองในแบบที่ 3

(ติดตั้งกล้องในแนวแกน Y และอ้างอิงด้วยระยะของกล้อง 2 ตัวในแนวตั้ง)

$$\text{สมการที่ใช้ทดสอบ คือ } C_1 = 215.6 - 398.8C_2 + 173.5C_2^2 \quad (4.17)$$

ตารางที่ 4.37 ผลลัพท์ของระยะที่ทดสอบด้วยสมการต้นแบบ แบบที่ 3

รถ\ ระยะ z	240เมตร	210เมตร	180เมตร	150เมตร	120เมตร	90เมตร	60เมตร	30เมตร
กันที่ 1	232.67	202.48	192.61	119.17	136.74	71.94	40.99	29.9
กันที่ 2	182.59	162.74	129.72	138.24	101.64	112.12	82.87	29.67
กันที่ 3	219.1	217.67	199.55	121.67	78.54	41.12	24.29	22.86
กันที่ 4	225.81	184.16	178.78	164.91	129.67	146.34	25.84	32.88
กันที่ 5	215.54	204.46	194.23	138.46	99.29	81.02	47.68	22.47
กันที่ 6	228.75	211.86	143.92	115.06	89.42	85.83	26.38	23.74
กันที่ 7	243.26	241.31	223.56	209.43	166.99	153.9	86.67	22.44
กันที่ 8	244.52	220.07	208.75	173.26	136.32	112.9	60.82	23.47
กันที่ 9	232.51	184.83	241.11	171.55	145.67	132.64	33.79	28.57
กันที่ 10	249.13	244.56	237.66	204.46	157.58	95.58	91.95	68.17



ภาพที่ 4.23 ผลลัพธ์จากการทดสอบด้วยสมการด้านบนที่เหมาะสมในแบบที่ 3

4.5 ค่าผิดพลาดจากการพยายาม

การคำนวณค่าผิดพลาดของการพยายามที่ระยะทางของรถที่สวนทางมาจากฟังก์ชันที่นำมาใช้งานสามารถหาได้จากสมการที่ 4.18 และ 4.19 คือ

$$\% \text{ Accuracy} = \frac{Z_{\text{Cal}}}{Z_{\text{ac}}} \times 100 \quad (4.18)$$

$$\% \text{ Error} = \left[\frac{Z_{\text{Cal}}}{Z_{\text{ac}}} \times 100 \right] - Z_{\text{ac}} \quad (4.19)$$

เมื่อ

$\% \text{ Accuracy}$ = เปอร์เซ็นต์ความเที่ยงตรง

$\% \text{ Error}$ = เปอร์เซ็นต์ความผิดพลาด

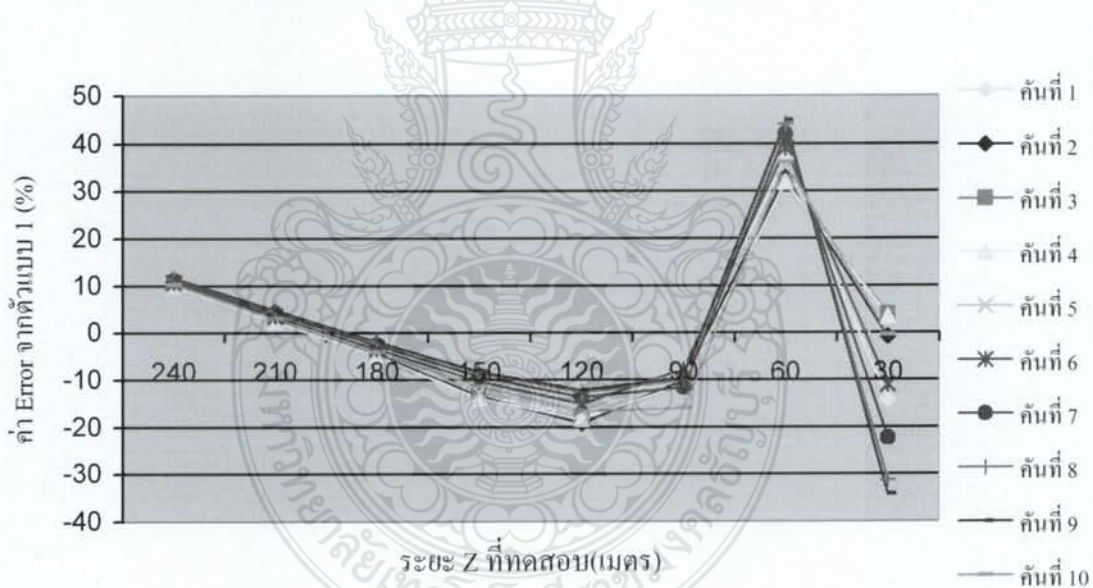
Z_{Cal} = ระยะทางของรถที่สวนทางมาจากการคำนวณ

Z_{ac} = ระยะทางของรถที่สวนทางมาที่วัดจริง

สามารถพิจารณาค่าเปอร์เซ็นต์ความผิดพลาดในการคำนวณของรถทดสอบทั้งหมดได้ตามตารางที่ 4.38 – 4.40 ในแต่ละแบบดังนี้

ตารางที่ 4.38 ค่าเบอร์เซ็นต์ความผิดพลาดในการคำนวณโดยใช้สมการต้นแบบในแบบที่ 1

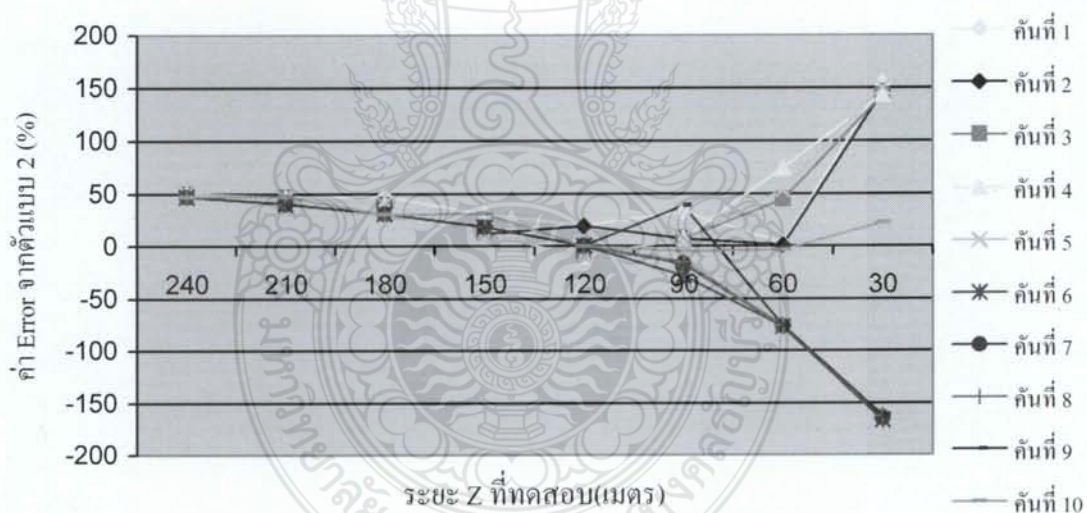
รถ\ระยะ z	240เมตร	210เมตร	180เมตร	150เมตร	120เมตร	90เมตร	60เมตร	30เมตร
กันที่ 1	10.48	3.45	-3.52	-13.2	-17.38	-7.34	36.93	-14.18
กันที่ 2	10	2.71	-4.48	-13.44	-19.21	-10.08	33.18	-0.78
กันที่ 3	9.78	2.44	-4.84	-13.92	-18.41	-11.1	31.77	3.93
กันที่ 4	9.81	2.47	-4.8	-13.87	-18.34	-10.99	31.93	3.42
กันที่ 5	10.3	3.1	-3.97	-12.76	-16.76	-8.63	35.17	-7.74
กันที่ 6	10.74	3.63	-3.34	-10.28	-15.14	-7.69	39.08	-11.06
กันที่ 7	11.21	4.22	-2.57	-9.23	-13.67	-11.65	41.98	-22.33
กันที่ 8	11.55	4.66	-1.99	-8.45	-12.57	-10.05	44.11	-31.17
กันที่ 9	11.67	4.8	-1.8	-8.19	-12.2	-9.52	44.81	-34.19
กันที่ 10	10.28	3.04	-4.12	-11.33	-16.63	-16	36.1	-0.4



ภาพที่ 4.24 ค่าผิดพลาดของผลลัพธ์จากการทดสอบด้วยสมการต้นแบบในแบบที่ 1

ตารางที่ 4.39 ค่าเบอร์เซ็นต์ความผิดพลาดในการคำนวณโดยใช้สมการต้นแบบในแบบที่ 2

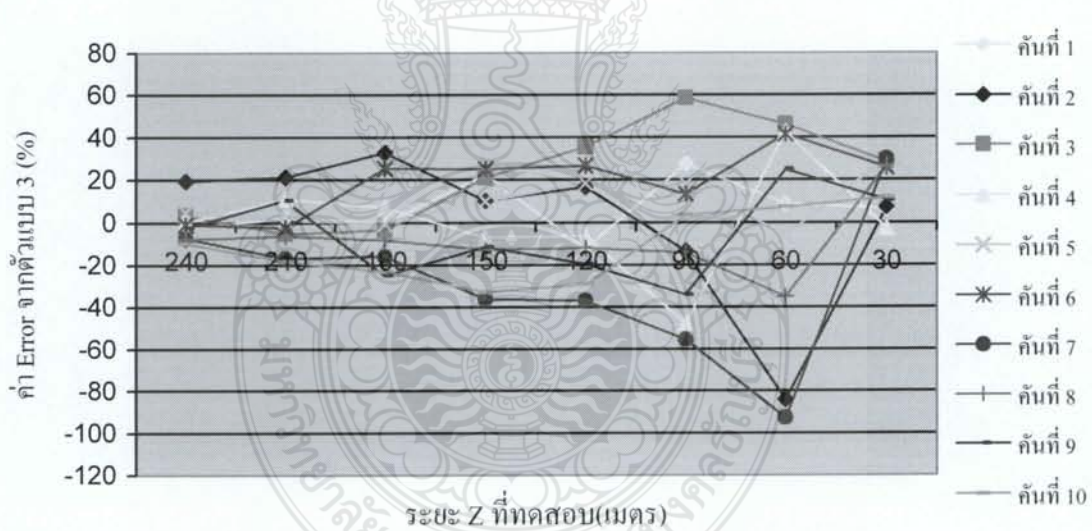
รถ\ระยะ z	240เมตร	210เมตร	180เมตร	150เมตร	120เมตร	90เมตร	60เมตร	30เมตร
กันที่ 1	50.59	46.9	47.57	30.93	20.02	32.89	3.32	154.29
กันที่ 2	50.5	46.73	39.96	11.65	19.52	7.37	1.28	146.19
กันที่ 3	50.46	46.67	39.87	11.64	-10.3	7.03	44.83	143.21
กันที่ 4	50.46	46.67	39.88	11.64	-10.3	7.06	74.45	143.54
กันที่ 5	50.55	46.82	40.08	11.65	-10.29	7.85	54.04	150.46
กันที่ 6	47.34	40.27	31.08	18.5	0.29	-27.96	-76.86	-166.9
กันที่ 7	47.37	40.32	31.14	18.6	0.44	-16.71	-76.27	-164.5
กันที่ 8	47.4	40.36	31.19	18.67	0.55	-15.45	-75.82	-162.8
กันที่ 9	47.41	40.37	31.21	18.7	0.58	39.11	-75.68	-162.2
กันที่ 10	47.3	47.4	31.01	31.4	0.14	-5.29	-3.62	22.79



ภาพที่ 4.25 ค่าผิดพลาดของผลลัพธ์จากการทดสอบด้วยสมการต้นแบบในแบบที่ 2

ตารางที่ 4.40 ค่าเบอร์เซ็นต์ความผิดพลาดในการคำนวณโดยใช้สมการต้นแบบในแบบที่ 3

ระยะ Z	240เมตร	210เมตร	180เมตร	150เมตร	120เมตร	90เมตร	60เมตร	30เมตร
กันที่ 1	-2.5	2.19	0.2	22.62	-12.08	27.33	8.9	6.57
กันที่ 2	19.56	21.38	32.79	10.24	16.69	-13.25	-84.15	7.28
กันที่ 3	3.48	-5.15	-3.4	20.99	35.62	58.46	46.03	28.58
กันที่ 4	0.52	11.03	7.37	-7.08	-6.29	-47.82	42.57	-2.74
กันที่ 5	5.05	1.23	-0.64	10.09	18.61	18.17	-5.96	29.78
กันที่ 6	-0.77	-2.35	25.43	25.28	26.7	13.3	41.37	25.81
กันที่ 7	-7.16	-16.57	-15.84	-36	-36.88	-55.46	-92.6	29.86
กันที่ 8	-7.72	-6.31	-8.16	-12.51	-11.74	-14.04	-35.16	26.67
กันที่ 9	-2.43	10.71	-24.93	-11.4	-19.4	-33.98	24.9	10.73
กันที่ 10	-9.75	-18.14	-23.14	-32.77	-29.16	3.46	7.4	11.65



ภาพที่ 4.26 ค่าผิดพลาดของผลลัพธ์จากการทดสอบด้วยสมการต้นแบบในแบบที่ 3

บทที่ 5

บทวิเคราะห์และข้อสรุป

ในบทนี้เป็นการสรุปผลการทดสอบของการคำนวณหาระยะทางของรถที่สวนทางมาในฝั่งตรงข้าม จากภาพถ่ายดวงไฟหน้ารถที่ทำการทดสอบด้วยสมการต้นแบบพยากรณ์ที่ได้จากผลการวิจัย การคำนวณหาระยะทาง ซึ่งเป็นผลการตรวจสอบภาพและประมาณผลลัพธ์จากการที่ได้ทดสอบใน บทที่ 4 โดยสามารถสรุป วิเคราะห์ผลและพิจารณาได้ดังนี้

5.1 ค่าประสิทธิผลจากการคำนวณ

การหาความสัมพันธ์ระหว่างตัวแปร 2 ตัว (เครื่องหมายของสหสัมพันธ์ที่คำนวณได้) ซึ่งถ้าสหสัมพันธ์ของตัวแปรทั้ง 2 ตัวจะมีความสัมพันธ์กันทางบวกหรือมีความสัมพันธ์ไปในทิศทางเดียวกัน ซึ่งตัวแปรต้นกับตัวแปรตามจะมีค่าเพิ่มขึ้นหรือลดลงในทางเดียวกัน สำหรับงานวิจัยนี้ สหสัมพันธ์ของตัวแปรทั้ง 2 ตัวที่คำนวณได้มีค่าเป็นลบหรือมีความสัมพันธ์ไปในทิศทางตรงกันข้าม นั่นคือถ้าตัวแปรต้นหรือระยะห่างคงดวงไฟ 2 ดวงหน้ารถในภาพมีค่าเพิ่มขึ้น ระยะของรถที่สวนทางเข้ามายกเล็กน้อยจะมีค่าลดลง

ในการวิเคราะห์ผลสามารถพิจารณาจากค่าประสิทธิภาพของการคำนวณ 3 ตัวคือ ความสัมประสิทธิ์การตัดสินใจ (R^2) ความสัมประสิทธิ์การตัดสินใจที่ปรับค่าได้ $R^2(\text{adj})$ หรือ \bar{R}^2 และความผิดพลาดมาตรฐานจากการประมาณ (SEE) ซึ่งได้อธิบายที่มาร่วมกับการคำนวณไว้ในบทที่ 2

สัมประสิทธิ์การตัดสินใจหมายถึงเปอร์เซ็นต์ของความแปรปรวนในตัวแปรหนึ่งสามารถอธิบายหรือทำนายได้ด้วยตัวแปรอื่นๆ ตัวอย่างเช่น ความสัมพันธ์ระหว่างระยะห่างคงดวงไฟ 2 ดวงในภาพกับระยะของรถที่สวนทางไม่มีค่าสหสัมพันธ์ $R = -0.617$ ดังนั้นสัมประสิทธิ์การตัดสินใจจะเท่ากับ $R^2 = 0.381$ เราจะแปลความหมายสัมประสิทธิ์การตัดสินใจได้ว่าร้อยละ 38.1 ของความแปรปรวนของระยะทางที่รถสวนทางมานั้น สามารถอธิบายหรือทำนายได้ด้วยระยะห่างของคงดวงไฟ 2 ดวงในภาพ โดยทั่วไปการพิจารณาความสัมพันธ์ของข้อมูลผลลัพธ์ ถ้าความสัมพันธ์กันน้อยค่าสหสัมพันธ์จะอยู่ระหว่าง -0.29 ถึง -0.10 หรือ 0.10 ถึง 0.29 หากความสัมพันธ์กันปานกลางค่าสหสัมพันธ์จะมีค่าอยู่ระหว่าง -0.49 ถึง -0.30 หรือ 0.30 ถึง 0.49 ส่วนความสัมพันธ์กันสูงค่าสหสัมพันธ์จะอยู่ระหว่าง -1.00 ถึง -0.50 หรือ 0.50 ถึง 1.00

จากบทที่ 4 เมื่อนำมาวิเคราะห์การแปลผลทางสถิติสามารถสรุปผลจากค่าประสิทธิผลของการคำนวณโดยแยกตามรูปแบบการวิจัยได้ดังนี้

5.1.1 ค่าประสิทธิผลจากการคำนวณ (พิจารณาในแนวแกน X)

ตารางที่ 5.1 ค่าประสิทธิผลจากผลลัพธ์ที่อ้างอิงด้วยระยะคงไฟหน้ารถจริงจาก Specify

วิธีการวิเคราะห์	ระยะทาง	SEE	R-Sq	R-Sq(adj)
แบบเชิงเส้น	30 - 240 เมตร	42.948	0.707	0.658
แบบโพลีโนเมียล	30 - 240 เมตร	20.015	0.947	0.926

ตารางที่ 5.2 ค่าประสิทธิผลจากผลลัพธ์ที่อ้างอิงด้วยระยะระหว่างกล้อง 2 ตัว

วิธีการวิเคราะห์	ระยะทาง	SEE	R-Sq	R-Sq(adj)
แบบเชิงเส้น	30 - 240 เมตร	42.553	0.760	0.665
แบบโพลีโนเมียล	30 - 240 เมตร	42.250	0.717	0.669
แบบเชิงเส้น	ช่วงที่ 1 : 30 - 120 เมตร	6.438	0.982	0.972
	ช่วงที่ 2 : 150 - 240 เมตร	47.267	0.700	0.000
แบบโพลีโนเมียล	ช่วงที่ 1 : 30 - 120 เมตร	7.635	0.987	0.961
	ช่วงที่ 2 : 150 - 240 เมตร	64.116	0.860	0.000

5.1.2 ค่าประสิทธิผลจากการคำนวณ (พิจารณาในแนวแกน Y)

ตารางที่ 5.3 ค่าประสิทธิผลจากผลลัพธ์ที่อ้างอิงด้วยระยะระหว่างกล้อง 2 ตัว

วิธีการวิเคราะห์	ระยะทาง	SEE	R-Sq	R-Sq(adj)
แบบเชิงเส้น	30 - 240 เมตร	34.381	0.812	0.781
แบบโพลีโนเมียล	30 - 240 เมตร	11.562	0.982	0.976
แบบเชิงเส้น	ช่วงที่ 1 : 30 - 120 เมตร	15.773	0.889	0.834
	ช่วงที่ 2 : 150 - 240 เมตร	12.008	0.936	0.904
แบบโพลีโนเมียล	ช่วงที่ 1 : 30 - 120 เมตร	10.198	0.977	0.931
	ช่วงที่ 2 : 150 - 240 เมตร	7.134	0.989	0.966

5.2 พังก์ชันที่เหมาะสมในการพยากรณ์ค่าระยะทาง

จากบทที่ 4 เรายังได้สมการต้นแบบ วิธีการวิเคราะห์การแปลผลทางสถิติที่เหมาะสม โดยพิจารณาจากค่าสัมประสิทธิ์ของการตัดสินใจ แสดงในตารางที่ 5.4 – 5.6 ดังนี้

ตารางที่ 5.4 แบบที่ 1 อ้างอิงด้วยระยะห่างไฟ 2 ดวงหน้ารถที่แท้จริงจาก Specify

วิธีการวิเคราะห์	สมการต้นแบบ	ค่าสัมประสิทธิ์ของการตัดสินใจ
แบบโพลีโนเมียล	$C_1 = 308.3 - 6.519 C_2 + 0.03483 C_2^2$	0.926

ตารางที่ 5.5 แบบที่ 2 อ้างอิงกับระยะระหว่างกล้อง 2 ตัวในระนาบแกน X (แนวอน)

วิธีการวิเคราะห์	สมการต้นแบบ	ค่าสัมประสิทธิ์ของการตัดสินใจ
แบบเชิงเส้น(ช่วงที่ 1)	$C_3 = 133.2 - 44.30 C_4$	0.972

ตารางที่ 5.6 แบบที่ 3 อ้างอิงกับระยะระหว่างกล้อง 2 ตัวในระนาบแกน Y (แนวตั้ง)

วิธีการวิเคราะห์	สมการต้นแบบ	ค่าสัมประสิทธิ์ของการตัดสินใจ
แบบโพลีโนเมียล	$C_1 = 215.6 - 398.8C_2 + 173.5C_2^2$	0.976

หมายเหตุ *** = ให้เปอร์เซนต์ถูกต้องสหสัมพันธ์สูงที่สุด

เมื่อ C_1, C_3 = ระยะทางของรถที่สวนทางมา ซึ่งวัดระยะจริง (เมตร)

C_2, C_4 = ระยะห่างดวงไฟที่ประมาณผลได้จากภาพนิ่ง (พิกเซล)

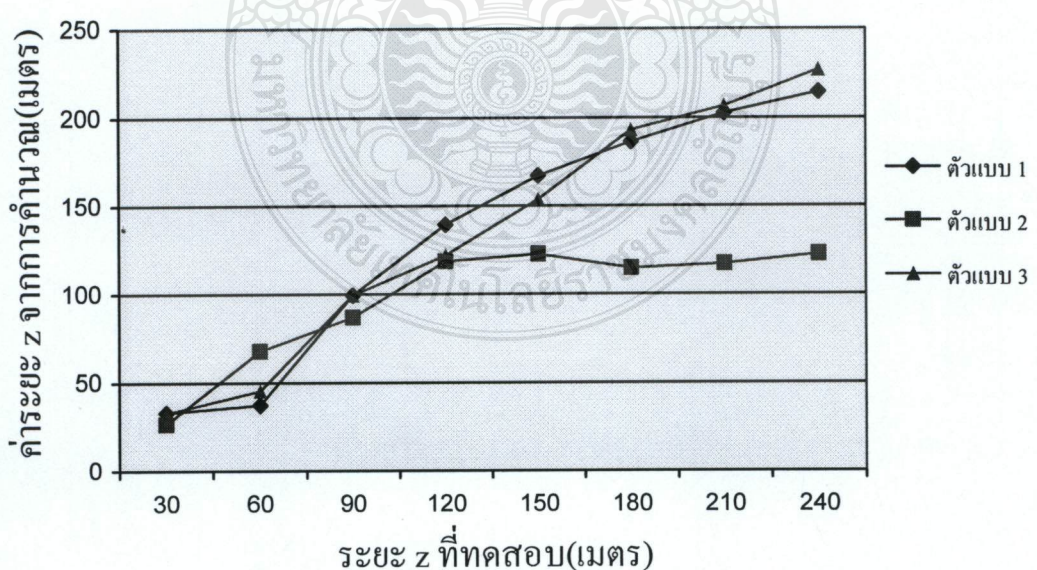
5.3 สรุปผลการทดสอบการพยากรณ์ด้วยสมการตัวแบบ

ตารางที่ 5.7 เปรียบเทียบผลลัพธ์จากค่าเฉลี่ยของตัวแบบทั้ง 3 แบบ

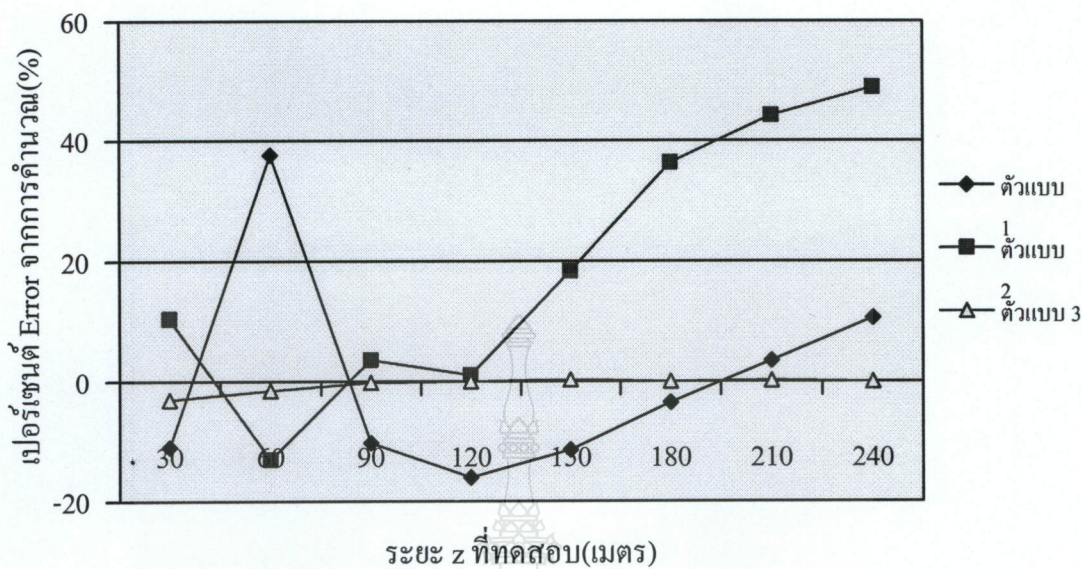
ระยะ Z (เมตร)	ใช้ตัวแบบที่ 1		ใช้ตัวแบบที่ 2		ใช้ตัวแบบที่ 3	
	ระยะ Zcal (เมตร)	Error (%)	ระยะ Zcal (เมตร)	Error (%)	ระยะ Zcal (เมตร)	Error (%)
30	33.31	-11.03	26.88	10.4	32.99	-3.11
60	37.44	37.6	67.82	-13.03	45.69	-1.52
90	99.26	-10.29	86.77	3.59	99.18	-0.18
120	139.22	-16.02	118.72	1.06	122.06	-0.05
150	167.19	-11.46	122.49	18.34	153.66	0.22
180	186.37	-3.54	114.66	36.3	193.09	-0.05
210	202.75	3.45	117.07	44.25	206.60	0.19
240	214.6	10.58	122.55	48.94	226.98	0.01

เมื่อ Z = ระยะทางที่ใช้ทดสอบ

$Zcal$ = ระยะทางที่รถสวนทางมาจากการคำนวณ



ภาพที่ 5.1 ระยะ Z เฉลี่ยที่คำนวณได้จากตัวแบบทั้ง 3 แบบ



ภาพที่ 5.2 ค่าผิดพลาดที่เกิดจากการคำนวณระยะ Z จากตัวแบบทั้ง 3 แบบ

ตารางที่ 5.8 สรุปค่าความผิดพลาดของการพยากรณ์ระยะทาง

วิธีการทดสอบ	ตัวแบบที่ใช้พยากรณ์	ค่าผิดพลาดเฉลี่ยสูงสุด(%)	ค่าผิดพลาดเฉลี่ยต่ำสุด(%)
แบบที่ 1	$C_1 = 308.3 - 6.519 C_2 + 0.03483 C_2^2$	37.0	3.45
แบบที่ 2	$C_3 = 133.2 - 44.30 C_4$	48.94	1.06
แบบที่ 3	$C_1 = 215.6 - 398.8C_2 + 173.5C_2^2$	-3.11	0.01

5.4 สรุปผลการวิจัย

จากการวิจัยได้นำเสนอการคำนวณระยะทาง โดยมีปัจจัยพื้นฐานที่มีผลต่อความถูกต้องของการคำนวณระยะทางอยู่บ้าง ประการแรกเรื่องการถ่ายภาพสำหรับการตั้งค่า ISO หรือรูรับแสงของกล้อง ค่าที่ถูกต้องควรตั้งไว้ที่ ISO 400 ประการที่สองการใช้ไฟล์เตอร์จะสามารถช่วยทำให้ไฟภาพที่คมชัดยิ่งขึ้น เนื่องจากจะไปช่วยลดในเรื่องความจำของแสงไฟสำหรับข้อสรุปอื่นๆสามารถแยกพิจารณา 3 รูปแบบ คือ

- 1) การทดลองติดตั้งกล้องในระนาบ X และนำค่าระยะห่างระหว่างไฟ 2 ดวงในภาพมาอ้างอิงค่าว่าระยะห่างระหว่างไฟ 2 ดวงหน้ารถจริงจากข้อมูลเฉพาะของรถนั้นๆ หรือระยะ a

เนื่องจากในการทดลอง ระยะ a จากรถจำนวน 10 คัน 2 ประเกทจะไม่เท่ากัน โดยข้อผิดพลาดเกิดจากความแตกต่างของระยะไฟหน้ารถแต่ละคันและโมเดลที่ใช้คำนวณจริงเกิดจากค่าเฉลี่ย ผลการคำนวณระยะทางหากค่า a น้อยกว่าค่าเฉลี่ยระยะทางระหว่างกล้องกับรถจะน้อยกว่าค่าที่แท้จริง หากค่า a มากกว่าค่าเฉลี่ย ผลคำนวณระยะทางจะเกินกว่าระยะทางจริงระหว่างกล้องและรถยนต์จากตารางที่ 5.8 จะเห็นว่ามีค่าผิดพลาดค่อนข้างสูงเฉลี่ยร้อยละ 37 เพราะไม่สามารถทราบค่าของ a ที่แท้จริง จึงได้แก้ปัญหาดังกล่าวโดยทดลองในข้อ 2 และ 3

2) การทดลองติดตั้งกล้องในระนาบ X และนำค่าแตกต่างของตำแหน่ง X ในภาพมาห้ำงยิงกับระยะห่างระหว่างกล้อง 2 ตัวในระนาบ X หรือแนวอน ผลการคำนวณระยะทางจะให้ความถูกต้องและแม่นยำสูงที่ระยะใกล้ๆเท่านั้น(ระยะ 30 – 120 เมตร) ในขณะเดียวกันก็จะมีค่าผิดพลาดสูงที่ระยะไกลออกไป(ระยะ 150 – 240 เมตร) โดยเฉลี่ยร้อยละ 48.94 ดังจะเห็นได้จากตารางที่ 5.8

3) การทดลองติดตั้งกล้องในระนาบ Y และนำค่าแตกต่างตำแหน่ง Y ในภาพมาห้ำงยิงกับระยะห่างระหว่างกล้อง 2 ตัวในระนาบ Y หรือแนวตั้ง สำหรับผลการคำนวณระยะทางจะให้ความถูกต้องโดยรวมค่อนข้างสูงเมื่อเทียบกับรูปแบบที่ 1 และ 2 ซึ่งค่าผิดพลาดสามารถยอมรับได้เฉลี่ยอยู่ที่ระหว่างร้อยละ -3.11 – 0.01 ดังแสดงในตารางที่ 5.8

การวิจัยครั้งนี้สรุปได้ว่าค่าความต่างหรือค่าเปลี่ยนแปลงตำแหน่งของศูนย์กลางดวงไฟในภาพระหว่างกล้อง 2 ตัวมีความสัมพันธ์กับระยะทาง ซึ่งสามารถนำหลักการวิเคราะห์การแปลงทางสถิติมาประยุกต์ใช้ เพื่อสร้างเครื่องมือในการประเมินค่าได้ จากการทดลองจะเห็นได้ว่าการพยากรณ์ระยะทางด้วยการวิเคราะห์ความถดถอยเชิงเส้นต่อเนื่องแบบโพลีโนเมียลตลอดช่วงที่ระยะ 30 – 240 เมตร จะมีประสิทธิภาพในการพยากรณ์ได้อย่างถูกต้องที่สุดมีค่าผิดพลาดต่ำสุดเพียงร้อยละ 0.01

5.5 ข้อเสนอแนะและแนวคิดเพื่อการพัฒนาเพิ่มเติมในอนาคต

ในงานวิจัยนี้ผู้วิจัยทำการทดลองจากรถกระยะและรถนั่งส่วนบุคคลเท่านั้น ดังนั้นการนำเอาเทคนิคหรือตัวแบบที่สร้างไปใช้ในการพยากรณ์รถชนิดอื่นๆ จะส่งผลกระทบต่อความถูกต้องหากเลือกใช้วิธีการที่แรก เนื่องจากการออกแบบให้ดวงไฟมีขนาดไม่เท่ากัน เมื่อรัฐมีขนาดใหญ่ขึ้นดวงไฟหน้ารถก็จะมีขนาดใหญ่ตาม ทำให้ระยะห่างของดวงไฟที่คำนวณได้ก็จะลดลงจากการสะท้อนของแสงมากอุปกรณ์รับภาพมากขึ้น ในการนำไปประยุกต์ใช้ต้องทำการทดลองวิจัยและสร้างตัวแบบใหม่ งานวิจัยได้พัฒนาวิธีหารูปแบบที่ใช้ในการพยากรณ์ระยะทางให้แม่นยำขึ้น โดยจะ

พิจารณาศูนย์กลางของดวงไฟซึ่งมีค่าไม่ต่างกันมากสำหรับรถแต่ละคัน รวมทั้งพิจารณาค่าเปลี่ยนแปลงของตำแหน่งศูนย์กลางดวงไฟ ระหว่างกล้อง 2 ตัว จึงไม่ต้องสนใจเรื่องขนาดดวงไฟหน้ารถ จากการทดลองจริงในรูปแบบที่ 3 ที่กล่าวมาแล้วนี้จะมีประสิทธิภาพการพยากรณ์ค่อนข้างสูง งานวิจัยนี้มีประเด็นที่สามารถนำไปพัฒนาต่ออยอดได้ เช่น การพยากรณ์หานิดของรถที่สวนทางมา ซึ่งมีแนวทางและความเป็นไปได้สูง

สุดท้ายนี้ผู้วิจัยมีความยินดีหากมีนักวิจัยที่สนใจในการพัฒนาต่ออยอด เพื่อให้เกิดองค์ความรู้และการประยุกต์งานทางด้านวิศวกรรมให้เกิดประโยชน์ทางด้านความปลอดภัย เนื่องจากความรู้ทางด้านการประมวลผลภาพมักจะนำมาใช้ในด้านรถยนต์อัจฉริยะหรือการตรวจจับต่างๆ งานวิจัยนี้จึงเป็นแนวความคิด เพื่อให้นักวิจัยระหบันกและเห็นถึงประโยชน์ในการพัฒนางานวิจัยทางด้านวิศวกรรมให้ตอบสนองต่อความต้องการของประเทศต่อไป



รายการอ้างอิง

- [1] ศูนย์เทคโนโลยีสารสนเทศการขนส่งและจราจร (ศทท.). “การสืบค้นข้อมูลทางอินเทอร์เน็ต,” [ออนไลน์]. เข้าถึงได้จาก: <http://www.otp.go.th>, 2554. [สืบค้นเมื่อ 1 มีนาคม 2554]
- [2] Gonzalez, Rafael C., Woods, Richard E. and Eddins, Steven L. 2002 **Digital Image Processing**, 2nd ed, Newjersey: Prentice Hall, 2002. pp 49 - 55
- [3] Sa-nuguannam, A., Srinonchat, J., “Applied Image Processing Technique for Detection the Defects of Ball Grid Array,” **The 31th Electrical Engineering Conference Proceedings (EECON31)**, October 2008, Nakornnayok, Thailand, 2008. pp 1073 – 1076
- [4] Demers, J., **Depth of Field: A Survey of Techniques GPU Gems**, 2004. pp. 375-390
- [5] Stein, B., Reynolds, J., **Mechanical and Electrical Equipment for Building**, 11th ed, New York: John Wiley & Sons Co., 1998. pp 197
- [6] Dennis, P., “Distance Perception”, **Current Directions in Psychological Science**, vol.15 2006. pp 131 - 135
- [7] Ricardo, V., Youssef, D., “A Perspective View and Survey of Meta-Learning”, IBM T.J. Watson Research Center Saw Mill River Rd. Hawthorne NY , **Artificial Intelligence Review** 18, USA, 2002. pp 77 - 95
- [8] Oscar, T., “**Linear Regression (Ver.6.0)**,” [online]. เข้าถึงได้จาก <http://dss.princeton.edu> [สืบค้นเมื่อ 16 กันยายน 2552]
- [9] Tatiyana, V., et al., “Simex and Standard Error Estimation in Semiparametric Measurement Error Models,” **Electronic Journal of Statistics Vol. 3**, 2009. pp 318 - 348
- [10] Tao, H. , May, H. , “A New Stereo Matching Algorithm for Binocular Vision”, **International Journal of Hybrid Information Technology**, Vol.3, No.1, January, 2010. pp 1 - 6
- [11] Nagumo, S., Hasegawa, H. and Okamoto, N., “Extraction of Forward Vehicles by Front-Mounted Camera Using Brightness Information,” **IEEE CCECE 2003. Canadian Conference on Electrical and Computer Engineering**, May 2003, Yokohama, Japan 2003. pp 1243 – 1246
- [12] Gat, I., Benady, M., and Shashua, A., “A Monocular Vision Advance Warning System for the Automotive Aftermarket,” **SAE Transactions**, Vol.114, 2005. pp 403 - 410.

- [13] Suansomjit, P. **Night - Time Recognition for Car-Driving Support System.** Master's Thesis.
Department of Electronics and Telecommunication Engineering, King Mongkut's
University of Technology Thonburi, 2006.

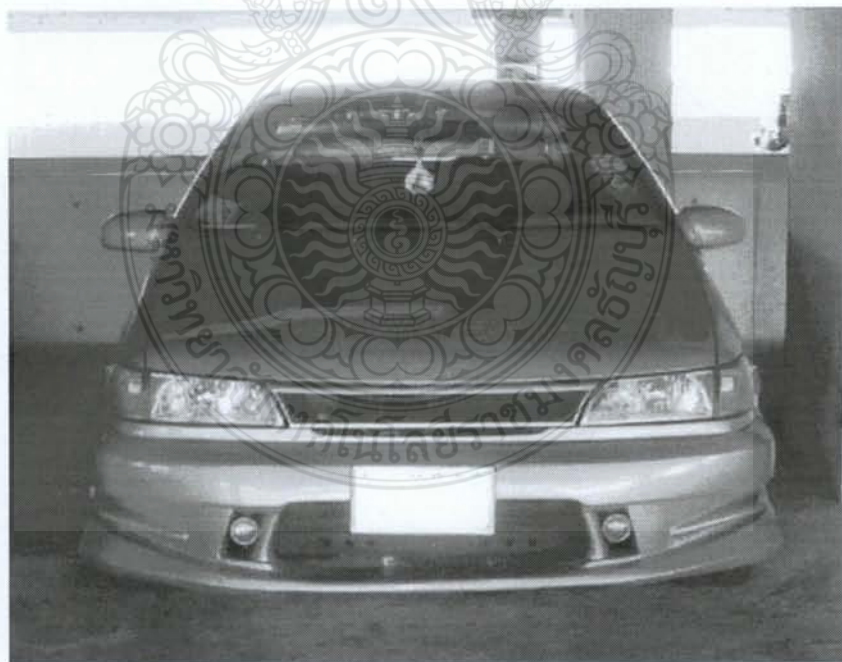








ภาพที่ ก.1 รถยนต์ที่ใช้ในงานวิจัยคันที่ 1



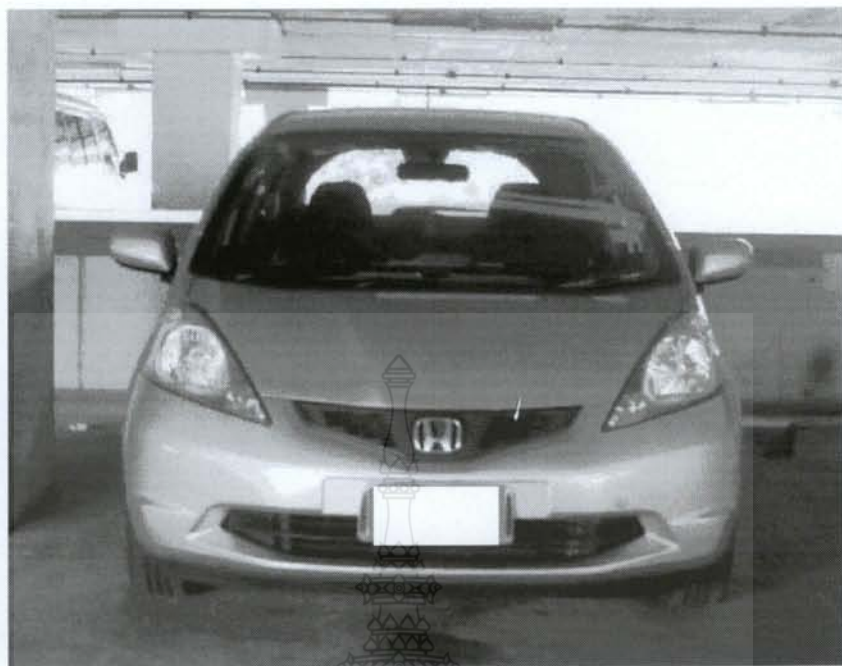
ภาพที่ ก.2 รถยนต์ที่ใช้ในงานวิจัยคันที่ 2



ภาพที่ ก.3 รถยนต์ที่ใช้ในงานวิจัยคันที่ 3



ภาพที่ ก.4 รถยนต์ที่ใช้ในงานวิจัยคันที่ 4



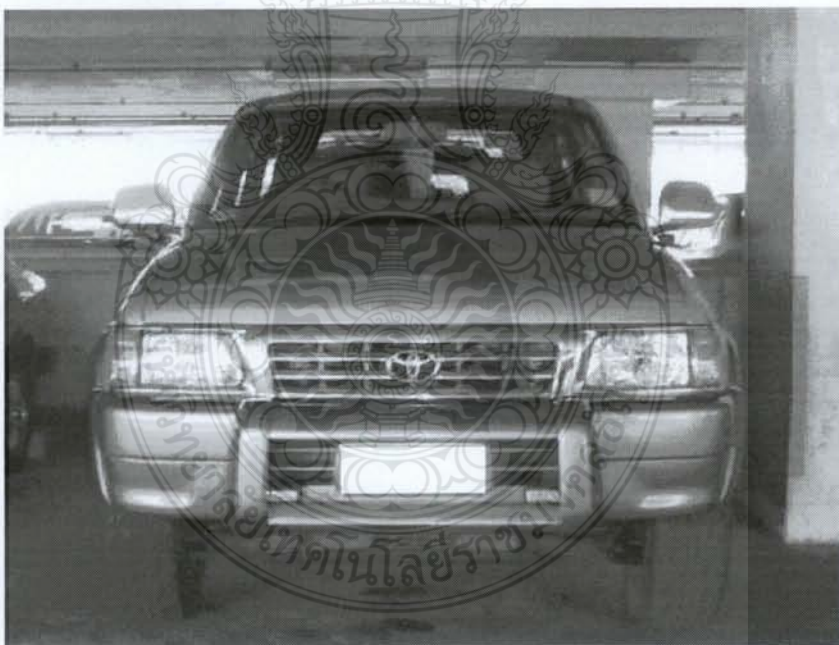
ภาพที่ ก.5 รถยนต์ที่ใช้ในงานวิจัยคันที่ 5



ภาพที่ ก.6 รถยนต์ที่ใช้ในงานวิจัยคันที่ 6



ภาพที่ ก.7 รถยนต์ที่ใช้ในงานวิจัยคันที่ 7



ภาพที่ ก.8 รถยนต์ที่ใช้ในงานวิจัยคันที่ 8



ภาพที่ ก.9 รถยนต์ที่ใช้ในงานวิจัยคันที่ 9



ภาพที่ ก.10 รถยนต์ที่ใช้ในงานวิจัยคันที่ 10



ภาควิชานวัตกรรม

ผลงานตีพิมพ์เผยแพร่

2

2009 6th International Conference
on Electrical Engineering/Electronics,
Computer, Telecommunications,
and Information Technology

ECTI-CON 2009

May 6th - 9th, 2009

Ambassador City Jomtien
Pattaya, Chonburi, Thailand

ISBN 978-1-4244-3388-9
IEEE Catalog Number: CFP0907E
Library of Congress: 2008910219



NECTEC
A CENTER OF EXCELLENCE

IEEE
THE WORLD'S LARGEST ENGINEERING SOCIETY

Organizing Committee

ECTI-CON
2009

Steering Committee

- Jun-ichi Takada (TIT, Japan) ('09)
Kazushi Nakano (UEC, Japan) ('09)
Saykhong Saynasine (NUOL, Laos) ('09)
Brent Bargmann (Seagate, Thailand) ('09)
Prabhas Chongsatitwattana (CU) ('09)
Kosin Chamnongthai (KMUTT) ('10)
Chaiwut Chat-uthai (KMITL) ('10)
Weerachet Kanngern (KMITL) ('10)
Apirat Siritaratiwat (KKU) ('10)
Seyed Hossein Hosseini (U. Tabliz, Iran) ('10)
Tuptim Angkaew (CU) ('10)
Sawasd Tantaratana (SIIT) ('10)

General Chair

- Monai Krairiksh (KMITL)

Vice Chair

- Ekachai Leelarasamee (CU)

Technical Program Chair

- Prabhas Chongsatitwattana (CU)

Local Arrangement Chairs

- Vara Varavithya (KMUTNB)
Yaowadee Temptanapart (KMUTNB)

Publication & IS Chairs

- Phongsak Keeratiwintakorn (KMUTNB)
Marong Phadoonsidhi (KMUTNB)
Pisit Vanichchanunt (KMUTNB)

Sponsor & Exhibition Chair

- Pisit Vanichchanunt (KMUTNB)

Finance Chairs

- Marong Phadoonsidhi (KMUTNB)

Registration Chair

- Sopon Apiromvorakan (KMUTNB)

Publicity Chair

- Vutipong Areekul (KU)

General Secretary

- Vara Varavithya (KMUTNB)

General Vice Secretary

- Yaowadee Temptanapart (KMUTNB)

Program Committee

ECTI-CON
2009

Technical Program Committee

Program Chair: Prabhas Chongsatitvatana (CU)

Area 1) Devices, Circuits and Systems

Associate Program Chair Area 1: Apinunt Thanachayanont (KMITL)

Program Committee Area 1

Wanchalerm Pora (CU)

Pasin Isarasena (NECTEC)

Songphol Kanchanachuchai (CU)

Area 2) Computers and Information Technology

Associate Program Chair Area 2: Krerk Piromsopa (CU)

Program Committee Area 2

Marong Phadoongsidhi (KMUTNB)

Nipon Theera-Umpon (CMU)

Area 3) Communication Systems

Associate Program Chair Area 3: Chaodit Aswakul (CU)

Program Committee Area 3

Denchai Worasawate (KU)

Peerapol Yuvapoositanon (MUT)

Area 4) Controls

Associate program Chair Area 4: Manop Wongsaisuwan (CU)

Program Committee Area 4

Poj Tangamchit (KMUTT)

Matthew Dailey (AIT)

Area 5) Electrical Power Systems

Associate Program Chair Area 5: Sutthichai Premrudeepreechacharn (CMU)

Program Committee Area 5

Bundhit Eua-Arporn (CU)

Nattaphob Nimpitiwan (BU)

Area 6) Signal Processing

Associate Program Chair Area 6: Vutipong Areekul (KU)

Program Committee Area 6

Somchart Chokchaitam (TU)

Nisachon Tangsangiumvisai (CU)



Reviewers

ECTI-CON
2009

- Aaron Solomon, National Chi-Nan, Taiwan
Adisorn Tuantranont, National Electronics and Computer Technology Center, Thailand
Amorn Jiraseree-amornkun, Mahanakorn University of Technology, Thailand
Amporn Poyai, National Electronics and Computer Technology Center, Thailand
Anan Phonphoem, Kasetsart University, Thailand
Anantawat Kunakorn, King Mongkut's Institute of Technology Ladkrabang , Thailand
Andrew F Peterson, Georgia Institute of Technology, United States
Anucha Ruangphanit, National Electronics and Computer Technology Center, Thailand
Anuwat Jangwanitlert, King Mongkut's Institute of Technology Ladkrabang , Thailand
Apinunt Thanachayanont, King Mongkut's Institute of Technology Ladkrabang, Thailand
Apirat Siriratiwat, Khon Kaen University, Thailand
Apisak Worapishet, Mahanakorn University of Technology, Thailand
Arporn Teeramongkonrasmee, Chulalongkorn University, Thailand
Arthit Thongtak, Chulalongkorn University, Thailand
Atiwong Suchato, Chulalongkorn University, Thailand
Boonserm Kjisirikul, Chulalongkorn University, Thailand
Boonying Charoen, Khon Kaen University, Thailand
Bundhit Bundhit Eua-Arporn, Chulalongkorn University, Thailand
Cattareeya Suwanasri, Naresuan University, Thailand
Chai Wutiwiwatchai, National Electronics and Computer Technology Center, Thailand
Chaiyod Pirak, King Mongkut's University of Technology North Bangkok, Thailand
Chakguy Prakasvudhisarn, Shinawatra University, Thailand
Chakphed Madtharad, Provincial Electricity Authority, Thailand
Chalermek Intanagonwiwat, Chulalongkorn University, Thailand
Chalermpol Charnsripinyo, National Electronics and Computer Technology Center, Thailand
Chalie Charoenlarpnopparut, Sirindhorn International Institute of Technology, Thailand
Chanchai Thongsopa, Suranaree University of Technology, Thailand
Charnchai Pluempiwiriyawej, Chulalongkorn University, Thailand
Charturong Tantibundhit, Thammasat University, Thailand
Chatpol Lertsirimit, Asian University, Thailand
Chawalit Benjangkaprasert, King Mongkut's Institute of Technology Ladkrabang, Thailand
Chawasak Rakpenthai, Naresuan University Phayao, Thailand
Ching Kuang C Tzuang, National Taiwan University of Science and Technology, Taiwan
Chiranut Sangiamsak, Khon Kaen University, Thailand
Chirasil Chayawan, King Mongkut's University of Technology Thonburi, Thailand

Chokchai Sangdao, Mahanakorn University of Technology, Thailand
Choochart Haruechaiyasak, National Electronics and Computer Technology Center, Thailand
Chumnarn Punyasai, National Electronics and Computer Technology Center, Thailand
Chutima Prommak, Suranaree University of Technology, Thailand
Chuttchalav Jeraputra, Mahidol University, Thailand
Chuwong Phongcharoenpanich, King Mongku's Institute of Technology Ladkrabang , Thailand
Chuwong Phongcharoenpanich, King Mongkut's Institute of Technology Ladkrabang , Thailand
David Banjerdpongchai, Chulalongkorn University, Thailand
Denchai Worasawate, Kasetsart University, Thailand
Diew Kulpirak, King Mongkut's University of Technology Thonburi, Thailand
Dulpichet Rerkpreedapong, King Mongkut's Institute of Technology Ladkrabang, Thailand
Dusit Thanapatay, Kasetsart University, Thailand
Ekachai Phaisangittisagul, Kasetsart University, Thailand
Elias Kyriakides, University of Cyprus, Cyprus
Eyung Lim, Temasek Polytechnic, Singapore
Hideyuki Sawada, Kagawa University, Japan
Issarachai Ngamroo, King Mongkut's Institute of Technology Ladkrabang , Thailand
Itthisek Nilkhamhang, Sirindhorn International Institute of Technology, Thailand
Janejoab Virapanicharoen, Provincial Electricity Authority, Thailand
Jatuporn Chinrungrueng, National Electronics and Computer Technology Center, Thailand
Jen Tsai Kuo, National Chiao Tung University, Taiwan
Jerapong Rojanarowan, Assumption University, Thailand
Jittat Fakcharoenphol, Kasetsart University, Thailand
Juggapong Natwichai, Chiang Mai University, Thailand
Junghoon Lee, Cheju National, Korea
K Guney, Erciyes University, Turkey
Kanokvate Tungpimolrut, National Electronics and Computer Technology Center, Thailand
Kasin Vichienchom, King Mongku's Institute of Technology Ladkrabang, Thailand
Kitsana Waiyamai, Kasetsart University, Thailand
Kohji Higuchi, The University of Electro-Communications, Japan
Koonlachat Meesublak, National Electronics and Computer Technology Center, Thailand
Krerk Piromsopa, Chulalongkorn University, Thailand
Krittaya Chawanonphithak, King Mongkut's Institute of Technology Ladkrabang , Thailand
Kultida Rojviboonchai, Chulalongkorn University, Thailand
Lonnie Ludeman, New Mexico State University, United States
Lunchakorn Wuttisittikulkij, Chulalongkorn University, Thailand
Mana Sriyudthsak, Chulalongkorn University, Thailand
Manop Wongsaisuwan, Chulalongkorn University, Thailand
Manos Tentzeris, Mahanakorn University of Technology, United States
Marong Phadoongsidhi, King Mongkut's University of Technology North Bangkok, Thailand

Masaki Yamakita, Tokyo Institute of Technology, Japan
Matthew N. Dailey, Asian Institute of Technology, Thailand
Methee Srisupundit, Asian Institute of Technology, Thailand
Mitchai Chongcheawchamnan, King Mongkut's University of Technology Thonburi, Thailand
Monai Krairiksh, King Mongkut's Institute of Technology Ladkrabang, Thailand
Mongkol Konghirun, King Mongkut's University of Technology Thonburi, Thailand
Montree Siripruchyanun, King Mongkut's University of Technology North Bangkok, Thailand
Montri Karnjanadecha, Prince of Songkla University, Thailand
Naebboon Hoonchareon, Chulalongkorn University, Thailand
Naratip Wongkomet, "Silicon Craft Technology Co., Ltd", Thailand
Naruemon Wattanapongsakorn, King Mongkut's University of Technology Thonburi, Thailand
Natasha Dejbumrong, King Mongkut's University of Technology Thonburi, Thailand
Natawut Nupairoj, Chulalongkorn University, Thailand
Nattee Nipaman, Chulalongkorn University, Thailand
Nattha Jindapetch, Prince of Songkla University, Thailand
Natthaphob Nimpitiwan, Bangkok University, Thailand
Nimit Chomnawang, Suranaree University of Technology, Thailand
Nipapon Siripon, Chiang Mai University, Thailand
Nipon Theera-Upon, Chiang Mai University, Thailand
Nisachon Tangsangiumvisai, Chulalongkorn University, Thailand
Nongluk Covavisaruch, Chulalongkorn University, Thailand
Noppadol Uchaipichat, Thammasat University, Thailand
Nuntiya Chaiyabut, Bangkok University, Thailand
Pakorn Kaewtrakulpong, King Mongkut's University of Technology Thonburi, Thailand
Panachit Kittipanya-ngam, Institute of Infocomm Research, Singapore
Panita Pongpaiboon, National Electronics and Computer Technology Center, Thailand
Panrasee Ritthipravat, Mahidol University, Thailand
Parnjit Damrongkulkamjorn, King Mongkut's Institute of Technology Ladkrabang, Thailand
Pasin Israsena, National Electronics and Computer Technology Center, Thailand
Pathomthat Chiradeja, Srinakharinwirot University, Thailand
Patrachart Komolkiti, Assumption University, Thailand
Peerapol Jirapong, Chiang Mai University, Thailand
Peerapol Yuvaopositanon, Mahanakorn University of Technology, Thailand
Peerapon Siripongwutikorn, King Mongkut's University of Technology Thonburi, Thailand
Peerapong Uthansakul, Suranaree University of Technology, Thailand
Peerayot Sanposh, Kasetsart University, Thailand
Phakphoom Boonyanant, National Electronics and Computer Technology Center, Thailand
Phanumas Khumsat, Prince of Songkla University, Thailand
Phoemphun Oothongsap, King Mongkut's University of Technology North Bangkok, Thailand
Phongsak Keeratiwintakorn, King Mongkut's University of Technology North Bangkok, Thailand

Phumin Kirawanich, Mahidol University, Thailand
Pichai Aree, Thammasat University, Thailand
Pichaya Tandayya, Prince of Songkla University, Thailand
Pisit Boonsrimuang, King Mongkut's Institute of Technology Ladkrabang , Thailand
Pongsatorn Sedtheetorn, Mahidol University, Thailand
Porrudee Netisopakul, King Mongkut's Institute of Technology Ladkrabang, Thailand
Poompat Saengudomlert, Asian Institute of Technology, Thailand
Poonlap Lamsrichan, Kasetsart University, Thailand
Pornanong Pongpaibool, National Electronics and Computer Technology Center, Thailand
Pornchai Phukpattaranont, Prince of Songkla University, Thailand
Pradit Fuangfoo, Provincial Electricity Authority, Thailand
Prayoot Akkaraekthalin, King Mongkut's University of Technology North Bangkok, Thailand
Ruttikorn Varakulsiripunth, King Mongkut's Institute of Technology Ladkrabang , Thailand
Sabri Arik, Istanbul University, Turkey
Sakchai Thipchaksurat, King Mongkut's Institute of Technology Ladkrabang , Thailand
Samphan Prompitchai, Mahanakorn University of Technology, Thailand
Sanchai Dechanupaprittha, Kyushu Institute of Technology, Japan
SangHo Lee, Chungbuk National, Korea
Sanpachai Huwanandana, CRMA, Thailand
Sanparith Marukatat, National Electronics and Computer Technology Center, Thailand
Sanpawat Kantabutra, Chiang Mai University, Thailand
Sansanee Auephanwiriyakul, Chiang Mai University, Thailand
Sanya Mitaim, Thammasat University, Thailand
Saowapak Sotthivirat, National Electronics and Computer Technology Center, Thailand
Sarawan Wongsa, King Mongkut's University of Technology Thonburi, Thailand
Sarun Sumriddetchkajorn, National Electronics and Computer Technology Center, Thailand
Sathaporn Promwong, King Mongkut's Institute of Technology Ladkrabang , Thailand
Satoru Ohta, Toyama Prefectural University, Japan
Sawasd Tantaratana, Sirindhorn International Institute of Technology, Thailand
Setha Pan-ngum, Chulalongkorn University, Thailand
Siddharth Suryanarayanan, Colorado School of Mines, United States
Sirichai Pornsarayouth, Chulalongkorn University, Thailand
Siroj Sirisukprasert, Kasetsart University, Thailand
Siwaruk Siwamogsatham, National Electronics and Computer Technology Center, Thailand
Somboon Nuchprayoon, Chiang Mai University, Thailand
Somboon Sangwongwanich, Chulalongkorn University, Thailand
Somchart Chokchaitam, Thammasat University, Thailand
Somnuk Puangpronpitag, Mahasarakham University, Thailand
Somphop Limsoonthrakul, Asian Institute of Technology, Thailand
Sompob Polmai, King Mongkut's Institute of Technology Ladkrabang , Thailand

Somying Thainimit, Kasetsart University, Thailand
Songphol Kanjanachuchai, Chulalongkorn University, Thailand
Steve Gordon, Sirindhorn International Institute of Technology, Thailand
Suchin Arunsawatwong, Chulalongkorn University, Thailand
Sukree Sinthupinyo, Chulalongkorn University, Thailand
Sumate Naetiladdanon, King Mongkut's University of Technology Thonburi, Thailand
Suneat Pranonsatit, Kasetsart University, Thailand
Sungwan Boksuwan, King Mongkut's Institute of Technology Ladkrabang , Thailand
Supakorn Siddhichai, National Electronics and Computer Technology Center, Thailand
Supat Kittiratsatcha, King Mongkut's Institute of Technology Ladkrabang , Thailand
Surachai Chaitusaney, Chulalongkorn University, Thailand
Surapong Suwankawin, Chulalongkorn University, Thailand
Suree Pumrin, Chulalongkorn University, Thailand
Surin Khomfoi, King Mongkut's Institute of Technology Ladkrabang , Thailand
Taweesak Reungpeerakul, Prince of Songkla University, Thailand
Teerakiat Kerdcharoen, Mahidol University, Thailand
Teerasit Kasetkasem, Kasetsart University, Thailand
Teeravisit Laochapengsang, Mahanakorn University of Technology, Thailand
Thanachayanont Chanchana, National Electronics and Computer Technology Center, Thailand
Thananchai Leephakpreeda, Sirindhorn International Institute of Technology, Thailand
Thanapong Suwasasri, King Mongkut's University of Technology North Bangkok, Thailand
Thavatchai Tayjasahant, Chulalongkorn University, Thailand
Thavida Maneewarn, Mahanakorn University of Technology, Thailand
Theerachet Soorapanth, National Electronics and Computer Technology Center, Thailand
Theerayod Wiangtong, Mahanakorn University of Technology, Thailand
Thipwan Fangsuwannarak, Suranaree University of Technology, Thailand
Thitiwan Srinark, Kasetsart University, Thailand
Thumrongrat Amornraksa, King Mongkut's University of Technology Thonburi, Thailand
Titipong Lertwiriyaprappa, King Mongkut's University of Technology North Bangkok, Thailand
Toshiaki Kondo, Sirindhorn International Institute of Technology, Thailand
Trin Saengsuwan, Kasetsart University, Thailand
Twittie Senivongse, Chulalongkorn University, Thailand
Ukrit Watchareeruetai, Nagoya University, Japan
Urachada Ketprom, National Electronics and Computer Technology Center, Thailand
Usana Tuntoolavest, Kasetsart University, Thailand
Vara Varavithya, King Mongkut's University of Technology North Bangkok, Thailand
Varakorn Kasemsuwan, King Mongkut's Institute of Technology Ladkrabang, Thailand
Vasaka Visoottiviseth, Mahidol University, Thailand
Veerachai Malyavaj, Mahanakorn University of Technology, Thailand
Viboon Chunkag, King Mongkut's University of Technology North Bangkok, Thailand

Virasit Imtawil, Khon Kaen University, Thailand
Viriya Pichetchumrun, King Mongkut's Institute of Technology Ladkrabang, Thailand
Vorapoj Patanavijit, Assumption University, Thailand
Vutipong Areekul, Kasetsart University, Thailand
Wachira Chongburee, Kasetsart University, Thailand
Wanchalerm Pora, Chulalongkorn University, Thailand
Wannarat Suntiamorntut, Prince of Songkla University, Thailand
Waree Kongpravechnon, Sirindhorn International Institute of Technology, Thailand
Waroth Kuhirun, Kasetsart University, Thailand
Wathanyoo Khaisongkram, Tokyo University of Agriculture and Technology, Japan
Widhyakorn Asdornwised, Chulalongkorn University, Thailand
Wiklom Teerapabkajorndet, Prince of Songkla University, Thailand
Wipawee Usaha, Suranaree University of Technology, Thailand
Wiroonsak Santipach, King Mongkut's Institute of Technology Ladkrabang, Thailand
Wutipong Areekul, Kasetsart University, Thailand
Wuttipong Kumwilaisak, King Mongkut's University of Technology Thonburi, Thailand
Xiulong Bao, Dublin Institute of Technology, Ireland
Yongyuth Permpoontanalarp, King Mongkut's University of Technology Thonburi, Thailand
Yuttana Kumsuwan, Rajamangala University of Technology Lanna Tak, Thailand

An Investigation of Robustness in Independent Component Analysis EMG	1102
Direk Sueaseenak, Theerasak Chanwimalueang, Manas Sangworasil, and Chuchart Pintaviroo	
3D Modeling of Detected Pleural Thickenings through Thin Plate Spline Interpolation	1106
<i>Nipapom Saekor, Somchart Roongruangsorakarn, Kraisorn Chaisaowong, Thomas Kraus, and Til Aach</i>	
Session FAM2-5 : Image Processing II	
Image Denoising Employing a Bivariate Pearson distribution with Rayleigh density Prior for Statistical Parameter	1112
<i>P. Kittisawan, W. Asdornwised, and S. Marukat</i>	
Apply Image Processing Technique to Determine The Correlation of Chlorophyll	1116
<i>Sattarpoom Thalparnit and Jakkree Srinonchat</i>	
An Image Registration Algorithm Using a Particle Filters	1120
<i>T. Kasetkasem, N. Homsup, and D. Meetit</i>	
Gaussian Curvature-Based Geometric Invariance	1124
<i>P.Tosranon, A.Sanpanich, C.Bunluechokchai, and C.Pintavirooj</i>	
Session FPM1-5 : Object Tracking	
Multiple Object Tracking Using Improved GMM-Based Motion Segmentation	1130
<i>Saeid Fazli, Hamed Moradi Pour, and Hamed Bouzari</i>	
A Robust Hybrid Movement Detection Method in Complex Background	1134
<i>Saeid Fazli, Hamed Moradi Pour, and Hamed Bouzari</i>	
Practical Application for Vision-based Traffic Monitoring System	1138
<i>Kantip Kiratiratanapruk and Supakorn Siddhichai</i>	
A New Technique to Define the Overtake Distance Using Image Processing	1142
<i>Pairoj Saengpredeekorn and Jakkree Srinonchat</i>	
Session FAM2-3 : Adaptive Signal Processing	
Affine Projection Algorithm with Coefficient Vector Reusing	1148
<i>Hyeonwoo Cho, Yong-ju Jeon, Doo-chul Choi, and Sang Woo Kim</i>	
Mixed-Tone Normalised Orthogonal Gradient Adaptive Per-Tone DMT Equalisation	1151
<i>Suchada Siljongsataporn and Peerapol Yuvapoositanon</i>	
A Time-Reversal-Based Space-Time Block Coded Blind Adaptive MC-CDMA Receiver	1155
<i>Peerapol Yuvapoositanon and Sutat Suwannajan</i>	
A Study of Test Time Reduction Tap Optimization with LMS Algorithm in Recording Head Testing Process	1159
<i>Killyaporn Boonserm, Roong Sivaralana, Krudsada Pornpitakpong, and Pornchai Supnithi</i>	
High-Quality Factor, Double Notch, IIR Digital Filter Design using Optimal Pole Re-position Technique with Controllable Passband Gains	1163
<i>C. Charoenlarpnopparat, P. Charoen, A. Thamrongmas, S. Samurpark, and P. Boonyanant</i>	
Author Index	1167

A New Technique to Define the Overtake Distance Using Image Processing

Pairoj Saengpreeekorn, Jakkree Srinonchat
Signal Processing Research Laboratory (SiPReLa)
Faculty of Engineering, Rajamangala University of Technology Thanyaburi
Phathumthani, Thailand 12110
pairoja@tot.co.th, jakkree.s@en.rmut.ac.th

Abstract This research is conducted for the development of overtaking analysis system to gain higher efficiency. This assistance system is developed with the drivers' safety decision when overtaking on a two-lane highway while driving during night-time. This paper was developed considering the headlight by using the principle of Blob Analysis[1], DOF theory[2], identifies the distance with perspective technique[3]. The outcome from this research exhibits that the overtaking distance must be over 250 meters. That is the fundamental information for driver's decision. Searching only center position and the distance of the spot light images while the result is the process using only 2 frames, after detection of the headlight. The average of lag time is 0.27 second/frame.

I. INTRODUCTION

Recently, image processing technology is playing an important role in several globalizing aspects, especially concerning safety on the road. The Y2007 statistics for traffic accidents in Thailand [4] between the 28th December 2007 and 03rd January 2008 is shown in TABLE I. The accident period is mainly during night-time driving. The major contributor to these traffic accidents is directly from drivers' fatigue due to long distance or long continuous period driving. The effect of fatigue increases the risk of poor concentration failing asleep at the wheel and eventually losing control of vehicle. As well as the miss judged overtaking decision on two-lane driving, the mistake being from wrong estimation during lane-departure can be raised. This study will deliberate the analytical system that contributes to the overtaking decision during night-time drive. This system will affect highlight traffic accident causes and decrease possible causes for the driver at night-time. Researches are excited to be using this innovative (new method) technique for image recognition. We found only one report proposed and used for this principle, Nagumo Seiichi and Okamoto Noriyoshi (2003)[5] directly addressed car recognition at night. In their research, they proposed an extraction of forward vehicles with a camera mounted on the front of the car using brightness information. This method used color information to extract the taillights of cars in front, and recognize cars on the same lane. However, on two-way roads without a safety barrier in the middle, cars in the opposite lane may run into the neighboring lane without a barrier. The function and necessity of car recognition can

identify the speed and distance of the cars in the opposite lane. There was research that tried to solve this problem, for example, Seiichi Nagumo, Hiroaki Hasegawa and Noriyoshi Okamoto (2003)[6] proposed extraction of forward vehicles by a camera mounted on the front of the car. The method was also based on brightness information. However, drivers still need to know the distance of the car in the opposite lane in order to avoid a crash. The last related work that is reviewed was entitled "vision-based with a single camera: bounds on range and range rate accuracy" by Itay Gat, Meny Benady and Amnon Shashua (2005)[7]. This research permitted a warning system and used a single camera as the input. In particular, the authors discussed how to compute range and range-rate from a single camera and how the imaging geometry affects the range and range rate accuracy and Praphan Suansomjit (2006)[8] used recognition of the different illuminating sources and developed it in this research. The analytical accuracy is based on the relation between the cars distance and the headlight distance. The obtained result was valid only for the simulated car which took long-time processing and covered only for furthest and nearest. So it is not appropriated with the real life.

TABLE I
Traffic accidental statistics during Y2007 new year period

Type of Road	Location of accident	Time of accident
Straight	54.18 %	Highway 34.01% 6.01–18.00 32.27 %
Other	45.82 %	Rural highway 65.99 % 18.01–6.00 67.73 %

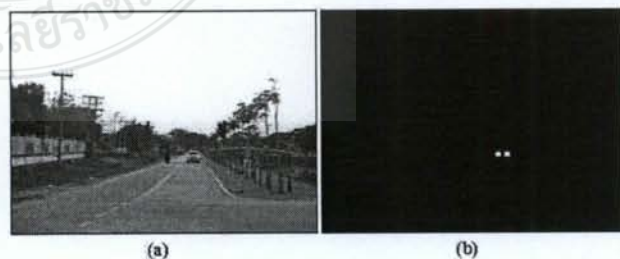


Fig.1: Illustrates images of cars in real situation of the research, (a) in day-time period and (b) in night-time period. These images were used for processing.

Two principle techniques applied in this study are Blob analysis and Depth of Field theory. The principle of Blob analysis is the region property which refers to the similarity of the color. Depth of Field theory provides a consequence of two-focus images recorded by two cameras and applied along with the image processing technique with computer vision. The study will identify the distance of the oncoming opposite-lane car and its velocity which results in the overtaking decision by using 2 images. The more multi-focus images, the more overtaking accuracy. The benefit with the investment cost is not expensive, the use of an existing cars original equipment camera can be selected. The step of processing starts from the vehicle specification by using the provided algorithm structures. Inside these algorithms, there are several vehicle specifications and their simulation models constructed. After knowing the vehicle specification, the proper equation with the real condition will be applied. Finally, the overtaking decision by the database of computer vision will be exposed.

II. BLOB ANALYSIS , DOF THEORY AND PERSPECTIVE

Blob Analysis is an image analyzing method which considers the image pixel region properties and the properties of their neighbour e.g. representing each object by a set of features (Characteristics), region growing, 4-connected or 8-connected.

DOF (Depth of Field) is the distance between the focused object to the film plane. Depth of Field is proportional to the square of object distance as in Equation (1).

$$\text{Depth of field } \propto (\text{Object Distance})^2 \quad (1)$$

That means if the distance of the object increases twice, Depth of Field will be four time increase. However, the increase of the distance will effect the decrease of the object size and its perspective will change.

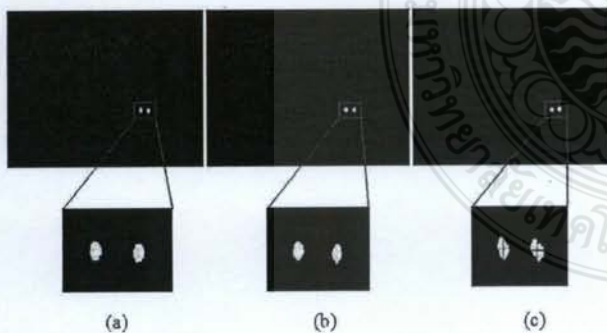


Fig.1: Method to find the center of the vehicle headlight from 2 cameras

The figure 1 expresses the concept of finding the average value of focus point from 2 cameras, which are (a) the image from the first camera, (b) the image from the second camera and (c) the combination of 2 image which carries out focus point of white light group with correctness and accuracy, by using the equation (1).

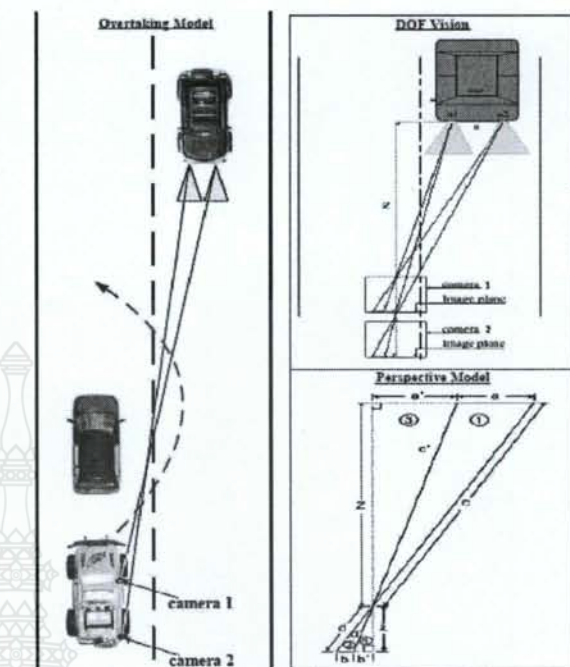


Fig.2: The principle analyses

From Fig.2, the figure shows the model of the cars' motion process. The car installed the camera will be at bottom-end. The image on the top right displays the depth of field of the image and the image on the bottom right shows the perspective view where

$$\frac{a}{b} = \frac{c'}{d'} \quad (2)$$

$$\frac{z}{\lambda} = \frac{c'}{d'} \quad (3)$$

$$\frac{a}{b} = \frac{z}{\lambda} \quad (4)$$

$$z = \frac{\lambda a}{b} \quad (5)$$

a = a real distance of the headlight

a' = the horizontal distance from the left headlight to the center of the camera

b = the perspective size of a in the image plane

b' = the perspective size of a' in the image plane

c = the hypotenuse size of the right triangle with the Z leg and the $a + a'$ leg.

c' = the hypotenuse size of the right triangle with the Z leg and the a' leg

Z = distance between the object and the camera

λ = focal length of the camera

III. CONVERT RGB TO BINARY

Thresholding technique is a technique which converts the color picture to black and white by converting to binary image.

The process of this technique is starting from "Multilevel Image" to 1 bit-2 levels (0 and 1). 0 represents black pixel and 1 represents white pixel.

The way to consider the point in the image whether black (0) or white (1) is the comparison of each $f(x,y)$ pixel with the constant named "Threshold Value". This technique is popular in case that there is a difference between the object and the background. If the picture pixel value is less than the threshold value, then the point will be 0(black), but if the (pixel) value is more than the threshold, the point will be defined as 1 (white).

IV. LINEAR REGRESSION[9]

Whenever the experiments take place, there are uncertainties. Thus, the data which seeks the average before leads the result that are unstable next. This research will use the calculation to seek the coefficient of algebraic straight line equation from the data on test by Linear regression which corresponds with the experiment. The Linear regression is used to create a straight line equation for data group, that is composed of $x_i, y_i, i = 1, 2, \dots, n$ while n is the amount of data. The format solution is

$$y = a_0 + a_1 x \quad (6)$$

by a_0 and a_1 be the constant that depreciate and have to calculate to seek from the condition that algebraic straight line equation will guilty average from every data least. We can use Cramer's rule [9]. For seek the constant a_0 and a_1 following

$$a_0 = \frac{(\sum y_i)(\sum x_i^2) - (\sum x_i y_i)(\sum x_i)}{n(\sum x_i^2) - (\sum x_i)^2} \quad (7)$$

$$a_1 = \frac{n(\sum x_i y_i) - (\sum x_i)(\sum y_i)}{n(\sum x_i^2) - (\sum x_i)^2} \quad (8)$$

where

x = distance between car headlight and camera
(the center between 2 cameras)

y = Time in use of the movement arrives

x_i = the total sum of the value x

y_i = the total sum of the value y

V. METHOD OF WORKING SYSTEM

A. Video Acquisition

For record the moving pictures from digital camera (real time recording)

B. Frame Grabber

For convert a moving file to digital-still-picture. In the research, it is necessary to consider every frame for data analysis. For usability, the camera can be set up to capture images in real-time. However, practically, this step can be neglected.

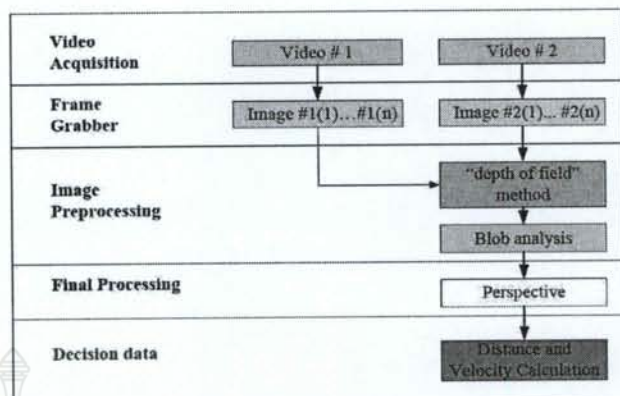


Fig.3: Flow Diagram of working system

C. Image Preprocessing

For evaluate a distance between headlight by DOF and Blob Analysis.

D. Final Processing

For process the data by virtual perspective technique.

E. Decision Data

It is a data output used for taking a decision (depending on vehicle speed, distance between vehicle and digital camera).

VI. EXPERIMENTAL RESULT

TABLE II
Sequence of the calculated distances

Real distance between Camera and headlight(s) (m)	Car On Test									
	Distance between Camera and Headlight by Program (m)									
	Car1	Car2	Car3	Car4	Car5	Car6	Car7	Car8	Car9	Car10
300	0	0	0	0	0	0	0	0	0	0
275	0	0	0	0	0	0	0	0	0	0
250	234	228	208	231	229	227	226	228	231	231
225	219	209	198	199	207	221	217	220	221	214
200	200	189	176	182	186	190	191	191	189	189
175	174	165	149	157	163	178	168	169	160	174
150	149	138	130	134	146	149	139	144	142	149
125	121	118	111	112	115	120	120	117	116	126
100	100	97	90	94	96	99	95	96	95	93
75	76	74	68	69	73	75	75	75	72	70
50	51	48	46	46	48	50	49	49	48	47
25	25	25	25	24	25	26	26	26	25	25

TABLE III
Headlight size and changes in millimeter at each distance

Real distance between Camera and Headlights (m)	Car On Test									
	Distance between two headlights images of various cars (mm)									
	Car1	Car2	Car3	Car4	Car5	Car6	Car7	Car8	Car9	Car10
300	0	0	0	0	0	0	0	0	0	0
275	0	0	0	0	0	0	0	0	0	0
250	0.3448	0.3587	0.4153	0.3733	0.3599	0.3526	0.3599	0.3686	0.3662	0.3639
225	0.3696	0.3938	0.4367	0.4325	0.3991	0.3626	0.3750	0.3830	0.3831	0.3990
200	0.4035	0.4328	0.4911	0.4736	0.4441	0.4212	0.4254	0.4407	0.4487	0.4503
175	0.4647	0.4971	0.5796	0.5482	0.5063	0.4504	0.4859	0.4976	0.5281	0.4906
150	0.5439	0.5929	0.6633	0.6402	0.5664	0.5376	0.5883	0.5851	0.5980	0.5727
125	0.6660	0.6971	0.7784	0.7688	0.7144	0.6654	0.6908	0.7164	0.7330	0.6753
100	0.8075	0.8452	0.9616	0.9139	0.8573	0.8075	0.8526	0.8731	0.8941	0.9141
75	1.0584	1.1107	1.2672	1.2563	1.1228	1.0664	1.0851	1.1262	1.1761	1.2152
50	1.5790	1.7011	1.8975	1.8711	1.7172	1.6020	1.6566	1.7060	1.7749	1.8070
25	3.2055	3.2319	3.5097	3.5457	3.2517	3.0760	3.1619	3.2630	3.3287	3.4447

From Table II, III. We see the distance 250 meter for experiment .A program can't detect and compute the distance of the headlight image. Because of the 2 headlight very adjacent. Thus Author fix the distance more than 250 meter that the decide zone.

At 250 meter distances approximately ,program detected the distance of the headlight image (a program will begin to regard smoke that the first) for the past in test with a program from 10 cars that use to test .The value will have itched rough value then can not seek algebraic relation equation between the space of the headlight and the distance that a car have moved to come in , but , can build the algebraic equation that of the distance of a car with time , because each car have the speed differently , represent the algebraic equation (7),(8) in equation (6), the result as follows

$$\text{Sedan Solution : } y = 0.9312 - 1.205e^{-2}x \quad (9)$$

$$\text{Pickup Solution : } y = 0.8465 - 1.095e^{-2}x \quad (10)$$

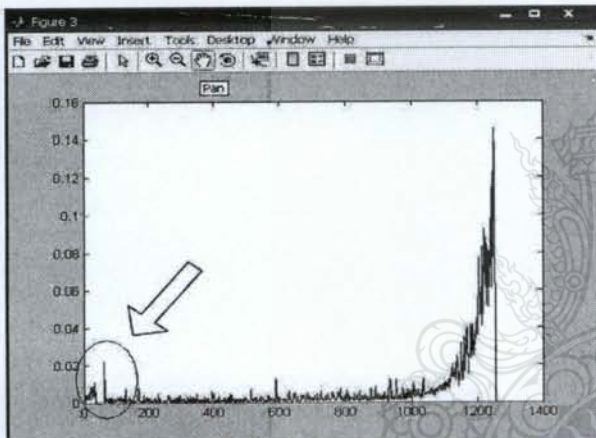


Fig.4: Detected the distance of headlight in the beginning

From Fig.4 shows the outcome analysis, by display the beginning of distance detection of the headlight, using the still frames taken from frame grabber ,then with Matlab program to identify the difference of the images,seek a program detected separation of the headlight and seek light distance , about frame number's 70 at the distance of 250 meters.The 1st frame gets start at the distance of 300 meters. Considering from the hypothesis of this research, by analyse from frame of image the attact from Video file total 1250 frame.

VII. CONCLUSION

The experiment concludes and indicates a zone distance , for contributing a decision to the driver .The processing time decreases. However, this study still face the lag time at the average 0.27 second per frame. In practice, the processing time needs only 0.54 second, in the process to stop overtaking and by considering the image only 2 frames after the identification of headlight distance. This method will not consider the previous processing time. The advantage is

higher efficiency for driver's decision at night-time period. The outcome from the experiment shows in the figure 2. Three cars , with velocity 40 km/hr., must have the overtaking decision distance more than 250 meters.A part of this study would benefit the future research of any computer processing program instead of manual. However there is an error of determination of vehicle size and the difference between moving images from non-smooth road, affecting the irregular of the light.Moreover, the processing time is not totally real time. In addition, the factor of moving car's velocity still needs further development in the future.

ACKNOWLEDGMENT

The researchers are very grateful for every kind help of TOT Public Company Limited to this thesis.

REFERENCES

- [1] Tommas S. Jam K. Vaclav H., "Image Processing Analysis and Machine Vision" , A Matlab Companion International Student Edition 2008 12-14 ,110-114
- [2] Demers Joe, "Depth of Field: A Survey of Techniques" GPU Gems, pp. 375-390, 2004.
- [3] Ricardo V. ,Youssef D. "A Perspective View and Survey of Meta-Learning" ,IBM T.J. Watson Research Center Saw Mill River Rd. Hawthorne NY ,USA Artificial Intelligence Review 18:77-95,2002
- [4] Office of transport and traffic policy and planning,Ministry of transport 2007: http://www otp.go.th/statdata_7.asp
- [5] Nagumo, S., Okamoto N., "A Study on a Robust Detection of a Front Vehicle for Brightness Condition" ,Vol.103, No.294(TS2003 22-30) pp. 49-54
- [6] Nagumo, S.; Hasegawa, H.; Okamoto, N., 2003 "Extraction Of Forward Vehicles By Front-Mounted Camera Using Brightness Information". IEEE Electrical and Computer Engineering Conference, pp. 1243 – 1246
- [7] Gat, I., Benady, M., and Shashua A., 2005 "A Monocular Vision Advance Warning System for the Automotive Aftermarket"
- [8] Suansomjit, P. , "Night - time recognition for car-driving support system" , 2006. 62 p.(R E37482):Research elibrary of King Mongkut's University of Technology Thonburi
- [9] Numerical Methods For Engineers -Fifth Edition , Steven C. Chapra and Raymond P.Canal 2006
- [10] Computer Science,Chiangmai University:
<http://www2.cs.science.cmu.ac.th/alumni/comp18Seminar/DataMining/dataclassification.htm>



ECTI-CARD 2011

การประชุมวิชาการ งานวิจัย และพัฒนาเชิงประยุกต์ ครั้งที่ 3

- เทคโนโลยีชีวภาพ การแพทย์ วิทยาศาสตร์กายภาพ วิทยาศาสตร์การกีฬา
- ระบบรักษาความปลอดภัย การควบคุมการเข้าถึง การยืนยันตัวตน ระบบตรวจสอบ
- การสื่อสาร การสนับสนุนผู้ใช้ท่านบ้าน เครือข่ายสังคม เครือข่ายไร้สาย
- การเรียนรู้การสอนทางไกล การศึกษาบ้านเกิด คอมพิวเตอร์เว็บเน็ต
- การประยุกต์พลังงาน การจัดการพลังงานป่าไม้
- การขนส่ง การควบคุมจราจร การจัดการอุตสาหกรรม
- ธุรกิจการธนาคาร การท่องเที่ยว และการโรงแรม
- การกู้ภัย ระบบเตือนภัย และการพยากรณ์
- เทคโนโลยี อุตสาหกรรมเกษตร



มหาวิทยาลัยราชมงคล



RSU

มหาวิทยาลัยราชมงคล
RANGSIT UNIVERSITY



ECTI
Association

หลักสูตรวิศวกรรมศาสตร์มหาวิทยาลัย
สาขาวิชาช่างเครื่องไฟฟ้าและคอมพิวเตอร์
มหาวิทยาลัยราชมงคล

จัดทำและดำเนินงานโดย
วิทยาลัยวิศวกรรมศาสตร์
มหาวิทยาลัยรังสิต

คณะกรรมการ

Steering Committee

รศ.ดร.ประยุทธ	อัครเอกณาลิน	มหาวิทยาลัยเทคโนโลยีพระจอมเกล้าพระนครเหนือ
รศ.ดร.ไกสินธ์	จำนงไวย	มหาวิทยาลัยเทคโนโลยีพระจอมเกล้าชนบท
รศ.ดร.วุฒิพงศ์	อาเรียล	มหาวิทยาลัยเกษตรศาสตร์

General Chair

ศ.ดร.โน้ตไนย	ไกรฤทธิ์	สถาบันเทคโนโลยีพระจอมเกล้าคุณทหารลาดกระบัง
--------------	----------	--

General Co-Chair

ดร.สมบูรณ์	ศุภษาตร	มหาวิทยาลัยรังสิต
------------	---------	-------------------

Technical Program Chair

ผศ.ดร.รักษ์ย	แสงอุดม	มหาวิทยาลัยรังสิต
--------------	---------	-------------------

Technical Program Committee

รศ.วรศักดิ์	นิรัตนนาภรณ์	มหาวิทยาลัยรังสิต
รศ.ดร.โอภาส	茱雅泰	มหาวิทยาลัยรังสิต
Dr.Jin-man	Yang	มหาวิทยาลัยรังสิต
ดร.เอกวินทร์	วานาส่อง	มหาวิทยาลัยรังสิต
ดร.ธรรมนูญ	สุสำรา	มหาวิทยาลัยรังสิต
ผศ.วิชิตชัย	อุปยงวัฒนา	มหาวิทยาลัยรังสิต
ผศ.ดร.อังคณา	พันธุ์นล่อ	มหาวิทยาลัยรังสิต
ดร.วรรณี	เอกศิลป์	มหาวิทยาลัยรังสิต
รศ.สมาน	เสนาจาม	มหาวิทยาลัยรังสิต
ผศ.ดร.วรพงษ์	ลักษณลักษณ์	มหาวิทยาลัยรังสิต
รศ.ดร.เอกชัย	แสงอินทร์	มหาวิทยาลัยเชียงใหม่
รศ.ดร.อุมพลด	อันตรเสน	อุฬหะลงกรณ์มหาวิทยาลัย
ดร.ภฤต	ศิลป์ศรีกุล	มหาวิทยาลัยนอร์ท-เชียงใหม่
ผศ.ดร.พิรవัฒน์	วัฒนพงศ์	มหาวิทยาลัยเกษตรศาสตร์
นอ.ศ.ดร.สรกฤตา	ศรีกेम	โรงเรียนนายเรืออากาศ
ผศ.ดร.ชูวงศ์	พงศ์เจริญพาณิชย์	สถาบันเทคโนโลยีพระจอมเกล้าคุณทหารลาดกระบัง
ดร.เอกรัตน์	บุญญา	มหาวิทยาลัยเทคโนโลยีอีมานนคร
ดร.จักรกฤษณ์	ควรกพาณิชย์	มหาวิทยาลัยเทคโนโลยีอีมานนคร
ผศ.ดร.ชาญชัย	ทองโสดกา	มหาวิทยาลัยเทคโนโลยีสุรนารี
ดร.วิรชัย	เหมือนกุ	มหาวิทยาลัยເອເຊີຍ

คณะกรรมการ

ผศ.ดร.วังสรรค์	ชัยศรีเจริญ	มหาวิทยาลัยแม่ฟ้าหลวง
ดร.ภัควรรณ	จันทร์ศรี	มหาวิทยาลัยเทคโนโลยีราชมงคลธัญญานุนิ

Local Arrangement Chair

ผศ.สินี	สุขกรรณ์ไส	มหาวิทยาลัยรังสิต
---------	------------	-------------------

Publication Chairs

ดร.สุวารณ์	จันทร์อินทร์	มหาวิทยาลัยรังสิต
อ.ชาตพล	ศรีวิจารณ์	มหาวิทยาลัยรังสิต

Publicity Chair

อ.สราญชัย	จันทร์รงค์	มหาวิทยาลัยรังสิต
-----------	------------	-------------------

Finance Chairs

อ.ไชยรักษ์	เมฆแก้ว	มหาวิทยาลัยรังสิต
อ.รุจิพรวน	สมปันนา	มหาวิทยาลัยกรุงเทพ
ไฟริน	แก้วกวย	สมาคมวิชาการไฟฟ้า อิเล็กทรอนิกส์ คอมพิวเตอร์ โทรศัมนาคมและสารสนเทศ

General Secretary

ผศ.ดร.ดวงอาทิตย์	ศรีมูล	มหาวิทยาลัยรังสิต
------------------	--------	-------------------

General Assistant Secretary

ดร.ไฟคาด	งามจราษฎร์	มหาวิทยาลัยรังสิต
----------	------------	-------------------

รายชื่อผู้พิจารณาบทความ

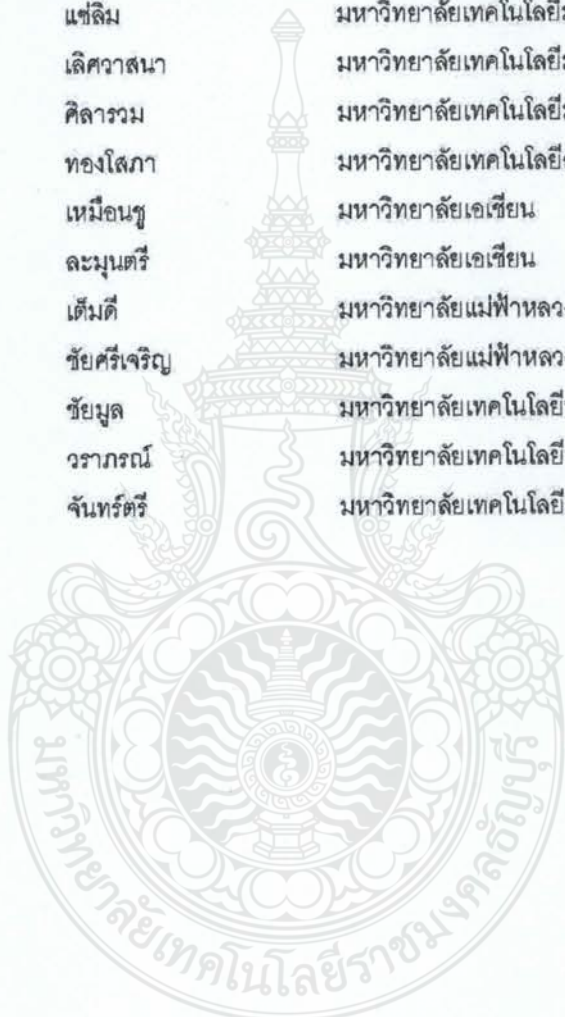
ผู้พิจารณาบทความ

ดร.สมบูรณ์	ศุภสาร	มหาวิทยาลัยรังสิต
ดร.ดร.โภกาส	茱ชาเทพ	มหาวิทยาลัยรังสิต
ดร.ไพบูล	งามจราญาภรณ์	มหาวิทยาลัยรังสิต
ดร.วรศักดิ์	นิรัตนานภรณ์	มหาวิทยาลัยรังสิต
ผศ.ดร.รัชชัย	แสงอุดม	มหาวิทยาลัยรังสิต
อ.สราญช	จันทร์รง	มหาวิทยาลัยรังสิต
Dr.Jin-man	Yang	มหาวิทยาลัยรังสิต
ผศ.ดร.ดวงอาทิตย์	ศรีมูต	มหาวิทยาลัยรังสิต
ดร.สุวรรณ	จันทร์อินทร์	มหาวิทยาลัยรังสิต
อ.เอกกานา	กนกอภิวัฒน์	มหาวิทยาลัยรังสิต
อ.พหล	สมบูรณ์ธรรม	มหาวิทยาลัยรังสิต
อ.สมหมาย	ป้าแย้มแสง	มหาวิทยาลัยรังสิต
อ.อภิรักษ์	ภักดีวงศ์	มหาวิทยาลัยรังสิต
อ.จตุพล	ศรีวุฒา	มหาวิทยาลัยรังสิต
ดร.ธรรมนูญ	ธุสำเนา	มหาวิทยาลัยรังสิต
ผศ.วิศิษฐ์	อัญชลิวัฒนา	มหาวิทยาลัยรังสิต
ดร.สมาน	เสนงาน	มหาวิทยาลัยรังสิต
ดร.วรรณี	เอกศิลป์	มหาวิทยาลัยรังสิต
อ.จตุพร	สถาบุตรเจริญ	มหาวิทยาลัยรังสิต
ผศ.ดร.สามัคคี	ธิมณี	มหาวิทยาลัยรังสิต
อ.สุมนา	เกษมนัสวดี	มหาวิทยาลัยรังสิต
ดร.วุฒิ	ศิลป์ศรีภูล	มหาวิทยาลัยนอร์ท-เชียงใหม่
ดร.สุรชัย	-sanติสุราษฎร์	มหาวิทยาลัยนอร์ท-เชียงใหม่
ดร.คมศักดิ์	เมฆสมุทร	มหาวิทยาลัยเชียงใหม่
ผศ.ดร.พิริยัณณ์	วัฒนพงศ์	มหาวิทยาลัยเกษตรศาสตร์
ผศ.ดร.ชัยพร	ใจแก้ว	มหาวิทยาลัยเกษตรศาสตร์
ดร.ดร.สุริตวรรณ	ศรีนาค	มหาวิทยาลัยเกษตรศาสตร์
ดร.มนต์รักษ์	ไสวพิกานล	มหาวิทยาลัยเกษตรศาสตร์
ดร.ดร.อันนันท์	ผลเพ็ม	มหาวิทยาลัยเกษตรศาสตร์
อ.อภิรักษ์	จันทร์สร้าง	มหาวิทยาลัยเกษตรศาสตร์
นอ.ดร.สรากฤช	ศรีเกษม	โรงเรียนนายเรืออากาศ
ผศ.ดร.สุวังศ์	พงศ์เจริญพาณิชย์	สถาบันเทคโนโลยีพระจอมเกล้าเจ้าคุณทหารลาดกระบัง
ดร.เอกรัฐ	บุญญา	มหาวิทยาลัยเทคโนโลยีมหานคร
ดร.จักรกฤษ	ครรภพาณิชย์	มหาวิทยาลัยเทคโนโลยีมหานคร

รายชื่อผู้พิจารณาบทความ

ผู้พิจารณาบทความ

ดร.ไชรัชย์	แสงดาว	มหาวิทยาลัยเทคโนโลยีมหานคร
ดร.สมมาตร	แสงเงิน	มหาวิทยาลัยเทคโนโลยีมหานคร
ดร.ธีรวิศิษฐ์	เลาหะเพ็ญแสง	มหาวิทยาลัยเทคโนโลยีมหานคร
ดร.วราพล	ลือดาเกียรติสุกุล	มหาวิทยาลัยเทคโนโลยีมหานคร
ดร.ศุภกร	กังพิศดา	มหาวิทยาลัยเทคโนโลยีมหานคร
อ.อนุรี	หล่อสวัสดิริ	มหาวิทยาลัยเทคโนโลยีมหานคร
อ.นันทรรณรงค์	แซลีม	มหาวิทยาลัยเทคโนโลยีมหานคร
อ.อุณิพร	เดศกาลสา	มหาวิทยาลัยเทคโนโลยีมหานคร
อ.วินัย	ศิลาวรรณ	มหาวิทยาลัยเทคโนโลยีมหานคร
ผศ.ดร.ชาญวิชัย	ทองใสภา	มหาวิทยาลัยเทคโนโลยีสุรนารี
ดร.วิรชัย	เหมือนญา	มหาวิทยาลัยเอเชียน
ดร.สุชาตินี	ละมุนตรี	มหาวิทยาลัยเอเชียน
ผศ.ดร.พรรรณกุล	เต็มดี	มหาวิทยาลัยแม่ฟ้าหลวง
ผศ.ดร.รังสรรค์	ชัยศรีเจริญ	มหาวิทยาลัยแม่ฟ้าหลวง
ดร.ศราวุฒิ	ชัยมูล	มหาวิทยาลัยเทคโนโลยีพระจอมเกล้าพระนครเหนือ
ดร.ณรงค์ฤทธิ์	วราภรณ์	มหาวิทยาลัยเทคโนโลยีพระจอมเกล้าธนบุรี
ดร.กัควัฒน์	จันทร์ทิรี	มหาวิทยาลัยเทคโนโลยีราชมงคลสุวรรณภูมิ



ระบบนำร่องออนไลน์พิพิธภัณฑสถานแห่งชาติพะนคร ด้วยเทคโนโลยี RFID บนอุปกรณ์ผู้ช่วยดิจิตอลส่วนตัว	221
ปิตุพันธ์ สุคนธเคหา, กรองกาญจน์ จิตศิล, สุขุมala กิตติสิน.....	
กลุ่มที่ 9 : ระบบความปลอดภัย การควบคุมการเข้าถึง การยืนยันตน ระบบตรวจจับ	
AREA 9 : Security, Access Control, Identity Verification, Surveillance System	
ระบบเตือนภัยอัจฉริยะสำหรับบ้านพักอาศัย	
เดโช เพ็งเหลือง, ปรีชา สมหวัง, ยุทธพงศ์ ทัพพดุง.....	227
Enhanced VoIP ANTI-SPIT Mechanism Based on Modular Design	
ศิวะพร วิวัฒน์ภิญโญ, วรพล ลีลาเกียรติสกุล.....	232
A New Secure Authentication for Web Server and Client	
ณัฐวุฒิ ศรีวิบูลย์, สมนึก พ่วงพรพิทักษ์.....	238
เครื่องมือเฝ้าระวังเครือข่ายด้วยโปรแกรม Cacti	
วิมล อมรรัตน์เพจิตร, ชวัลิต ศรีสถาพรพัฒน์, สุขุมala กิตติสิน.....	244
กระบวนการพิสูจน์หลักฐานสำหรับอุปกรณ์โทรศัพท์เคลื่อนที่	
กฤษฎา หมื่นภักดี, ศุภกร กังพิศدار.....	250
การเพิ่มความมั่นคงปลอดภัยของไฟอัตโนมัติแบบ DHCP โดยการใช้บันทึกดิจิทัล	
ศุภกร กังพิศدار, สุมีนา หาญกล้า.....	256
ระบบตรวจสอบการใช้งานทรัพยากรโดยการช่วยเหลือของเอเจนท์สำหรับสภาพแวดล้อมที่มีเครื่องแม่ข่าย	
หน้ายิ่ง	
ปิยะรา คำพันเพ็ญใจ, ศุภกร กังพิศدار.....	262
วงจรเปิด/ปิดพัลลส์แบบใหม่และการโปรแกรมไมโครคอนโทรลเลอร์ AVR ATmega168 สำหรับการตรวจจับ	
โลหะที่อาศัยหลักการเนื้อยาน้ำด้วยพัลลส์	
ปุณย์เวร์ จำรัสกุล.....	268
ระบบกระจายสมดุลภาระที่มีความพร้อมใช้งานสูงสำหรับโปรแกรมประยุกต์บนเว็บ	
สุรเชษฐ์ ช่วยไธสง, ชวัลิต ศรีสถาพรพัฒน์.....	274
เทคโนโลยีอาร์เอฟไอดีกับเครื่องหมายการเสียภาษีรถยนต์ประจำปีและจุดตรวจอัจฉริยะ	
ชนพัฒน์ สมโพง, ศุภกร กังพิศдар.....	280
การเพิ่มประสิทธิภาพการตรวจหาป้ายจำกัดความเร็วในเงื่อนไขที่ถูกสภาพแวดล้อมบดบัง	
เกศินี ตะละ, วีระยุทธ คุณรัตน์สิริ, ศุภฤต ตุ้มทอง, จักรี ศรีวนนท์อัคร.....	286
เครื่องมือตรวจจับความเคลื่อนไหวของข้อมูลในฐานข้อมูล SQL Server	
พิกรี สันนะกิจ, สุวิดา สุวรรณรัตน์, ลักษดา ปรีชาไวรุกุล.....	291
ระบบรักษาความปลอดภัยผ่าน SMS	
สุวรรณ จันทร์อินทร์, วรพล ทองพุ่ม, ไพศาล เจริญรัตน์.....	296
การใช้ Binocular Vision และ Regression เพื่อคำนวณระยะทางของรถผ่านตรงข้ามในเวลากลางคืน	
ไฟโรมัน แสงปรีดีกรรณ์, จักรี ศรีวนนท์อัคร.....	301

การใช้ Binocular Vision และ Regression เพื่อคำนวณระยะทางของรถ ผ่านตรงข้ามในเวลากลางคืน

ไพรожัน แสงบรีดีกรรณ์

มหาวิทยาลัยเทคโนโลยีราชมงคลธัญบุรี

pairoja@tot.co.th

จักรี ศรีนินทัชต์

มหาวิทยาลัยเทคโนโลยีราชมงคลธัญบุรี

jakkree.s@en.rmutt.ac.th

บทคัดย่อ

งานวิจัยนี้ใช้หลักการกล้อง 2 ตาหรือวิถีที่ค้นพบในมนตรคุณและนำวิธีวิเคราะห์การลดด้อยต่ำเนื่องแบบเชิงเส้นและแบบโพลีโนเมียล(พหุนามกำลังสอง)มาประยุกต์ใช้ในการประมาณผลหารระยะทางของรถที่สวนทางมาบนถนนเลนเดียวในช่วงเวลากลางคืน ทำให้เพิ่มประสิทธิภาพในการคาดคะเนผลจากภาพพิมพ์ที่รับได้เพียงภาพเดียว ผลลัพธ์จากการวิจัยนี้ได้ทำการวิเคราะห์ภาพ จะเห็นว่าความสัมพันธ์ระหว่างตัวแปรตัวระบุกับตัวแปรตามเป็นบุบเพียงเส้นทางและปูพื้นฐานกำลังสอง เมื่อนำ 2 หมากลมแยกพิจารณาเป็น 2 ช่วงจะได้ค่าเบอร์ที่ความถูกต้องโดยเฉลี่ยอยู่ที่ 97.90 % สำหรับให้เป็นข้อมูลเบื้องต้นในการบ่งบอกต่อระยะทางรถทางข้ามให้กับผู้ขับรถยนต์ในช่วงเวลากลางคืน

Abstract

This research has adopted the implementation principles of two eye camera or Binocular Vision together with regression analysis in the form of Linear and polynomial format (quadratic polynomial). Application is being utilized as the process procedure to detect the distant of a car driving opposed to each other in a One Way Traffic line during night time, to enhance the prediction in capturing the slide image. Result from the graph analysis showed that the relationship between independent variable and dependent variable will be the linear image and in a form of polynomial squares. When the two equations were considered separately, the accuracy of result obtained will be approximately 97.90 % for preliminary data, especially to alert the driver of the incoming car from the opposite direction at the night.

คำสำคัญ

วิสัยทัศน์แบบใบหนอคุณ, การลดด้อยต่ำเนื่องแบบเชิงเส้น, การลดด้อยต่ำเนื่องแบบโพลีโนเมียล(พหุนามกำลังสอง)

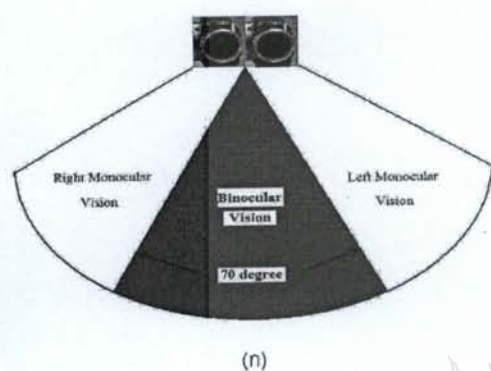
1. บทนำ

ในปัจจุบันเทคโนโลยีด้านการประมวลผลภาพได้เข้ามามีบทบาทต่อการดำเนินชีวิตของมนุษย์มากขึ้น โดยเฉพาะงานที่เกี่ยวข้องกับด้านความปลอดภัย ด้วยความก้าวกระโดดด้านซอฟต์แวร์ จึงมีการประยุกต์ใช้พึ่งกันต่างๆ และพัฒนาการเรียนโปรแกรมเพื่อลดเวลาของกระบวนการประมวลผลจากภาพที่รับเข้ามานั้นเป็นอย่างมาก รวมทั้งเมื่อนำภาพที่ได้จากกล้อง 2 ตัว และอาศัยมุมมองแบบสเตอริโอ ทำให้สามารถเพิ่มความแม่นยำและยังเกิดรูปแบบการทำงานที่ช่วยลดข้อจำกัดต่างๆ ที่เกิดกับการทำงานด้วยกล้องเพียงตัวเดียวเดียวที่น่าสนใจนี้จะมีจุดหมายเพื่อตรวจหาระยะทางของรถยนต์ที่เคลื่อนที่สวนทางเข้ามาในอีกฝั่งของถนน โดยนำภาพจากกล้องคิจิตอล 2 ตัวมาประมวลผลร่วมกัน เมื่อจากค่าระยะห่างของดวงไฟ 2 ดวงที่ประมวลผลได้ตามระยะที่กำหนด สามารถนำมาซึ่งองค์ประกอบของรถที่ติดตั้งในแนวแกน Y เพื่อช่วยเพิ่มประสิทธิภาพในผลของการหาคุณลักษณะของหลอดไฟ 2 ดวง รวมทั้งวิเคราะห์สมการความสัมพันธ์ของข้อมูลอย่างละเอียด ทำให้เพิ่มประสิทธิภาพในการคาดคะเนผลจากภาพพิมพ์ที่จับได้เพียงภาพเดียว จากงานวิจัยเดิม[1],[2] ทดลองจากระยะหลอดไฟจริงที่วัดได้ ซึ่งเป็นค่าเฉพาะของรถที่นำมาทดลองนั้น ใช้กล้องเพียงตัวเดียวและตรวจหาระยะเหลอดไฟ ซึ่งยังไม่แม่นยำเท่าที่ควร

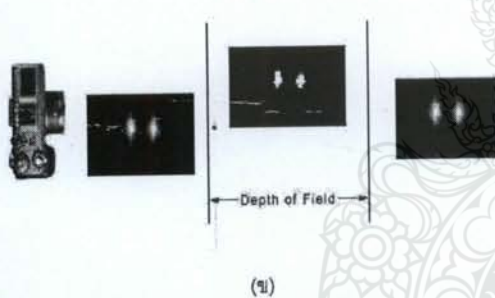
2. งานและทฤษฎีที่เกี่ยวข้อง

งานวิจัยได้นำหลักการติดตั้งกล้องแบบสเตอริโอบริโภคหรือวิสัยทัศน์ มุมมองแบบ 2 ตาในแนวแกน Y ในรูปที่ 1(ก), วิธีการวิเคราะห์กลุ่มใบหน้าของวัตถุ (Blob Analysis) ซึ่งนำไปในการหาเป้าหมาย

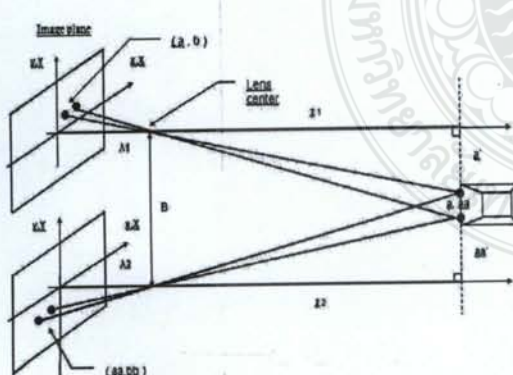
หรือศูนย์กลางของดวงไฟในภาพ รวมทั้งใช้ทฤษฎี "depth of field" หรือ DOF [3] ในรูปที่ 1(ข) ที่เกี่ยวข้องกับการถ่ายภาพ มาใช่วิธีในการประเมินผลภาพ เนื่องจาก ณ ตำแหน่งที่ต่างกันจะได้ระยะชัดของภาพไม่เท่ากัน ทำให้สามารถดูความคลาดเคลื่อนลงได้ เมื่อได้ระยะห่างหลอดไฟ แล้วจะนำมาคำนวณหาระยะทางรถที่สวนทางมาโดยอาศัยการเปลี่ยนสภาพเทคนิคภาพเมื่อนำจิ้งในรูปที่ 1(ค)



(n)



(x)

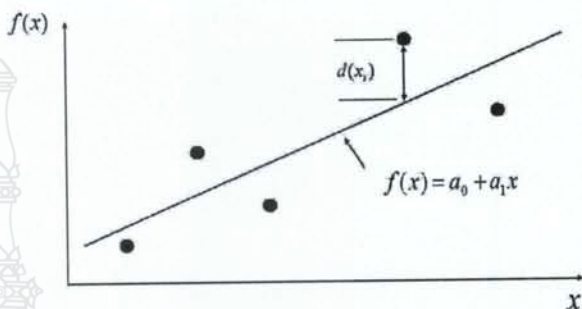


(ค)

รูปที่ 1 (n) Binocular Vision (x) ภาพนิ่งที่ฝ่านกรวยวิธี DOF
(ค) Perspective Stereo vision

2.1 การถดถอยเชิงเส้น (Linear regression) [4]

เป็นการวิเคราะห์การถดถอยที่ตัวแปรอิสระส่วนใหญ่เป็นตัวแปรเชิงบิริมาน ส่วนตัวแปรตามจะต้องเป็นตัวแปรเชิงบิริมาน เท่านั้น รูปแบบของความสัมพันธ์ระหว่างตัวแปรอิสระและตัวแปรตาม สามารถแทนได้ด้วยสมการทางคณิตศาสตร์ที่เป็นเส้น ดังรูปที่ 2

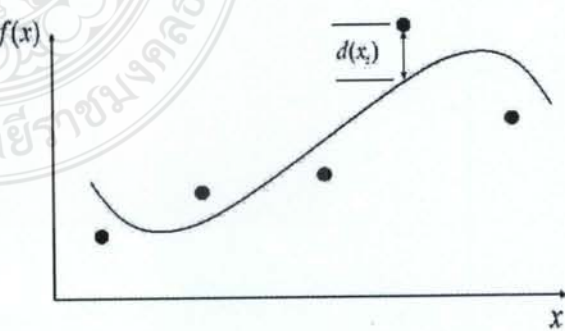


รูปที่ 2 กราฟการถดถอยแบบ Linear Model

$$f(x) = a_0 + a_1 x \quad (1)$$

2.2 การถดถอยแบบโพลีโนเมียล (Polynomial Regression analysis) [5]

เป็นการวิเคราะห์การถดถอยที่ใช้กับปัญหาความสัมพันธ์ระหว่างตัวแปรที่ไม่เป็นเส้นตรง ยกกำลัง 2 เมื่อทำการ scatter plot ดูแล้วจะเห็นชุดเรียงเป็นแนวโค้ง ซึ่งมีหลายระดับ ดังรูปที่ 3



รูปที่ 3 กราฟการถดถอยแบบ Quadratic Model

$$f(x) = a_0 + a_1 x + a_2 x^2 + \dots + a_m x^m ; m = \text{order} \quad (2)$$

$$e = \sum_{i=1}^n d(x_i)^2 \quad (3)$$

เมื่อ a_0, a_1, \dots, a_n คือ ค่าพารามิเตอร์ของการถดถอย , ค่าตัวคงที่ของทางชุดของໄท์ในเมียด คือ $N - 1$ (ดังนั้น $n \geq N - 1$)

2.2 ค่าความผิดพลาดมาตรฐานจากการประมาณ (Standard Error of Estimation) [6]

$$e = \sum_{i=1}^n (y_i - f(x_i))^2 \quad (4)$$

จากสมการ(4) Linear or Polynomial Regression
พึงก์รั่นเส้นตรงตามหัวข้อมุ่งที่ประกอบด้วย $x_i, y_i, i = 1, 2, \dots, n$ จำนวน n ข้อมูล จะได้

$$SEE = \sqrt{\frac{\sum(Y - Y')^2}{N - k - 1}} \quad (5)$$

เมื่อ

SEE = ความคาดเดือนมาตรฐานในการพยากรณ์

Y' = คะแนนพยากรณ์ของตัวแปรตาม

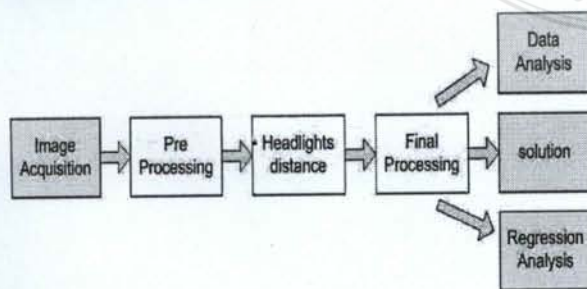
N = จำนวนตัวอย่าง

k = จำนวนตัวแปรอิสระหรือตัวแปรตัวนี้ในสมการถดถอย

$\sum(Y - Y')^2$ = ผลรวมกำลังสองของตัวนี้เหลือ (Sum Squares of Residuals) ซึ่งใช้ตัวย่อว่า SSR หรือ SSres

3. รายละเอียดการพัฒนา

3.1 ภาพรวมของระบบ



รูปที่ 4 แผนภาพการทำงานของระบบ

ระบบการคำนวณหาระยะทางของรถที่มาผ่านทางข้ามในเวลาจราจรคืนของงานวิจัยนี้ประกอบด้วยส่วนสำคัญหลักๆ ดังนี้

1.) Image Acquisition ได้ทำการถ่ายภาพแล้วเก็บข้อมูลภาพนิ่ง โดยใช้รถจำนวน 10 คัน ประกอบด้วยรถสั่นส่วนบุคคล 5 คันและรถบรรทุก 5 คัน ถ่ายภาพตามระยะที่วัดจริง และได้กำหนดไว้ทุกๆ 30 เมตร

2.) Pre-processing ทำภาพให้เป็นใบหน้า ประมวลผลภาพแบบ depth of field (DOF) เพื่อให้ภาพใหม่ที่มีความแหลมคมชัดมากขึ้น นำไปใช้ในการหาศูนย์กลางและระยะห่างของไฟหน้ารถ ในการหานยหลักการ Blob Analysis คำนวณ Centroid โดยใช้ดูคร

$$S = \text{Regionprop}(Ybw, "Area", "Centroid") \quad (6)$$

3.) Headlights distance หาระยะห่างของไฟหน้ารถโดยใช้สูตร

$$\text{Distance} = \text{Centroid1} - \text{Centroid2} \quad (7)$$

4.) Final-processing นำผลลัพธ์ที่ได้จากข้อ 2.) ไปคำนวณหาระยะทางของรถที่เคลื่อนที่เข้ามาใกล้ ด้วยใช้ Perspective และหาค่าเฉลี่ยของผลลัพธ์

5.) Data Analysis วิเคราะห์ค่าเฉลี่ยของผลลัพธ์

6.) Regression Analysis วิเคราะห์การถดถอยจากภาระของผลลัพธ์ที่ได้ในข้อ 5.)

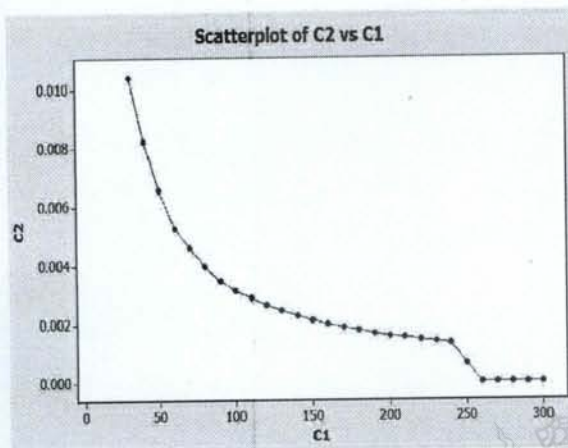
7.) Solution สร้างสมการตัวเมแบบ

3.2 ข้อจำกัดของระบบ

งานวิจัยนี้ใช้กับรถบนถนนเทศบาลเลขเตียง, ไม่ใช่ไฟถนนหรือไฟร่องรอยทาง หลอดไฟหน้าต้องเป็นประเภทหลอดได้, ภาพที่นำมาวิเคราะห์นำมาจากภาพนิ่งของกล้องที่จับภาพแบบปกติไม่ใช่แบบอินฟราเรดต้องไม่ใช้ไฟตัดหมอกและถ่ายในสภาวะอากาศที่ปกติเท่านั้น ผลลัพธ์ที่ได้จะเกิดค่าขึ้นในช่วงระยะทาง 240 เมตรลงมาโดยเฉลี่ย

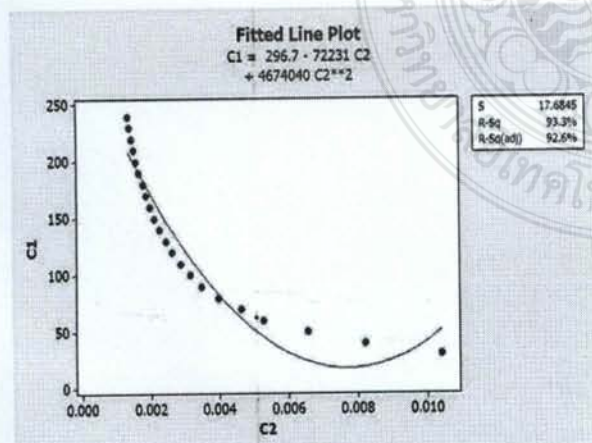
4. การทดลองและวิเคราะห์ผล

งานวิจัยได้ทำการทดลองตามระยะต่างๆ จากสถานที่จริง โดยใช้รอกอนต์ทดสอบจำนวน 10 ศัณ ประกอบด้วยรถ 2 ประเภท ได้แก่รถส่วนบุคคลและรถปิคอัพอย่างละ 5 ศัณ บันทึกผลลงฐานข้อมูลและนำมาวิเคราะห์หาค่าเฉลี่ยของข้อมูล ซึ่งสามารถแสดงไว้ในรูปที่ 5.



รูปที่ 5 ค่าเฉลี่ยระยะห่างหลอดไฟที่ประมวลผล

จากกราฟในรูปที่ 5 เมื่อนำผลลัพธ์มาใช้ในการคำนวนหาสมการความสัมพันธ์ด้านแบบในรูป linear Regression เพียงอย่างเดียวจะเกิดค่าความถูกต้องที่ 92.60 เปอร์เซ็นต์หรือค่าผิดพลาดอยู่ที่ 7.4 เปอร์เซ็นต์ซึ่งยังอยู่ในเกณฑ์สูง แสดง Fitted Line Plot ดังรูปที่ 6

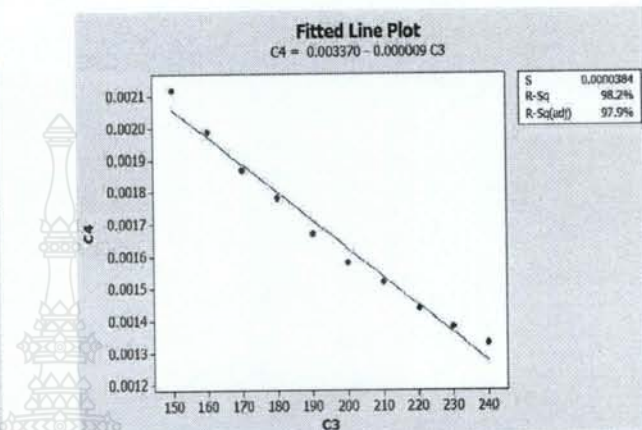


รูปที่ 6 วิเคราะห์ในรูป Linear Regression อย่างเดียว

4.1 การวิเคราะห์ข้อมูลการทดสอบ

จากกราฟในรูปที่ 5 เมื่อวิเคราะห์การทดสอบแล้วจะเห็นว่าความสัมพันธ์ของข้อมูลจ้าเป็นต้องแยกพิจารณาเป็น 2 ช่วงระยะทาง คือ

1.) ช่วงระยะ 150 ถึง 240 เมตร

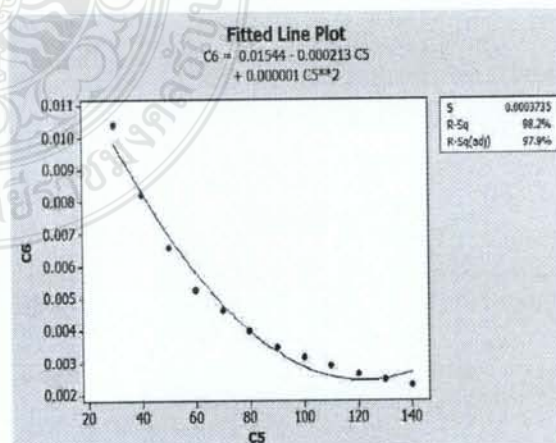


รูปที่ 7 กราฟความสัมพันธ์ในช่วงระยะ 150 ถึง 240 เมตร

เมื่อทำการ Fitted Line Plot จากรูปที่ 7 พบว่ามีลักษณะเป็นเส้นตรง จะได้สมการความสัมพันธ์ของข้อมูลในรูปสมการเชิงเส้นระหว่างช่วงระยะทาง 150 ถึง 240 เมตร คือ

$$C_4 = 0.003370 - 0.000009 C_3 \quad (8)$$

2.) ช่วงระยะ 30 ถึง 140 เมตร



รูปที่ 8 กราฟความสัมพันธ์ในช่วงระยะ 30 ถึง 140 เมตร

เมื่อทำการ Fitted Line Plot จากรูปที่ 8 พบว่ามีลักษณะเป็นเส้นโค้งหรือ Quadratic Model จะได้สมการความสัมพันธ์ของข้อมูลในรูปสมการโพลีโนมียลดรجةหัว่สูงระหว่างระยะทาง 30 ถึง 140 เมตร คือ

$$C_6 = 0.01544 - 0.000213 C_5 + 0.000001 C_5^2 \quad (9)$$

เมื่อ

C_4, C_6 = ระยะทางหลอดไฟที่ปะรุงผลลัพธ์จากภาพนิ่ง (เมตร)

C_3, C_5 = ระยะทางของรถที่สวนทางมา ซึ่งวัดระยะจริง (เมตร)

5. บทสรุป

งานวิจัยนี้ได้ปรับปรุงกระบวนการวิจัยเก็บข้อมูลและการวิเคราะห์ผลการทดลอง โดยอ้างอิงค่าระยะที่เปลี่ยนแปลงของดวงไฟเป็นอย่างไรในภาพของกล้องด้านที่ 1 และ 2 เพื่อกับระยะหัว่สูงศูนย์กลางของกล้องด้านที่ 2 ตัวนั้น ตามๆ ที่กำหนดไว้ ทุกๆ 30 เมตร ทำให้เพิ่มประสิทธิภาพในการคาดคะเนผลลัพธ์จากภาพนิ่งที่จับภาพ(Snap)ได้เที่ยงภาพเดียว ผลลัพธ์จากการวิจัยจากการ์ฟในรูปที่ 5 จะเห็นว่าในช่วงระยะ 240 ถึง 150 เมตร กราฟจะมีการเปลี่ยนแปลงแบบต่อเนื่องเป็นเส้นตรง (Linear Regression) แต่ในช่วงระยะ 140 ถึง 30 เมตร กราฟจะเปลี่ยนแปลงแบบก้าวกระโดด ซึ่งให้ผลลัพธ์เป็นเส้นโค้ง (Quadratic model) จึงต้องเลือกใช้สมการลดรجةที่เหมาะสม ในแต่ละช่วงของระยะทาง สมการความสัมพันธ์ด้านบนที่ได้จากการวิจัยนี้จะให้ค่าความถูกต้องเฉลี่ยอยู่ที่ 97.90 % ซึ่งเป็นค่าที่พอรับได้ โดยข้อผิดพลาดบางส่วนที่ได้รับนั้นเกิดจากสภาพถนนที่ไม่เรียบเท่าไหร่และส่วนที่เกิดขึ้นไม่สม่ำเสมอ

นอกจากนี้ยังมีปัจจัยอื่นๆ เช่น เรื่องสภาพอากาศ ซึ่งมีผลกับแสงไฟหน้ารถ จึงยังต้องมีการพัฒนาเพิ่มขึ้นต่อไปในอนาคต

6. เอกสารอ้างอิง

- [1] Suansomjith, P. *Night - time Recognition for Car-driving Support System*, 2006. 62 p.(R E37482) : Research elibrary of King Mongkut's University of Technology Thonburi
- [2] Saengpredeekorn, P. and Srinonchat, J. *A New Technique to Define the Overtake Distance Using Image Processing*, ECTI-CON 2009 ,6th Internationnal Conference On Volume:2 , Page(s) : 1142 - 1145
- [3] Demers, J. *Depth of Field : A Survey of Techniques* GPU Gems, pp. 375-390, 2004
- [4] Oscar Torres - Reyna , *Data Consultant , Linear Regression (ver.6.0)"*
<http://dss.princeton.edu/training/Regression101.pdf>
- [5] Edwards J. R. *Polynomial regression and response surface methodology*, 2007. In C. Ostroff & T. A. Judge (Eds.), *Perspectives on organizational fit* (pp. 361-372). San Francisco: Jossey-Bass
- [6] Tatiyana V. Apanasovich and Raymond J. Carroll *Simex and standard error estimation in semiparametric measurement error models* ,*Electronic Journal of Statistics* Vol. 3 (2009) 318-348



ประวัติผู้เขียน

ชื่อ - นามสกุล
วัน เดือน ปีเกิด
ที่อยู่

นายไฟโรมัน์ แสงปริคีรุณ์

สำนักวิทยบริการและเทคโนโลยีสารสนเทศ

16 กันยายน พ.ศ.2513

130/135 ถนนรังสิต-นครนายก ตำบลลำพักกุด อำเภอธัญบุรี
จังหวัดปทุมธานี 12110

การศึกษา

สำเร็จการศึกษาอุตสาหกรรมศาสตรบัณฑิต สาขาวิศวกรรมไฟฟ้า

มหาวิทยาลัยศรีนครินทรวิโรฒ ประ姗มิตร ปี พ.ศ. 2539

พ.ศ.2534 – 2536 แผนกชั่วมอมอปกรณ์วิทย์สื่อสาร

บริษัท แปซิฟิก เทเลซิส เอ็นจิเนียริ่ง จำกัด

พ.ศ.2537 – ปัจจุบัน สื่อสารดาวเทียม ส่วนบริการพิเศษ

บริษัท ทีโอที จำกัด มหาชน